



Politechnika Wroclawska



Fundusze Europejskie
Wiedza Edukacja Rozwoj



Politechnika Wroclawska



Unia Europejska
Europejski Fundusz Społeczny


„ZPR PWr – Zintegrowany Program Rozwoju Politechniki Wroclawskiej”

Materiały pomocnicze do wykładu:
Spalanie w napędach lotniczych

Tomasz Hardy
Politechnika Wroclawska



HR
HIGHER EDUCATION IN RESEARCH




Politechnika Wroclawska

Ciekłe paliwa opałowe i napędowe

Paliwa ciekłe dzieli się na:

- **naturalne** (ropa naftowa i jej pochodne, oleje łupkowe, smoła łupkowa),
- **sztuczne** (alkohole, paliwa z upłynniania węgla, oleje roślinne).

2


 Politechnika Wrocławska

Skład frakcyjny ropy naftowej

Produkty destylacji ropy naftowej:

- lekka benzyna: 313–433 K (40–160°C),
- ciężka benzyna (ligroina): 433–473 K (160–200°C),
- nafta: 473–590 K (200–317°C),
- olej napędowy: 590–633 K (317–360°C),
- lekki destylat próżniowy: 633–813 K (360–540°C),
- ciężki destylat próżniowy: powyżej 813 K.

3

 Politechnika Wrocławska

Skład elementarny ropy naftowej

Można wymienić pięć podstawowych pierwiastków w ropie naftowej

| Pierwiastek | Udział, %wag. |
|-------------|---------------|
| Węgiel | 83-87 |
| Wodór | 12-14 |
| Siarka | 0,01-8 |
| Azot | 0,01-1,2 |
| Tlen | 0,05-4 |

Inne pierwiastki w ropie, jak wanad, nikiel, żelazo, mangan, kobalt, fosfor, oraz mikroelementy występują w stężeniu rzędu wartości 10^{-3} – 10^{-5} %.

4

 Politechnika Wrocławska

Produkty naftowe

- gaz płynny,
- paliwa silnikowe (benzyny, oleje napędowe, nafty),
- oleje opałowe,
- stałe węglowodory naftowe (parafiny, cerezyny, wazeliny),
- asfalty drogowe i przemysłowe,
- surowce węglowodorowe do syntez organicznych.

5

 Politechnika Wrocławska

Procesy przeróbki ropy naftowej

| Nazwa | | Wartość opałowa, kJ/kg | Zastosowanie |
|---------|-------------|------------------------|--|
| Benzyny | lotnicza | 42 900-46 500 | do tłokowych silników spalinowych z zapłonem iskrowym w lotnictwie |
| | samochodowa | 42 900-46 500 | do tłokowych silników spalinowych z zapłonem iskrowym w motoryzacji oraz w innych maszynach i urządzeniach |
| | traktorowa | 43 500-45 250 | do tłokowych silników spalinowych z zapłonem iskrowym w traktorach i innych maszynach rolniczych |
| Nafty | lotnicza | 42 400-45 700 | do turbinowych silników spalinowych w lotnictwie |
| Oleje | napędowe | 41 800-42 750 | do tłokowych silników z zapłonem samoczynnym w motoryzacji oraz w energetycznych turbinach gazowych |
| | opałowe | 39 400-39 800 | do palników olejowych w urządzeniach grzewczych, energetycznych i przemysłowych |

6

Benzyna

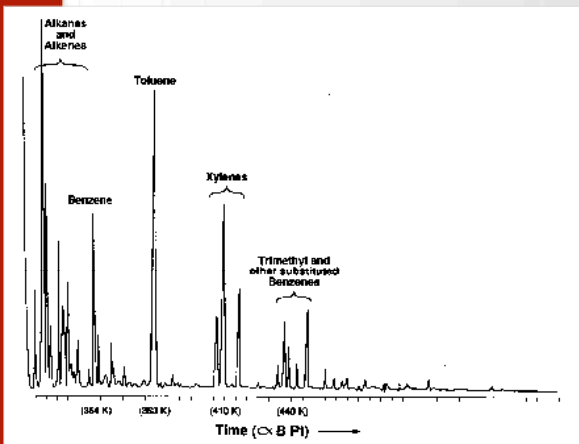
Benzyiny to podstawowe paliwo motorowe do silników ZI składające się z lotnych frakcji ropy naftowej o temperaturze wrzenia w zakresie 30-200 °C.

Najważniejsze składniki benzyn to: węglowodory alifatyczne (łańcuchowe), cykloalkany i węglowodory aromatyczne (np. benzen).

Ważniejsze właściwości: zdolność do tworzenia mieszanek palnych, skłonność do tworzenia osadów żywicznych, charakterystyka stukowa (liczba oktanowa LO).


Przykłady benzyn samochodowych: LO 95, LO 98

Komponenty benzyny



Benzyina zawiera lekkie frakcje ropy naftowej (węglowodory).

Figure 1.1 A gas chromatographic analysis of aromatic hydrocarbons in a typical unleaded gasoline. The time of elution from the column is proportional to the boiling point of the component (as marked in representative cases) and the peak height is proportional to the amount found—is courtesy of B. Freire.


 **Komponenty benzyny**

Benzynę otrzymuje się ją przez rafinację ropy naftowej lub syntetycznie z węgla, gazu ziemnego lub łupków bitumicznych.

W celu poprawy LO stosuje się do benzyny dodatki antystukowe:

- czteroetylek ołowiu $(C_2H_5)_4Pb$
- czterometylek ołowiu $(CH_3)_4Pb$
- związki organiczne i metyloorganiczne o wysokiej LO


9

 **Benzyna motorowa 95**

Benzyna bezołowiowa 95
Wg ZN-ORLEN-38:2004

| | |
|-------------------------------|-----------------------------|
| Liczba oktanowa min. | 95,0 |
| Gęstość w temp. 15 °C | 720 - 775 kg/m ³ |
| Zawartość siarki ≤ | 50 mg/kg |
| Zawartość benzenu ≤ | 1,0 %(V/V) |
| Zawartość węglowod. aromat. ≤ | 35,0 %(V/V) |
| Łączna zawartość tlenu ≤ | 2,7 %(m/m) |


10

 **Benzyna syntetyczna**


More than 92 percent of Germany's aviation gasoline and half its total petroleum during World War II had come from synthetic fuel plants. At its peak in early 1944, the German synfuels effort produced more than 124,000 barrels per day from 25 plants.


In the USA the Synthetic Liquid Fuels Act was approved on April 5, 1944. The Act authorized \$30 million for a five-year effort for: "the construction and operation of demonstration plants to produce synthetic liquid fuels from coal, oil shales, agricultural and forestry products, and other substances, in order to aid the prosecution of the war, to conserve and increase the oil resources of the Nation, and for other purposes."

11

 **Metody wytwarzania syntetycznej benzyny**

HISTORY OF SYNTHETIC LIQUID FUELS

 Friedrich Bergius (1913) – hydrogenation of pulverised coal under high-pressure


 Franz Fischer and Hans Tropsch (1926) – liquid hydrocarbon fuels from synthesis gas

first coal hydrogenation plant – 1927 (Leuna – Germany)

first Fischer-Tropsch plant – 1936 (Mörs-Meerbeck – Germany)

1. Dissolving coal directly into a liquid as in the Bergius process
2. The Fischer-Tropsch method first transformed coal into a gas, then chemically rearranged the gaseous molecules into liquid fuels and chemicals.

12

 **Oleje napędowe**

Oleje napędowe (Diesla) zawiera cięższe frakcje węglowodorów niż nafty (destylacja wieżowo-rurowa i destrukcyjna pozostałości ropnych).

Składa się głównie z węglowodorów parafinowych, naftenowych i aromatycznych o własnościach:

- ciężar molowy oleju napędowego wynosi: 178,6
- **średni skład: $C_{12,9}H_{23,9}$**

Ważniejsze właściwości: lepkość (rozpylanie), odporność na samozapłon (liczba cetanowa), temperatura krzepnięcia, zawartość siarki.


Zastosowania: silniki tłokowe z zapłonem samoczynnym, turbiny gazowe.

13

 **Podział lotniczych paliw silnikowych**

| Rodzaj paliwa | | Zastosowanie | Statek powietrzny |
|---|-------------------------|---|---------------------|
| Benzyna lotnicza | | Tłokowe silniki spalinowe ZI | Samoloty, śmigłowce |
| T U R B I N O W E | Ciężka benzyna | Silniki odrzutowe | Samoloty |
| | Paliwa szerokofrakcyjne | Silniki odrzutowe, śmigłowcowe i śmigłowe | Samoloty, śmigłowce |
| | Nafta lotnicza | Siln. odrzutowe, śmigłowcowe, śmigłowe i raketowe | Samoloty, śmigłowce |
| | Oleje napędowe | Silniki raketowe i odrzutowe | Rakiety, samoloty |
| Oleje napędowe | | Lotnicze silniki tłokowe | Samoloty |


14

 Politechnika Wrocławska

Charakterystyka energetyczna lotniczych paliw silnikowych

| Rodzaj paliwa | Wartość opałowa | | Stosunek C/H | Udział wodoru |
|-------------------------|-----------------|-------------------|--------------|---------------|
| | MJ/kg | MJ/m ³ | | |
| Benzyna lotnicza | 43,12–44,0 | 32,0–33,2 | 5,26–6,54 | 13,25–15,2 |
| Ciężka benzyna | >43 | 30,6–32,2 | 5,9–6,25 | 13,8–14,5 |
| Paliwo szerokofrakcyjne | >42,9 | 32,5–33,6 | 5,94–6,3 | 13,7–14,4 |
| Nafta lotnicza | 42,5–43,12 | 34,0–35,9 | 5,99–6,35 | 13,6–14,3 |
| Olej napędowy | 42,5–43,1 | 36–36,5 | 6,1–6,52 | 13,3–14,1 |

15

 Politechnika Wrocławska


Paliwa do turbin gazowych

Zastosowanie militarne: nafta
Zastosowanie cywilne: benzyna

| Typ paliwa | Benzyny | Nafty |
|---|----------|-----------|
| Względna gęstość w 311 K | 0,793 | 0,82-0,88 |
| Lepkość w 311 K, cSt | 1,4 | 2-4 |
| Temperatura zapłonu (Flash point), K | 311-344 | 339-367 |
| Temperatura krzepnięcia (Pour point), K | 228 | 253-273 |
| Wartość opałowa, MJ/kg | 42,8 | 42-43 |
| Udział siarki, % mas. | 0,01-0,1 | 0,1-0,8 |

Silniki turbinowe mogą być zasilane: ciężką benzyną, paliwami szeroko-frakcyjnymi, naftami lotniczymi, olejem napędowym, wodorem, paliwami syntetycznymi.

16

 Politechnika Wrocławska

Paliwa lotnicze

Najczęściej stosowanymi paliwami do turbinowych silników lotniczych dla lotnictwa komercyjnego są **JET A** i **JET A-1**.


Jedynym innym paliwem lotniczym powszechnie stosowanym w lotnictwie cywilnym napędzanym silnikiem turbinowym jest **JET B**, które jest wykorzystywane do zwiększonej wydajności w niskich temperaturach (jest stosowane w Kanadzie i na Alasce).

Paliwa JET A i JET A-1 różnią się przede wszystkim temperaturą krystalizacji (zamarzania): dla JET A wynosi $-40\text{ }^{\circ}\text{C}$, dla JET A-1 wynosi $-47\text{ }^{\circ}\text{C}$, a dla JET B $-60\text{ }^{\circ}\text{C}$.

Inną różnicą jest obowiązkowe dodanie dodatku antystatycznego do paliwa JET A-1. Oczywiście zbiorniki i cysterny mają inne piktogramy.

Podstawową zaletą stosowania paliwa JET A-1 jest możliwość jego używania przez cały rok, bez konieczności śledzenia warunków pogodowych. Paliwo JET A już takiej kontroli wymaga.

17

 Politechnika Wrocławska

Paliwa lotnicze

Wojskowe nafty lotnicze oznaczane jako **JP** ("Jet Propellant").

Niektóre z tych paliw są niemal identyczne z paliwami cywilnymi. Mogą się jednak różnić dodatkami. Na przykład JP-8 to niemal to samo, co JET A-1. JP-4 to niemal to samo, co JET B.


Z kolei inne są wysoko wyspecjalizowanymi paliwami będącymi mieszaninami różnych związków chemicznych połączonych ze specyficznymi dodatkami.

W lotnictwie wojskowym, według kodów NATO stosuje się paliwa

- F-35 (czyli JET A-1),
- F-34 (JP-8),
- F-40 (JP-4),
- F 44 (JP-5).

Dawniej stosowano jeszcze JP-1, JP-2 i JP-3.

18

 Politechnika Wrocławska

Paliwa lotnicze


P ALIWO JET A- 1 (www.orlen.pl)

PALIWO JET A-1

Data sporządzenia: 01.10.1998 / Data aktualizacji: 01.06.2015 Wersja: 2

| | |
|---------------------------------------|---|
| Temperatura topnienia/krzepnięcia | : < -20 °C; [< -47°C] |
| Temperatura/zakres wrzenia (1013 hPa) | : 90 - 320 °C |
| Temperatura zapłonu | : 29-70°C; [min 38 °C] |
| Szybkość parowania | : Nie dotyczy- brak danych w CSR |
| Palność (ciało stałe, gaz) | : Nie dotyczy- mieszanina jest cieczą |
| Dolna- górna granica wybuchowości | : Nie dotyczy- brak danych w CSR |
| Prężność par (37,8 °C) | : 1 - 21 kPa |
| Gęstość par | : Nie dotyczy- brak danych w CSR |
| Gęstość (15 °C) | : 0,77 – 0,85g/cm ³ ; [0,775-0,84 g/cm ³] |
| Gęstość nasytowa | : Nie dotyczy. |
| Rozpuszczalność w wodzie | : Praktycznie nie rozpuszcza się |
| Współczynnik podziału n-oktanol/woda | : Nie dotyczy- brak danych w CSR |
| Temperatura samozapłonu | : 220-250 °C |
| Temperatura rozkładu | : Nie dotyczy |
| Lepkość (-20 °C) | : 2,8 – 4,3 cSt; |
| (40 °C) | : 1 – 2,4 cSt |
| Właściwości wybuchowe | : Brak, mieszanina nie jest wybuchowa |
| Właściwości utleniające | : Brak, mieszanina nie jest utleniająca |

19

 Politechnika Wrocławska

Nafty lotnicze


Nafty to paliwo do silników lotniczych odrzutowych i turbośmigłowych, otrzymywane przez destylację wybranych gatunków rop.

- ciężar molowy nafty wynosi: 167,5 (12*12+23,5)
- **średni skład:** $C_{12}H_{23,5}$ (mieszanina węglowodorów)

Ważniejsze właściwości: skład frakcyjny, lepkość paliwa, udział wody i zanieczyszczeń, temperatura krzepnięcia.

Przykłady naft lotniczych: JP4, JP5, Jet A1, AVTUR

20



Paliwa do lotniczych turbin gazowych


Wymagania ogólne:

1. Niski koszt i łatwość dostępu.
2. Małe ryzyko pożaru.
3. Duża wartość opałowa.
4. Wysoka termiczna stabilność.
5. Niskie ciśnienie parowania.
6. Duże ciepło właściwe.

Wymagania układu zasilania:

1. Łatwość pompowania.
2. Brak blokowania filtrów (woskiem i lodem).
3. Brak blokowania przewodów parami.
4. Wysoka smarność paliwa (mały zużycie pomp).

21

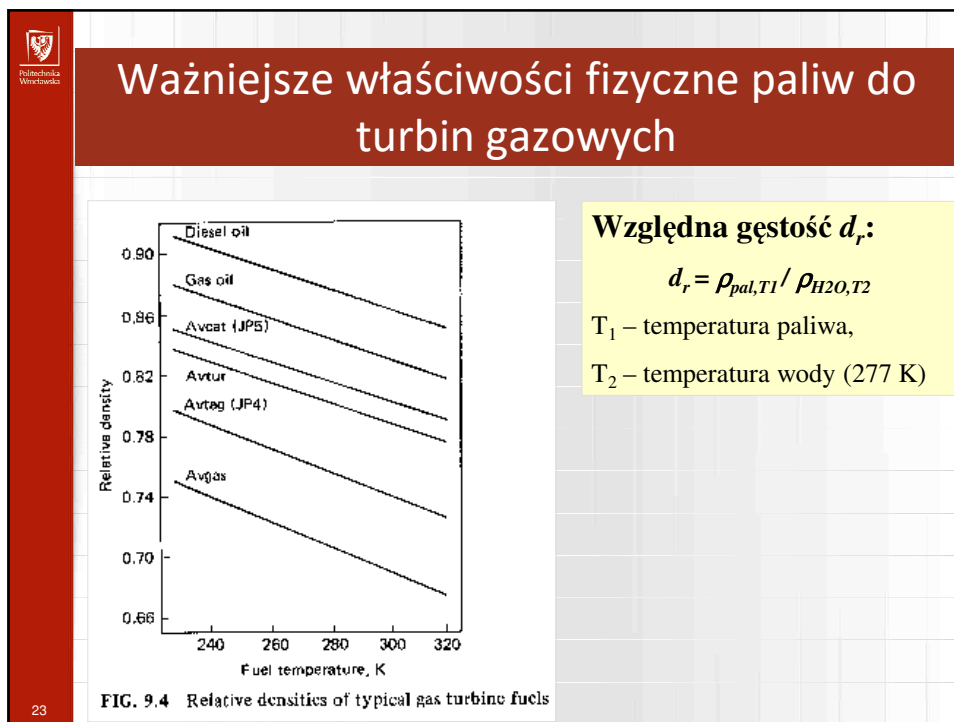


Paliwa do lotniczych turbin gazowych

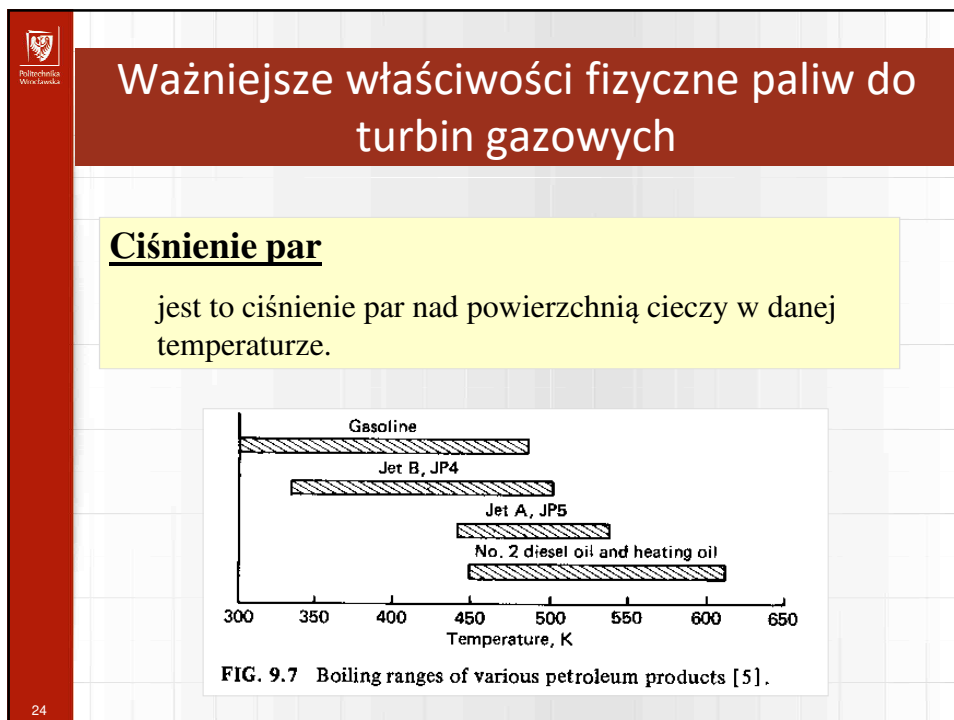
Wymagania związane z pracą komór spalania

1. Brak blokowania wypływu w dyszach rozpylania paliwa.
2. Dobre rozpylanie (atomizacja).
3. Szybkie parowanie (mała lepkość i duża lotność).
4. Małe wytwarzanie sadzy.

22



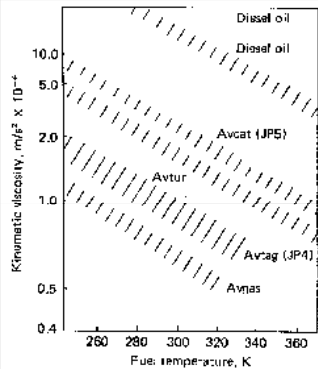
23



24

Ważniejsze właściwości fizyczne paliw do turbin gazowych

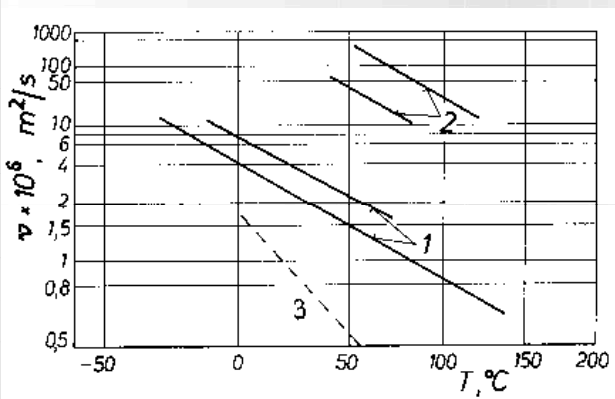
Lepkość paliwa (kinematyczna)
określa opory przetłaczania i pompowania, ma wpływ na jakość rozpylania.



The graph plots kinematic viscosity (m²/s × 10⁻⁴) on a logarithmic y-axis (0.4 to 10.0) against fuel temperature (K) on a linear x-axis (260 to 360). Five data series are shown: Diesel oil (top), Avcat (JP5), Avtur, Avrag (JP4), and Avras (bottom). All series show a decrease in viscosity as temperature increases.

FIG. 9.10 Viscosity-temperature characteristics of typical fuels [7, 33].

Wpływ temperatury na lepkość oleju



The graph plots kinematic viscosity (ν × 10⁶, m²/s) on a logarithmic y-axis (0.5 to 1000) against temperature (T, °C) on a linear x-axis (-50 to 200). Three lines are shown: 1 (oil), 2 (oil), and 3 (water). All lines show a decrease in viscosity with increasing temperature. Line 3 (water) shows a sharp increase in viscosity as temperature approaches 0°C.

Jednostki lepkości kinematycznej
Podstawowa: **m²/s**
Pochodna: **cSt = mm²/s**
1 cSt = 10⁻⁶ m²/s

1 – olej napędowy, 2 – olej opałowy, 3 – woda

Ważniejsze właściwości fizyczne paliw do turbin gazowych

Wartość opałowa (w MJ/kg)
określa ciepło wyzwalone podczas spalania paliwa.

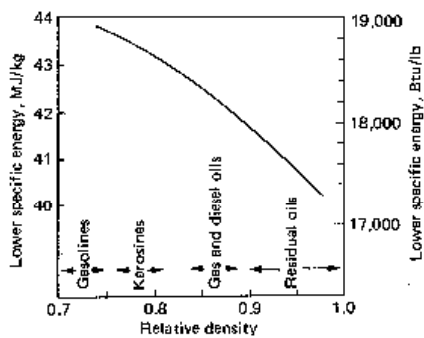
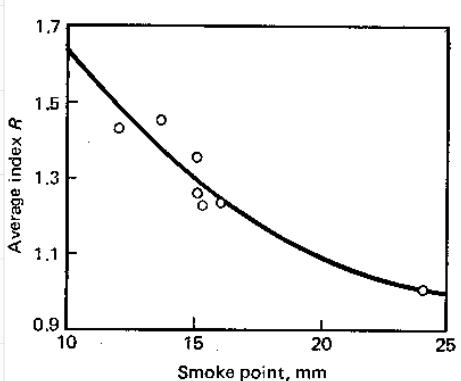


FIG. 9.15 Variation of specific energy with relative density for liquid petroleum fuels [7].


27

Ważniejsze właściwości fizyczne paliw do turbin gazowych

Punkt „sadzowania”

$$R = \frac{\text{radiacja płomienia badanego paliwa}}{\text{radiacja płomienia paliwa wzorcowego}}$$


28

 Politechnika Wrocławska

Alkohole


Alkohole: metylowy i etylowy mogą być silnikowymi paliwami zastępczymi w stosunku do węglowodorów (benzyn).

Wytwarzanie alkoholi:

Metanol: można produkować na skalę przemysłową z takich surowców jak: gaz ziemny, węgiel, drewno i odpady.

Etanol: jest wytwarzany z biomasy przez fermentację i destylację.


29

 Politechnika Wrocławska

Alkohole - wybrane właściwości

| Właściwości | Metanol | Etanol |
|--|--------------------|----------------------------------|
| Chemiczna formuła | CH ₃ OH | C ₂ H ₅ OH |
| Wartość opałowa, kJ/kg | 19 000 | 27 000 |
| Zapotrzebowanie powietrza do spalania, kg/kg | 6,45 | 9,01 |
| Lepkość w temp. 293 K, cSt | 0,75 | 1,51 |
| Liczba oktanowa | 96 | 94 |

30

 Politechnika Wrocławska

Oleje roślinne


Oleje roślinne i produkty ich przeróbki mogą być silnikowymi paliwami zastępczymi w stosunku do oleju napędowego (diesla).

Rodzaje olejów roślinnych do produkcji paliw:

- Rzepakowy
- Słonecznikowy
- Palmowy
- Sojowy

Estry kwasów tłuszczowych

31

 Politechnika Wrocławska

Estryfikacja olejów roślinnych

Estryfikacja jest procesem oddziaływania na olej roślinny alkoholu metylowego/etylowego w obecności katalizatora.

W wyniku otrzymuje się **estry metylowe kwasów tłuszczowych** (EMKT, lub FAME z ang. *Fatty Acid Methyl Ester*) o właściwościach zbliżonych do właściwości olejów napędowych.

Wymagania właściwości EMKT, jako biopaliwa silnikowego, określa norma PN-EN 14214:2004.

Estry kwasów tłuszczowych

32

**Porównanie oleju napędowego ON,
oleju rzepakowego OR
i estru metylowego EMKT**

| Właściwość | Rodzaj paliwa | | |
|------------------------------------|---------------|-------|---------------|
| | ON | OR | EMKT |
| Gęstość w 15°C, g/cm ³ | 0,820 ÷ 0,845 | 0,914 | 0,860 ÷ 0,900 |
| Lepkość w 40°C, mm ² /s | 2,0 ÷ 4,5 | 34,6 | 3,5 ÷ 5,0 |
| Liczba cetanowa (LC) | 51 | 49 | 51 |
| Temperatura zapłonu, °C | ≥ 55 | 200 | ≥ 120 |
| Zaniecz. stałe mg/kg | ≤ 24 | | ≤ 24 |
| Zawart. siarki, mg/kg | 50 | | ≤ 10 |
| Wartość opałowa, MJ/kg | ≈42 | 37,7 | 36,7 |

33

Polityka energetyczna UE: Energy Package

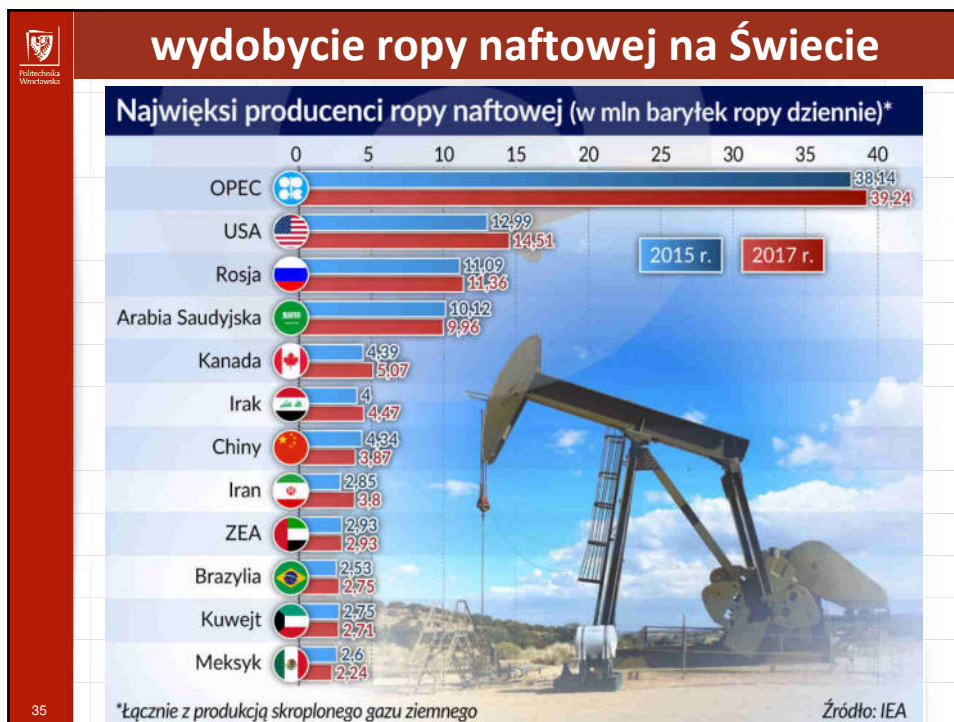
Wytyczne polityki energetycznej dla UE z 8-9 marca 2007 r.

- proponowana strategia do 2020 r.: **3x20 +10%**

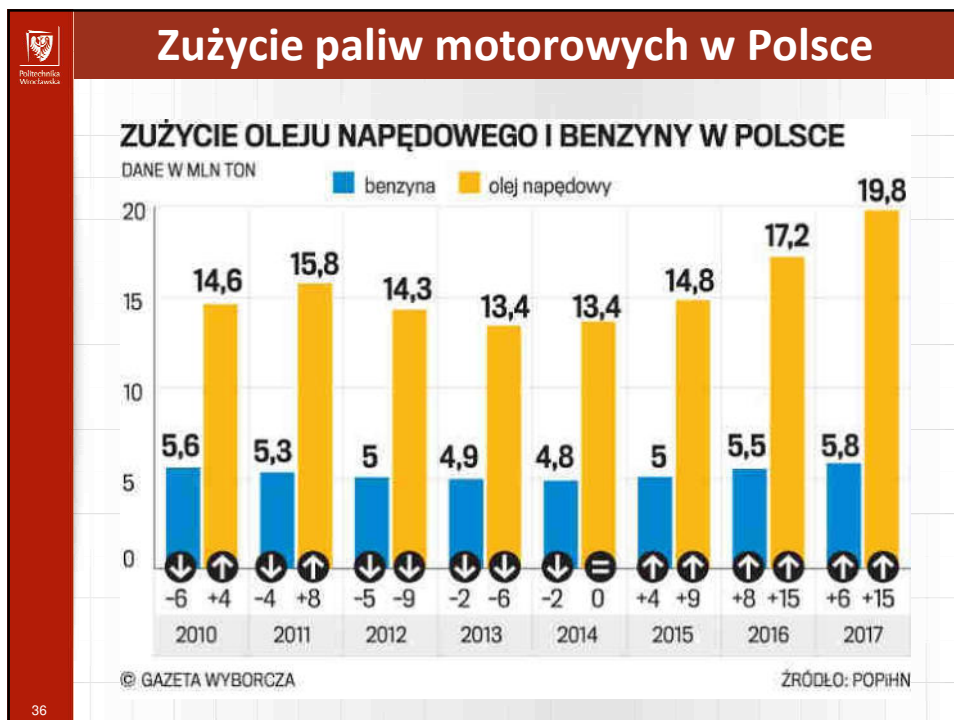
1. Udział odnawialnych źródeł wynoszący 20%
2. Wzrost sprawności o 20%
3. Zmniejszeni emisji CO₂ o 20%
4. Udział biopaliw w paliwach motorowych wynoszący 10%

Co z emisją CO₂ z napędów lotniczych?
Jak można ją ograniczyć?

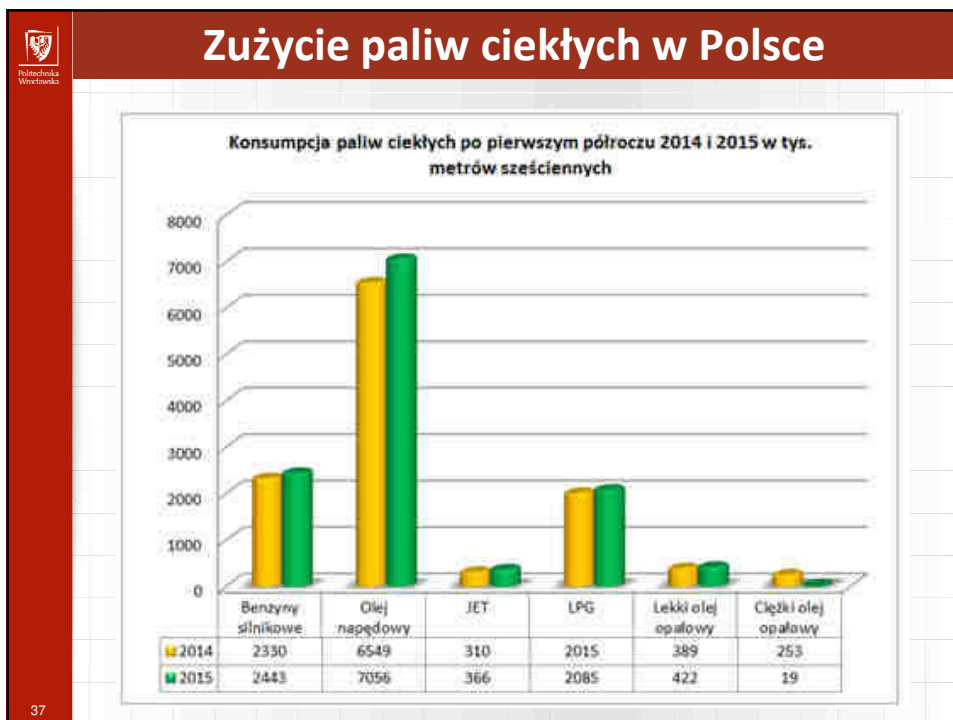
34



35



36



37

Inne surowce do wytwarzania paliw ciekłych

TYPY REAKCJI CHEMICZNYCH

Jednocząsteczkowe (I – rzędu):
 $A \rightarrow C+D$ (np. $C_2H_6 \rightarrow CH_3 + CH_3$)

Dwucząsteczkowe (II- rzędu):
 $A + B \rightarrow C + D$ (np. $H + O_2 \rightarrow OH + O$)

Trójcząsteczkowe (III – rzędu):
 $A + B + M \rightarrow C + M$ (np. $H+O_2+ M \rightarrow HO_2 + M$)

38

 Politechnika Wrocławska


Składniki reakcji chemicznych (reagenty)

- Cząstki stabilne: O_2 , H_2 , N_2 , CH_4 ...
- Cząstki wzbudzone: O_2^* , CO_2^* , N_2^* , ...
- Rodniki:

O , H , N , C , OH , HO_2 , CH , CH_3 , C_2H_5 , ...

Rodniki są to wolne atomy i fragmenty cząstek o nieparzystej liczbie elektronów lub dwóch elektronach niesparowanych.

39

 Politechnika Wrocławska

SZYBKOŚĆ REAKCJI – WPŁYW TEMPERATURY

Prawo Arrheniusa

$$k = k_0 \cdot e^{-E/(RT)}$$


k_0 – współczynnik przedeksponencjalny

E – energia aktywacji (J/mol)

T – temperatura (K)

R – uniwersalna stała gazowa (J/(mol*K))

40




REAKCJE ELEMENTARNE

Reakcje elementarne zachodzą jako pojedyncze akty między reagentami, np.:

$$\text{H} + \text{O}_2 \rightarrow \text{O} + \text{OH}$$

Są to przede wszystkim reakcje rodnikowe, jak wyżej. Rząd ich reakcji odpowiada liczbie składników w reakcji.

41



REAKCJE ZŁOŻONE

Reakcje złożone to zapis reakcji między stabilnymi substratami, dającymi stabilne produkty, np.:

$$\text{CH}_4 + 2\text{O}_2 \rightarrow \text{CO}_2 + 2\text{H}_2\text{O}$$


Takiej reakcji **nie ma**, jest to tylko zapis związku substraty-produkty.

$$dC_A/dt = -k * C_A^\alpha C_B^\beta$$

gdzie: α i β są współczynnikami doświadczalnymi.

Naprawdę reakcje złożone składają się z wielu reakcji elementarnych (**rodnikowych**).

42

 **TYPY REAKCJI RODNIKOWYCH**


1. Reakcje rozgałęzienia (rodników R):

$$\mathbf{R + A \rightarrow R_1 + R_2}$$
2. Reakcje propagacji:

$$\mathbf{R_1 + A \rightarrow R_2 + B}$$
3. Reakcje rekombinacji:

$$\mathbf{R + A + M \rightarrow AB + M}$$

43


 **Reakcje spalania w układzie $\text{H}_2 + \text{O}_2$**

Znaczenie układu $\text{H}_2 + \text{O}_2$: reakcje z tego układu występują w reakcjach wszystkich paliw kopalnych

Inicjacja spalania: mechanizm propagacji płomienia

| | |
|---|--------------------|
| $\text{H} + \text{O}_2 \rightarrow \text{O} + \text{OH}$ | (r. rozgałęzienia) |
| $\text{O} + \text{H}_2 \rightarrow \text{H} + \text{OH}$ | (r. rozgałęzienia) |
| $\text{OH} + \text{H}_2 \rightarrow \text{H} + \text{H}_2\text{O}$ | (r. propagacji) |
| $\text{H} + \text{O}_2 + \text{M} \rightarrow \text{HO}_2 + \text{M}$ | (r. rekombinacji) |

44

 Politechnika Wrocławska


Reakcje spalania w układzie H_2+O_2

Rekombinacja rodników wnosi największy wkład do energii wewnętrznej spalin w strefie popłamiennej.

Strefa popłamienna

| | |
|--|--|
| $H + H + M \rightarrow H_2 + M$ | Reakcje rekombinacji w strefie popłamiennej |
| $H + OH + M \rightarrow H_2O + M$ | |
| $OH + HO_2 + M \rightarrow H_2O + O_2 + M$ | |

45

 Politechnika Wrocławska

Utlenianie CO

Znaczenie CO wynika stąd, że jest CO jest półproduktem spalania wszystkich paliw kopalnych i utlenia się powoli.

W płomieniu CO utlenia się prawie wyłącznie w reakcji:

$$CO + OH \rightarrow CO_2 + H \quad (1)$$


Dlatego dla utleniania CO w płomieniu potrzebna jest w układzie woda.

Dodatkowo występuje trójmolekularna reakcja utleniania CO:

$$CO + O + M \rightarrow CO_2 + M$$

ale ma ona marginalne znaczenie w porównaniu z reakcją (1).

46

 Politechnika Wrocławska

Utlenianie węglowodoró


Znaczenie utleniania węglowodorów wynika z faktu, że paliwa kopalne składają się z węglowodorów.

Utlenianie węglowodorów obejmuje bardzo złożone mechanizmy.

Generalnie można wyróżnić mechanizmy utleniania węglowodorów:

- niskotemperaturowy (zimne płomienie, silniki Diesla),
- wysokotemperaturowy (spalanie wysoko temperat.).

47

 Politechnika Wrocławska

WYSOKOTEMPERATUROWE UTLENIANIE WĘGLOWODORÓW

W płomieniach ważny jest mechanizm wysoko-temperaturowy utleniania węglowodorów (RH, R -rodnik).

Utlenianie węglowodorów zaczyna się atakiem rodników:

$$\text{RH} + \text{H} \rightarrow \text{R} + \text{H}_2$$

$$\text{RH} + \text{OH} \rightarrow \text{R} + \text{H}_2\text{O}$$

$$\text{RH} + \text{O} \rightarrow \text{R} + \text{OH}$$

W dalszym ciągu następuje rozbitcie rodników R na mniejsze rodniki, które w kolejnych reakcjach przekształcają się do półproduktów spalania CHO i CO, **utlenianych w końcu do CO₂ i H₂O.**

48

UTLENIANIE WĘGLOWODORÓW

UTLENIANIE WĘGLOWODORÓW – LICZBA REAKCJI

HIGH TEMPERATURE AND FLAME CHEMISTRY

METAN

Figure 6-2 Schematic representation of a mechanism for methane oxidation at high temperatures (after Warnatz [89]).

Liczba reakcji elementarnych utleniania węglowodorów zależy od ich budowy i zawiera się w zakresie od kilkuset do kilku tysięcy.

49

Stechiometria reakcji chemicznych

Przykład reakcji chemicznej:

$$A + 2B \rightarrow C$$

1 mol + 2 mole \rightarrow 1 mol

A, B i C są to reagenty. A i B są substratami, a C jest produktem.

Liczby występujące przed symbolami reagentów to:
współczynniki stechiometryczne.

Ze związków między *współczynniki stechiometrycznymi* wynika stechiometria spalania i inne pochodne pojęcia.

50

Stechiometria spalania
– utlenianie węglowodorów

Paliwa kopalne to przede wszystkim związki węgla i wodoru (C_mH_n). Reakcję ich utleniania (spalania) można zapisać równaniem stechiometrycznym:

$$C_mH_n + (m + n/4)O_2 \rightarrow mCO_2 + n/2H_2O$$

$$1 \text{ mol} + (m + n/4)\text{moli} \rightarrow (m + n/2)\text{moli}$$

Jest to równanie stechiometrii spalania.

Na jeden mol paliwa C_mH_n przypada dokładnie:
($m + n/4$)moli tlenu

51


Skład mieszanki palnej

Skład mieszanki palnej jest **stechiometryczny**, jeżeli udziały paliwa i utleniacza wynikają z równania stechiometrii.

W wyniku zupełnego spalania mieszanki o składzie stechiometrycznym w spalinach nie może być **ani paliwa, ani tlenu**.

| RODZAJ MIESZANKI | | |
|---|------------------------|---|
| Bogata | Stechiometryczna | Uboga |
| Nadmiar paliwa, niedomiar utleniacza | Skład stechiometryczny | Nadmiar utleniacza, niedomiar paliwa |

52

 **Spalanie stechiometryczne CH₄**

PRZYKŁAD: SPALANIE METANU W POWIETRZU

A. Spalanie stechiometryczne


Przyjęto skład powietrza obj.: 79% N₂ + 21% O₂

Reakcja metanu z tlenem w powietrzu:

$$\text{CH}_4 + 2\text{O}_2 + 7,52\text{N}_2 \rightarrow \text{CO}_2 + 2\text{H}_2\text{O} + 7,52\text{N}_2$$

Uwaga spalanie jest zupełne: w spalinach nie ma metanu, ani tlenu.

53

 **Spalanie stechiometryczne CH₄**

SKŁAD SPALIN

$$\text{CH}_4 + 2\text{O}_2 + 7,52\text{N}_2 \rightarrow \text{CO}_2 + 2\text{H}_2\text{O} + 7,52\text{N}_2$$

Całkowita liczba moli spalin N równa się:

$$N = 1 \text{ mol CO}_2 + 2 \text{ mole H}_2\text{O} + 7,52 \text{ mola N}_2 = 10,52 \text{ mole}$$

Udziały molowe składników spalin, wg analizy *mokrej* (woda w postaci pary) przedstawiają się następująco:

[CO₂] = 1 mol CO₂/10,52 moli = 9,5% CO₂ obj.

[H₂O] = 2 mole H₂O/10,52 moli = 19% H₂O obj.

[N₂] = 7,52 mola N₂/10,52 moli = 71,5% N₂ obj.

54

Politechnika Wrocławska

Spalanie stechiometryczne CH₄

PRZYKŁAD: SPALANIE METANU W POWIETRZU

B. Spalanie z nadmiarem powietrza

Zakłada się nadmiar powietrza: 5%

$$\text{CH}_4 + 2,1\text{O}_2 + 7,9\text{N}_2 \rightarrow \text{CO}_2 + 2\text{H}_2\text{O} + 7,9\text{N}_2 + 0,1\text{O}_2$$

Uwaga: w spalinach jest tlen!

55

Politechnika Wrocławska

Spalanie CH₄ z nadmiarem powietrza

SKŁAD SPALIN

Całkowita liczba moli spalin N równa się:

$$N = 1 \text{ mol CO}_2 + 2 \text{ mole H}_2\text{O} + 7,9 \text{ mola N}_2 + 0,1 \text{ mola O}_2 = 11 \text{ moli}$$

Udziały molowe składników spalin, wg analizy *mokrej* (woda w postaci pary) przedstawiają się następująco:


[CO₂] = 1 mol CO₂/11 moli = 9,09% CO₂ obj.

[H₂O] = 2 mole H₂O/11 moli = 18,2% H₂O obj.

[O₂] = 0,1 mola O₂/11 moli = 0,91% O₂ obj.

[N₂] = 7,52 mola N₂/10,52 moli = 71,82% N₂ obj.

56


 Politechnika Wrocławska

Zapotrzebowanie powietrza do spalania

Teoretyczne zapotrzebowanie powietrza do spalania oznacza ilość powietrza przypadającego na jednostkę paliwa w **stechiometrycznej** mieszance palnej. Dla paliw gazowych określa się je w m^3/m^3 w warunkach normalnych.

Rzeczywiste zapotrzebowanie powietrza do spalania zależy od założonego **nadmiaru** powietrza.

57

 Politechnika Wrocławska


Zapotrzebowanie powietrza do spalania

WSPÓŁCZYNNIK NADMIARU POWIETRZA (λ)

$$\lambda = \frac{\text{całkowita ilość powietrza do spalania}}{\text{teoretyczna ilość powietrza do spalania}}$$

$$\lambda = \frac{20,9}{20,9 - [O_2]}$$

58

 Politechnika Wrocławska

Zapotrzebowanie powietrza do spalania


WSPÓŁCZYNNIK EKWIWALENCJI (FUEL RATIO ϕ)

W literaturze angielskojęzycznej częściej niż współczynnikiem nadmiaru powietrza λ posługuje się współczynnikiem ϕ .

$$\phi = \frac{F/A}{(F/A)_s} \quad \phi = \frac{1}{\lambda}$$

F – ilość moli paliwa,
A – ilość moli powietrza,
s - stechiometryczny

59

 Politechnika Wrocławska

Zapotrzebowanie powietrza do spalania

AIR/FUEL RATIO (AFR) i FUEL/AIR RATIO (FAR)


Ze względu na łatwość wyznaczania w praktyce zastosowanie ma stosunek strumienia powietrza do paliwa określany jako AFR (Air/Fuel Ratio). Podobnie definiuje się FAR (Fuel/Air Ratio).

$$AFR = F/A, \quad \text{kg/kg}$$

A – strumień powietrza (A – air), kg/s
F – strumień paliwa (F – fuel), kg/s

W j. polskim AFR nazywa się współczynnikiem składu mieszanki i oznacza: α . Jednostki α : kg/kg

60

 Politechnika Wrocławska

Zapotrzebowanie powietrza do spalania


Nadmiar powietrza (n)

$$n = \frac{\text{całkowita - teoretyczna ilość powietrza do spalania}}{\text{teoretyczna ilość powietrza do spalania}}$$

Związek współczynnika nadmiaru pow. i nadmiaru powietrza

$$n = (\lambda - 1) * 100\%$$


61

 Politechnika Wrocławska

Zapotrzebowanie powietrza do spalania

| Gaz | Zapotrzebowanie powietrza (teoretyczne), m ³ / m ³ |
|--|--|
| CO | 2,38 |
| H ₂ | 2,38 |
| CH ₄ | 9,52 |
| C ₂ H ₂ | 11,90 |
| C ₂ H ₆ | 16,70 |
| C ₃ H ₈ | 23,80 |
| Gaz ziemny L (ok. 82% CH ₄) | 7,80 |

62

 Politechnika Wrocławska

Zapotrzebowanie powietrza do spalania

PRZYKŁAD

Teoretyczne zapotrzebowanie powietrza do spalania CH_4 wynosi $9,52 \text{ m}^3 / \text{m}^3$

Przyjmując:


- strumień metanu $V = 10 \text{ m}^3/\text{h}$
- strumień powietrza $V = 114,62 \text{ m}^3/\text{h}$

otrzymuje się:

$$\lambda = 114,62 / (10 * 9,52) = 114,62 / 95,2 = 1,2$$

$$n = (1,2 - 1,0) * 100\% = 20\%$$

63

 Politechnika Wrocławska

Zapotrzebowanie powietrza do spalania


Teoretyczne zapotrzebowanie powietrza do spalania oznacza ilość powietrza przypadającego na jednostkę paliwa w stechiometrycznej mieszance palnej. Oznaczając przez c , h , s i o udział węgla, wodoru, siarki i tlenu w paliwie teoretyczne zapotrzebowanie powietrza do spalania L_0 wyraża się w jednostkach masy wzorem:

$$L_o = \frac{1}{0,232} \left(\frac{8}{3} c + 8h - o + s \right), \text{ kg / kg}_{\text{ paliwa}}$$

$$L_o = 3,36 \left(\frac{8}{3} c + 8h - o + s \right), \text{ m}^3 / \text{ kg}_{\text{ paliwa}}$$

64

α




Zapotrzebowanie powietrza do spalania

W przypadku **paliw gazowych** składających się z wodoru, tlenku węgla, tlenu i węglowodorów o udziałach objętościowych odpowiednio: h_2 , co , o_2 i c_α h_β teoretyczne zapotrzebowanie powietrza do spalania wyraża się w jednostkach objętości wzorem:

$$L_o = \frac{1}{0,21} \left[\frac{1}{2} (h_2 + co) - o_2 + \left(\alpha + \frac{\beta}{4} \right) c_\alpha h_\beta \right] \text{ m}^3 / \text{m}^3$$

65



Zapotrzebowanie powietrza do spalania

Najważniejsze składniki węgla: **c, h, s, n, o, w, a = 1**

| wagowo | objętościowo |
|---|--|
| $C + O_2 = CO_2$ 1 kmol C + 1 kmol $O_2 = 1$ kmol CO_2 12 kg C + 32 kg $O_2 = 44$ kg CO_2 1 kg C + 8/3 kg $O_2 = 11/3$ kg CO_2 | $C + O_2 = CO_2$ 1 kmol C + 1 kmol $O_2 = 1$ kmol CO_2 12 kg C + 22,4 m ³ $O_2 = 22,4$ m ³ CO_2 1 kg C + 1,87 m ³ $O_2 = 1,87$ m ³ CO_2 |
| $S + O_2 = SO_2$ 1 kmol S + 1 kmol $O_2 = 1$ kmol SO_2 32 kg S + 32 kg $O_2 = 64$ kg SO_2 1 kg S + 1 kg $O_2 = 2$ kg SO_2 | $S + O_2 = SO_2$ 1 kmol S + 1 kmol $O_2 = 1$ kmol SO_2 32 kg S + 22,4 m ³ $O_2 = 22,4$ m ³ SO_2 1 kg S + 0,7 m ³ $O_2 = 0,7$ m ³ SO_2 |
| $2H_2 + O_2 = 2H_2O$ 2 kmol H_2 + 1 kmol $O_2 = 2$ kmol H_2O 4 kg H_2 + 32 kg $O_2 = 36$ kg H_2O 1 kg H_2 + 8 kg $O_2 = 9$ kg H_2O | $2H_2 + O_2 = 2H_2O$ 2 kmol H_2 + 1 kmol $O_2 = 2$ kmol H_2O 4 kg H_2 + 22,4 m ³ $O_2 = 44,8$ m ³ H_2O 1 kg H_2 + 5,6 m ³ $O_2 = 11,2$ m ³ H_2O |
| $L_{O_2}^{teor} = (8/3 \cdot c + s + 8 \cdot h - o) / 100, \text{ kg}_{O_2} / \text{kg}_{pal}$ | $L_{O_2}^{teor} = (1,87 \cdot c + 5,6 \cdot h + 0,7 \cdot s - 0,7 \cdot o) / 100 \text{ m}^3_{nO_2} / \text{kg}_{pal}$ $O_2 = 16 / 22,4 = 0,7 \text{ m}^3$ |
| $L_{pow}^{teor} = 1/0,232 \cdot (8/3 \cdot c + s + 8 \cdot h - o)$ $\text{kg}_{pow} / \text{kg}_{pal}$ | $L_{pow}^{teor} = (0,7/0,21) \cdot (1,87 \cdot c + 0,7 \cdot s + 5,6 \cdot h - 0,7 \cdot o) / 0,7$ $\text{m}^3_{pow} / \text{kg}_{pal}$ |
| $L_{pow}^{teor} = 4,31 \cdot (8/3 \cdot c + s + 8 \cdot h - o) \text{ m}^3_{pow} / \text{kg}_{pal}$ | $L_{pow}^{teor} = 3,33 \cdot (8/3 \cdot c + s + 8 \cdot h - o) \text{ m}^3_{pow} / \text{kg}_{pal}$ |
| Bo: 0,232 - z udziału masowy O_2 w powietrzu (udziały obj. · p) $m = (0,21 \cdot 1,429) / (1 \cdot 1,293) = 0,232$ | $L_o = 3,33 \left(\frac{8}{3} c + 8h + s - o \right), \text{ m}^3_{pow} / \text{kg}_{pal}$ |

66

Skład spalin

$$V''_{CO_2} = CO + n \cdot C_n H_m + CH_4 + CO_2$$

$$V''_{H_2O} = 2CH_4 + \frac{m}{2} C_n H_m + H_2 + H_2O$$

$$V''_{O_2} = 0,21V'_{Pmin} (\lambda - 1)$$

$$V''_{N_2} = 0,79V_p + N_2$$

Dla paliw gazowych:

| CO | CH ₄ | C _n H _m | H ₂ | O ₂ | CO ₂ | H ₂ O | N ₂ |
|--------------------------|-----------------|-------------------------------|----------------|----------------|-----------------|------------------|----------------|
| 1 um ³ paliwa | | | | | | | |

- produkt spalania
 - składnik niepalny
 - tlen

$$V''_S = CO + CH_4 + n \cdot C_n H_m + CO_2 + 2CH_4 + \frac{m}{2} \cdot C_n H_m + H_2 + H_2O + 0,21V'_{Pmin} (\lambda - 1) + 0,79V'_p + N_2$$
 um³ spalin / um³ pal

67

Zapotrzebowanie powietrza do spalania

Najważniejsze składniki paliw stałych (węgla): **c, h, s, n, o, w, a = 1**

Minimalna ilość tlenu, jaką należy dostarczyć do całkowitego spalania 1 kg paliwa wyniesie:

$$n_{Omin} = \frac{c}{12} + \frac{h}{4} + \frac{s}{32} - \frac{o}{32} \quad \text{kmoli O}_2/\text{kg pal}$$

Ponieważ 1 kmol powietrza zawiera 0,21 kmola tlenu, więc minimalne zapotrzebowanie powietrza wyniesie:

$$n_{pmin} = \frac{n_{Omin}}{0,21} \quad \text{kmoli pow./kg pal}$$

Ale ponieważ 1 kmol zajmuje objętość 22,4 nm³ to:

$$L_{Omin} = 22,4 \cdot \left(\frac{c}{12} + \frac{h}{4} + \frac{s}{32} - \frac{o}{32} \right) \quad \text{nm}^3 \text{ O}_2/\text{kg pal}$$

$$L_{Omin} = 1,87c + 5,6h + 0,7s - 0,7o \quad \text{nm}^3 \text{ O}_2/\text{kg pal}$$

$$L_{pow.min} = 0,7/0,21 \cdot (2,67c + 8h + s - o) \quad \text{nm}^3 \text{ O}_2/\text{kg pal}$$

$$L_{pow.min} = 3,33 \cdot (2,67c + 8h + s - o) \quad \text{nm}^3 \text{ O}_2/\text{kg pal}$$

68

Skład spalin

Spalanie z nadmiarem powietrza $\lambda > 1$

$n'_{p,sp}$ kmoli powietrza wilgotnego

1 kg paliwa

n'_s kmoli spalin / kg paliwa

Objaśnienia:
 ■ - składnik palny □ - tlen
 ■ - produkt spalania □ - składnik niepalny

$$n''_s = \frac{c}{12} + \frac{s}{32} + \frac{h}{2} + \frac{w}{18} + X_p n'_p + 0,21 n'_{pmin} (\lambda - 1) + 0,79 n'_p + \frac{n}{28} \quad \text{kmoli spalin/kg pal}$$

| | |
|--|--|
| $n''_{CO_2} = \frac{c}{12}$ | - ilość kilomoli CO ₂ powstała ze spalania węgla, |
| $n''_{H_2O} = \frac{h}{2} + \frac{w}{18} + X_p n'_p$ | - ilość kilomoli H ₂ O powstała ze spalania wodoru, oraz woda zawarta w paliwie i powietrzu |
| $n''_{SO_2} = \frac{s}{32}$ | - ilość kilomoli SO ₂ powstała ze spalania siarki, |
| $n''_{O_2} = 0,21 n'_{pmin} (\lambda - 1)$ | - ilość kilomoli tlenu z nadmiaru powietrza, |
| $n''_{N_2} = 0,79 n'_p + \frac{n}{28}$ | - ilość kilomoli azotu z powietrza oraz azot zawarty w paliwie. |

69

Skład spalin

Spalanie z nadmiarem powietrza $\lambda > 1$

$$n''_s = \frac{c}{12} + \frac{s}{32} + \frac{h}{2} + \frac{w}{18} + X_p n'_p + 0,21 n'_{pmin} (\lambda - 1) + 0,79 n'_p + \frac{n}{28} \quad \text{kmoli spalin/kg pal}$$

| | |
|--|---|
| $r''_{CO_2} = \frac{c}{12 n''_s}$ | - udział molowy CO ₂ w spalinach, |
| $r''_{H_2O} = \frac{h/2 + w/18 + X_p n'_p}{n''_s}$ | - udział molowy H ₂ O w spalinach, |
| $r''_{SO_2} = \frac{s/32}{n''_s}$ | - udział molowy SO ₂ w spalinach, |
| $r''_{O_2} = \frac{0,21(\lambda - 1)n'_{pmin}}{n''_s}$ | - udział molowy O ₂ w spalinach, |
| $r''_{N_2} = \frac{0,79 n'_p + n/28}{n''_s}$ | - udział molowy N ₂ w spalinach. |

$$r''_{CO_2} + r''_{H_2O} + r''_{SO_2} + r''_{O_2} + r''_{N_2} = 1$$

$$V''_s = 22,4 n''_s \quad \text{um}^3 \text{ spalin / kg pal}$$

70

Skład spalin

Spalanie z nadmiarem powietrza $\lambda > 1$

$$n_s'' = \frac{c}{12} + \frac{s}{32} + \frac{h}{2} + \frac{w}{18} + X_p n_p' + 0,21 n_{P_{min}}' (\lambda - 1) + 0,79 n_p' + \frac{n}{28} \quad \text{kmoli spalin/kg pal}$$

| | |
|---|---|
| $r_{CO_2}'' = \frac{c}{12 n_s''}$ | - udział molowy CO ₂ w spalinach, |
| $r_{H_2O}'' = \frac{h/2 + w/18 + X_p n_p'}{n_s''}$ | - udział molowy H ₂ O w spalinach, |
| $r_{SO_2}'' = \frac{s/32}{n_s''}$ | - udział molowy SO ₂ w spalinach, |
| $r_{O_2}'' = \frac{0,21(\lambda - 1)n_{P_{min}}'}{n_s''}$ | - udział molowy O ₂ w spalinach, |
| $r_{N_2}'' = \frac{0,79 n_p' + n/28}{n_s''}$ | - udział molowy N ₂ w spalinach. |

$$r_{CO_2}'' + r_{H_2O}'' + r_{SO_2}'' + r_{O_2}'' + r_{N_2}'' = 1$$

$$V_s'' = 22,4 n_s'' \quad \text{um}^3 \text{ spalin / kg pal}$$

71

Skład spalin

Znając wzór ogólny paliwa: $C_n H_m O_k$ można łatwo wyznaczyć zapotrzebowanie powietrza oraz ilość i skład spalin.

Przyjmując z powyższego wzoru współczynniki n , m , k oraz masy molowe poszczególnych pierwiastków (węgla, wodoru i tłenu) obliczyć można masę molową paliwa:

$$M_{PAL} = n \cdot M_C + m \cdot M_H + k \cdot M_O, \quad \text{kg / kmol}$$

gdzie:

- $M_C = 12 \text{ kg/kmol}$ – masa molowa węgla,
- $M_H = 1 \text{ kg/kmol}$ – masa molowa wodoru atomowego,
- $M_O = 16 \text{ kg/kmol}$ – masa molowa tlenu atomowego.

Następnie odnosimy masy poszczególnych składników do masy molowej paliwa i wyznaczamy ich udziały wagowe:

| Udział gramowy węgla | Udział gramowy wodoru | Udział gramowy tlenu |
|---|--|--|
| $c = \frac{n \cdot M_C}{M_{PAL}}, \quad \text{kg C / kg pal}$ | $h = \frac{m \cdot M_H}{M_{PAL}}, \quad \text{kg H}_2 / \text{kg pal}$ | $o = \frac{k \cdot M_O}{M_{PAL}}, \quad \text{kg O}_2 / \text{kg pal}$ |

I dalej obliczenia jak poprzednio...

72

Mieszanka palna paliwa z powietrzem


Mieszanka palna to mieszanina powietrza z paliwem, w której:
po zniknięciu źródła zapłonu proces spalania rozwija się w niej samorzutnie.

| RODZAJE MIESZANEK PALNYCH | | |
|---------------------------|------------------|---------------|
| Bogata | Stechiometryczna | Uboga |
| $\lambda < 1$ | $\lambda = 1$ | $\lambda > 1$ |

Stężeniowe granice zapłonu

Minimalne (maksymalne) stężenie paliwa w mieszance, w której może nastąpić zapłon.


DGW – dolna granica zapłonu (wybuchu)
GGW – górna granica zapłonu (wybuchu)

 Politechnika Wrocławska

Stężeniowe granice zapłonu - przykłady

| Gaz | Granice zapłonu | | | |
|----------|--------------------|-----------|-----------------|-----------|
| | % gazu w powietrzu | | % gazu w tlenie | |
| | dolna DGW | górna GGW | dolna DGW | górna GGW |
| Wodór | 4,1 | 74,2 | 4,0 | 94,0 |
| CO | 12,5 | 74,2 | 15,5 | 94,0 |
| Metan | 5,3 | 14,0 | 5,1 | 61,0 |
| Etan | 3,2 | 12,5 | 3,0 | 66,0 |
| Propan | 2,4 | 9,5 | 2,3 | 55,0 |
| Butan | 1,9 | 8,4 | 1,8 | 48,0 |
| Acetylen | 2,5 | 80,0 | 2,5 | 89,4 |
| Benzen | 1,41 | 6,75 | 2,6 | 30,0 |
| Metanol | 6,72 | 36,5 | – | – |
| Etanol | 3,28 | 18,95 | – | – |

75

 Politechnika Wrocławska

Zapłon mieszanki palnej

Zapłon jest to spowodowanie stanu spalania przez lokalne wywołanie intensywnej reakcji chemicznej w mieszance palnej.

Sposoby zapłonu mieszanki:

- wymuszony (np.. iskrą elektryczną ...),
- samozapłon.

76

Minimalna energia zapłonu

Definicja:

E_{\min} – jest to najmniejsza ilość energii, która wywołuje zapłon w mieszance palnej [J].

Typowe E_{\min} dla różnych paliw

- gazowe: < 1 mJ
- płynne: 10-100 mJ
- pyły: 0,1-1,0 J

77


Minimalna energia zapłonu dla gazów

Minimalna energia zapłonu, mJ

Odwrotność współczynnika nadmiaru powietrza

Minimalna energia zapłonu różnych gazów w mieszaninie z powietrzem w zależności od składu mieszaniny palnej

78


 Politechnika Wrocławska

Samozapłon

Samozapłon - jest to wywołanie stanu spalania (wybuchu) przez przekroczenie **temperatury samozapłonu** w mieszance palnej.

$$T_{ot} > T_{kr}$$

79


 Politechnika Wrocławska

Dominujące czynniki w spalaniu paliw ciekłych

Czynniki dominujące :

- parowanie cieczy,
- mieszanie par z utleniaczem,
- kinetyka chemiczna spalania.


80

 Politechnika Wrocławska

Zapłon mieszanki w silniku spalinowym z zapłonem iskrowym (ZI)

- Do zainicjowania zapłonu mieszanki palnej w silniku o zapłonie iskrowym, potrzebne jest zewnętrzne źródło energii (elektrycznej).
- Generuje je układ zapłonowy silnika.
- Kąt, w którym następuje przeskok iskry nazywany jest kątem wyprzedzenia zapłonu.
- Jest on zależny od prędkości obrotowej silnika w danej chwili (im wyższa prędkość obrotowa silnika tym kąt wyprzedzenia zapłonu jest większy).

81

 Politechnika Wrocławska

Zapłon mieszanki w silniku spalinowym z zapłonem iskrowym (ZI)

Zapłon mieszanki palnej iskrą elektryczną może nastąpić jeżeli:

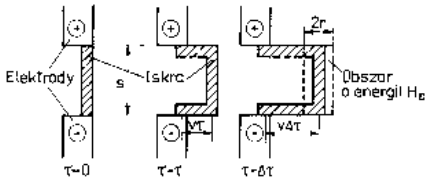
- a) energia iskry jest większa od minimalnej energii zapłonu danej mieszanki,
- b) odległość między elektrodami jest większa od odległości gaszącej danej mieszanki,
- c) lokalny gradient prędkości jest większy od krytycznego dla danej mieszanki.

Przypomnienie: w cylindrze mieszanka jest w ruchu co utrudnia zapłon iskrowy.

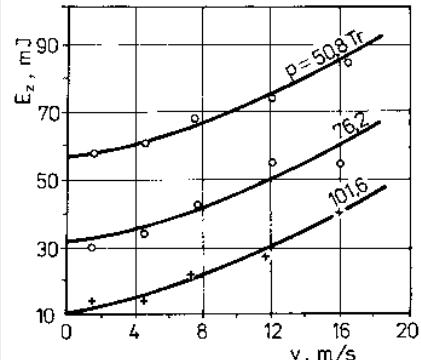
82

Zapłon mieszanki w silniku spalinowym z zapłonem iskrowym (ZI)

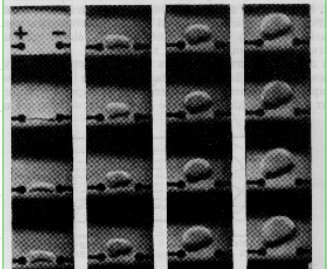
W cylindrze mieszanka jest w ruchu co utrudnia zapłon iskrowy.



(Tor) 1 Tr = 1 mm Hg = 1/760 atm = 133,3224 Pa



Model zapłonu iskrowego w przepływie.



Wpływ prędkości mieszanki na energię zapłonu

83

Zapłon mieszanki w silniku spalinowym z zapłonem iskrowym (ZI)

- Energia wyładowania iskrowego w świecach zapłonowych jest w zakresie: 50-100 mJ. To wystarcza do zapłonu mieszanki o składzie zbliżonym do stechiometrycznego, do zapłonu mieszanek ubogich może być niewystarczające.
- Poprawę pewności zapłonu ubogiej mieszanki zapewnia się przez modyfikację układu zapłonowego:
 - Układy wieloświecowe,
 - Zwiększenie energii zapłonu przez:
 - zwiększenie energii wyładowania,
 - zapłon plazmowy,
 - zapłon laserowy.
 - Zwiększenie odległości między elektrodami.

84

Spalanie ubogich mieszanek

1. Dominującą tendencją jest spalanie ubogich mieszanek ($\lambda > 1$), ponieważ poprawia w ten sposób sprawność silnika oraz maleje emisja NO_x , natomiast nadmiar tlenu w spalinach sprzyja dopaleniu CO i HC.
2. Spalanie ubogich mieszanek w silnikach spalinowych ZI wiąże się z trudnościami:
 - a) stężeniowe granice palności
 - b) mniejsza prędkość spalania laminarnego,
 - c) utrudniony zapłon.

85

Spalanie ubogich mieszanek

Wpływ składu mieszanki na moc i emisję zanieczyszczeń

Jak skład mieszanki kształtuje moc i emisję spalin

• Wraz ze zubożaniem mieszanki spada emisja tlenku węgla (CO) oraz węglowodorów (HC). Niestety spada również moc. Problemem przy ubogim składzie mieszanki staje się wyższa emisja tlenków azotu (NO_x), co wymusza konieczność stosowania specjalnych katalizatorów

| λ | Moc | NO_x | CO | HC |
|-----------|---------|---------------|---------|---------|
| 0,7 | Niska | Niska | Wysoka | Wysoka |
| 0,8 | Średnia | Niska | Wysoka | Wysoka |
| 0,9 | Wysoka | Niska | Średnia | Średnia |
| 1,0 | Wysoka | Niska | Niska | Niska |
| 1,1 | Wysoka | Wysoka | Niska | Niska |
| 1,2 | Średnia | Wysoka | Niska | Niska |
| 1,3 | Niska | Wysoka | Niska | Niska |

86

Politechnika Wrocławska

Spalanie ubogich mieszanek

Spalanie ładunku uwarstwionego w silnikach GDI (Gasoline Direct Injection)

Spalanie w silnikach GDI

The diagram shows two cross-sections of an engine cylinder. Diagram A, labeled 'Ładunek uwarstwiony', shows a stratified charge where fuel (red dots) is concentrated near the spark plug. Diagram B, labeled 'Ładunek konwencjonalny', shows a conventional homogeneous charge where fuel is mixed throughout the cylinder. Red arrows in B indicate the mixing process.

Ładunek uwarstwiony

Ładunek konwencjonalny

87

Politechnika Wrocławska

Spalanie ubogich mieszanek

The diagram compares HCCI and conventional engines. On the left, HCCI shows a high-pressure fuel injection system. On the right, a conventional engine shows a spark plug. Text boxes describe the differences in fuel injection, mixture homogeneity, and combustion timing.

HCCI

KONWENCJONALNY

Wtryskiwacz wysokociśnieniowy umożliwia dobre rozpylenie paliwa.

Świeca jest używana przy normalnej i dużych przyspieszeniach jazdy.

W mieszaninie homogenicznej rozkład paliwa wyczułko jest równomierny, a zapłon następuje jednocześnie w całej objętości komory.

Tu zapłon następuje w momencie przeskoku iskry na świecę.

Cała mieszanina rozpręża się od dawnej w całej komorze. Tu zapłon mieszaniny nie nastąpiłby się wcale.

Do celów optymalizacji prędkości działania z innymi układami.

Silnik spalania mieszanki jednorodnej z zapłonem samoczynnym HCCI (ang. Homogeneous Charge Compression Ignition) – rodzaj silnika spalinowego tłokowego, w którym w początkowym etapie po uruchomieniu, gdy silnik jest jeszcze zimny, zapłon odbywa się za pomocą układu iskrowego, jak w zwykłym silniku benzynowym, a kiedy silnik osiągnie już nominalną temperaturę silnik przechodzi na pracę w trybie samozapłonu jak silnik Diesla. Jest to sposób, w którym uzyskujemy lepsze spalanie paliwa. Jednak aby to było możliwe paliwo musi być jednorodnie rozmieszczone w całej komorze spalania. Dlatego stosuje się wysokociśnieniowy wtryskiwacz.

Spalanie ubogich mieszanek w silniku z homogenicznym zapłonem samoczynnym HCCI

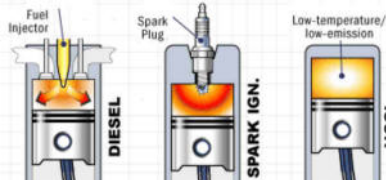
1. Rodzaj mieszanki: homogeniczna

2. Skład mieszanki: **uboga**

3. Rodzaj zapłonu: samoczynny

Mechanizm zapłonu: (jak w silnikach ZS)

- Faza sprężania (wzrost temperatury mieszanki)
- Faza niskotemperaturowego wydzielania ciepła (LTHR)
- Faza wysokotemperaturowego wydzielania ciepła (HTHR)



89

Spalanie ubogich mieszanek

Porównanie HCCI z konwencjonalnym silnikiem ZI


Wyższa sprawność wynikająca z:

- eliminacji strat związanych z dławieniem,
- zastosowania wyższych stopni sprężania (wartości porównywalne do tych, które stosuje się w silnikach Diesla z bezpośrednim wtryskiem paliwa),
- krótszych czasów spalania (równoczesne podpalenie ładunku w wielu miejscach - płomień nie rozprzestrzenia się w cylindrze);

Zredukowana emisja NOx

- uboższa mieszanka,
- niższa temperatura spalania.

90

 Politechnika Wrocławska

Zapłon mieszanki w silniku spalinowym z zapłonem zamocznym (ZS)

Proces spalania w silnikach z zapłonem samocznym ZI:

- w czasie procesu napełniania cylindra dopływa do niego tylko powietrze,
- w końcu procesu sprężania doprowadzone jest do niego paliwo,
- mieszanka palna tworzy się wewnątrz cylindra

(jest to wewnętrzny sposób tworzenia mieszanki palnej/wtrysk bezpośredni).

91


 Politechnika Wrocławska

Zapłon mieszanki w silniku spalinowym z zapłonem zamocznym (ZS)



92


Obraz: <https://www.motofakty.pl/artukul/uklady-wtryskowe-w-dieslach-konstrukcja-zalety-i-wady.html>



Przebieg procesu spalania w silnikach spalinowych ZS

- I. Okres opóźnienia zapłonu
- II. Okres spalania kinetycznego
- III. Okres spalania dyfuzyjnego
- IV. Okres dopalania


93



Przebieg procesu spalania w silnikach spalinowych ZS

- I. Parowanie kropele oleju napędowego.
- II. Powstaje mieszanka par oleju z powietrzem.
- III. Niskotemperaturowe utlenianie węglowodorów z wytwarzaniem wodoronadtlenów.
- IV. Rozpad wodoronadtlenów i przejście do fazy zapłonu gorącego.
- V. Odparowana część oleju ulega gwałtownemu spalaniu.
- VI. Palą się krople oleju w reżimie dyfuzyjnym.
- VII. Dopalamana jest pozostałość (CO, HC, koksik sadza,...).


94

 Politechnika Wrocławska

Opóźnienie zapłonu

- I. Wtrysk paliwa zaczyna się kiedy temperatura powietrza przekroczy temperaturę **samozapłonu paliwa** (ok. 300C).
- II. Samozapłon następuje jednak z opóźnieniem: czas opóźnienia zapłonu.
- III. Czas opóźnienia zapłonu składa się z czasu opóźnienia **fizycznego i chemicznego** (0,7-3 ms).
- IV. Czas opóźnienia fizycznego liczy się od momentu wtrysku do momentu wytworzenia palnej mieszanki par i powietrza.
- V. Chemiczny czas opóźnienia liczy się do chwili wystąpienia wzrostu ciśnienia (indykatorowego).


95

 Politechnika Wrocławska

Opóźnienie zapłonu

1. Im większy czas opóźnienia zapłonu, tym więcej paliwa (oleju) gromadzi się cylindrze i tym gwałtowniej przebiega pierwsza, kinetyczna faza spalania.
2. Zbyt gwałtowne spalanie w tym okresie powoduje hałaśliwą pracę silnika.
3. Typowy czas opóźnienia zapłonu w silniku ZS to **ok. 1 ms**, kiedy jest on ponad 2 ms praca silnika staje się hałaśliwa.
4. Ze względu na działanie silnika najlepiej, żeby opóźnienie zapłonu było jak najmniejsze, tym mniejsze im większa jest prędkość obrotowa.

96




Temperatury samozapłonu wybranych paliw

| Rodzaj paliwa | Temperatura, °C |
|------------------|---------------------------------------|
| Olej napędowy | 233 (LC=41), 230 (LC=45), 225 (LC=55) |
| Benzyna | 440-470 |
| Alkohol etylowy | 558, 426, 365 |
| Alkohol metylowy | 574, 470, 464, 385 |
| Metan | 632, 537, 540 |
| Propan | 493, 450, 466, 504 |
| n-Butan | 408, 543, 477 |
| Wodór | 572, 400 |

Im większa gęstość tym niższa temperatura samozapłonu.

97




Zapłon paliwa w silnikach turbinowych

Najważniejszy sposób zapłonu paliwa - **zapłon iskłą elektryczną**

A ponadto możliwe jest zastosowanie:

- zapłonu świecą żarową (gł. jako źródło dodatkowe w przypadku gwałtownego wygaśnięcia płomienia)
- zapłonu od gorącej powierzchni (rzadko stosowany, mało efektywny)
- zapłonu za pomocą strumienia plazmy (w sferze badań)
- zapłonu chemicznego (wywołany wybuchem ładunku chemicznego)
- zapłonu laserowego (w sferze badań)
- zapłonu gazowego (gazowo-iskrowy z zastosowaniem dodatkowej ilości gazu palnego)
- zapłonu tlenowego (zastosowanie dodatkowej ilości tlenu ułatwiającej niezawodny zapłon rozpylonego paliwa za pomocą iskry)

98




Politechnika
Wrocławska

Stabilność płomienia

1. Płomień jest stabilny jeżeli po ustaniu źródła zakłóceń wraca do pierwotnej postaci
2. Płomień jest stabilny jeżeli jest odporny na małe zaburzenia
3. Zakres wartości poszczególnych parametrów, dla których istnienie płomienia jest możliwe (głównie prędkości przepływu i współczynnika nadmiaru powietrza)

99




Politechnika
Wrocławska

Znaczenie stabilności płomienia

1. Prawidłowa praca komory spalania zależy od stabilności płomienia
2. W napędach lotniczych stabilność spalania jest warunkiem bezpieczeństwa
3. Stabilność płomienia musi być zachowana w każdych warunkach pracy silnika lotniczego

100




Znaczenie stabilności płomienia

Zagadnienie stabilności i konieczność stosowania zespołu ustateczniającego płomień występuje zawsze, gdy prędkość przepływu jest większa od prędkości spalania.

Zadaniem stabilizatorów jest stworzenie warunków sprzyjających do trwałego palenia się płomienia przez:

- zmniejszenie lokalnej prędkości przepływu do wartości rzędu $2 \div 5$ m/s,
- wywołanie charakterystycznych recyrkulacji, które przyspieszają tworzenie świeżej mieszanki palnej.

101




Negatywne skutki stabilizowania płomienia

Zastosowanie stabilizacji płomienia może powodować, że:

- powiększają się straty przepływu,
- zwiększa się masa nagaru na ściankach rury ogniowej
- zwiększa się nierównomierność rozkładu temperatur, z którą wiąże się niebezpieczeństwo lokalnego przegrzewania rury ogniowej


102

 Politechnika Wrocławska

Czynniki wpływające na stateczność spalania

- prędkość przepływu
- rodzaj paliwa (lotność paliwa, temperatura zapłonu, stężeniowe granice zapłonu, prędkość spalania)
- skład mieszanki palnej (współczynnik nadmiaru powietrza)
- parametry ośrodka (ciśnienie, temperatura)
- mieszanie paliwa i utleniacza
- geometria komory spalania
- rodzaj stabilizatora

103

 Politechnika Wrocławska

Prędkość propagacji płomienia a jego stabilność

Jednym z warunków stabilności płomienia jest, aby co najmniej w jednym punkcie składowa prędkości przepływu (normalna do czoła płomienia) była równa prędkości płomienia:

$$U_n = V$$

U_n – normalna prędkość spalania
 V – prędkość wypływu mieszanki

Jeżeli $U_n > V$ to płomień „wskakuje” do wnętrza palnika

Jeżeli $U_n < V$ to płomień się „urywa”

Prędkość propagacji laminarnego płomienia węglowodorowego wynosi około **0,5 m/s**

104

Prędkość propagacji płomienia

Prędkość propagacji płomienia należy do jednych z podstawowych parametrów niezbędnych przy projektowaniu palników, komór spalania czy zabezpieczeń przeciwwybuchowych.

Prędkość rozchodzenia się czoła laminarnego płomienia względem świeżej mieszanki (lub ścian przewodu) nazywana jest prędkością spalania U_n .

nieruchomy front płomienia

ruchomy front płomienia

105

Wyznaczanie prędkości propagacji płomienia

→ Kierunek propagacji płomienia
→ Kierunek przepływu mieszanki palnej

v – prędkość gazu, u - prędkość przemieszczania się czoła płomienia

Prędkość przemieszczania się czoła płomienia może być rozłożona na dwa wektory: normalny u_n i styczny u_t .

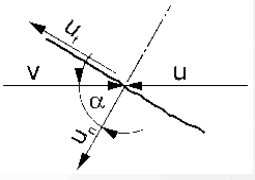
$$\frac{u_n}{u} = \cos \alpha$$

prawo Michelsona:
 aby czoło płomienia było w danym punkcie ustalone, musi ono być nachylone (w tym punkcie) do prędkości v pod takim kątem α aby rzut wektora v prędkości napływającego strumienia na normalną do czoła płomienia był równy prędkości spalania laminarnego u_n .

106

Wyznaczanie prędkości propagacji płomienia

v – prędkość gazu, u - prędkość przemieszczania się czoła płomienia



Czoło płomienia ma być nieruchome (względem ścian rury) więc $v = u$

$$\frac{u_n}{v} = \cos \alpha$$

Z prawa Michelsona wynika wniosek, że przy ustalonej wartości v , jeżeli zwiększeniu ulegnie wartość u_n , to kąt α ulegnie zmniejszeniu; w granicznym przypadku, gdy $v = u_n$, czoło płomienia będzie prostopadłe do wektora v .

Odkrycie prawa Michelsona pozwoliło na jednoznaczne zdefiniowanie prędkości spalania laminarnego, opracowanie metod jej pomiaru i eksperymentalnie wykazać, że u_n jest rzeczywiście stałą fizykochemiczną mieszaniny palnej.

Prędkość propagacji płomienia dla różnych paliw

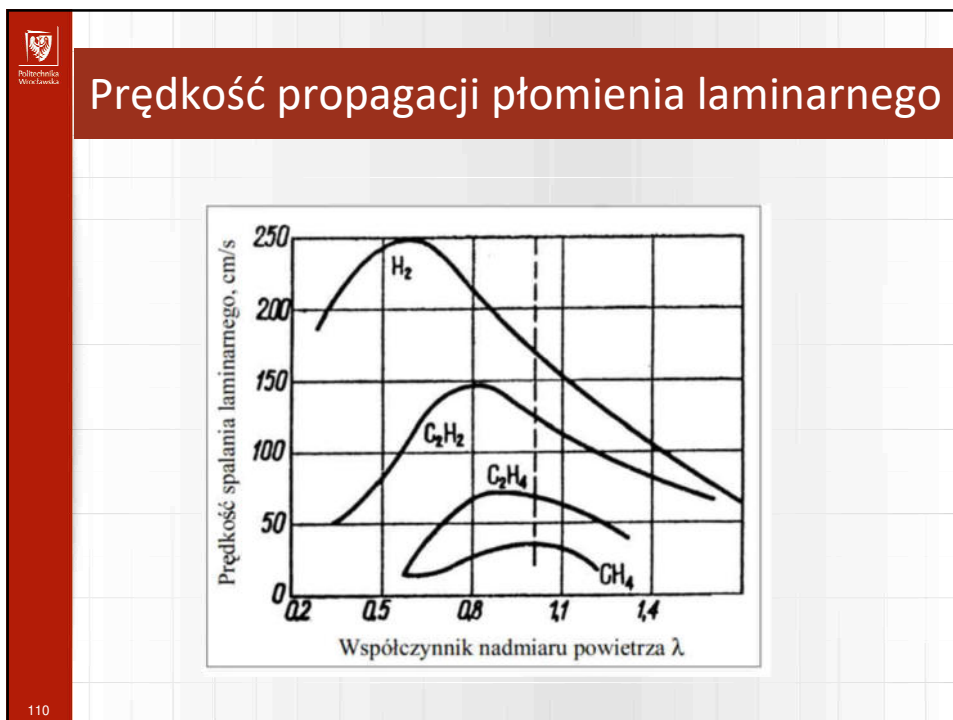
| Paliwo | Współczynnik nadmiaru powietrza | Prędkość propagacji płomienia $U_{n,max}$, m/s |
|--------------|---------------------------------|---|
| Wodór | 1,8 | 3,25 |
| Tlenek węgla | 2,05 | 0,52 |
| Metan | 1,08 | 0,45 |
| Etan | 1,14 | 0,48 |
| Propan | 1,06 | 0,46 |
| Acetylen | 1,25 | 1,55 |
| Metanol | 1,08 | 0,50 |
| Siarkowodór | 0,9 | 0,41 |
| Etylen | 1,13 | 0,74 |

Czynniki wpływające na prędkość propagacji płomienia

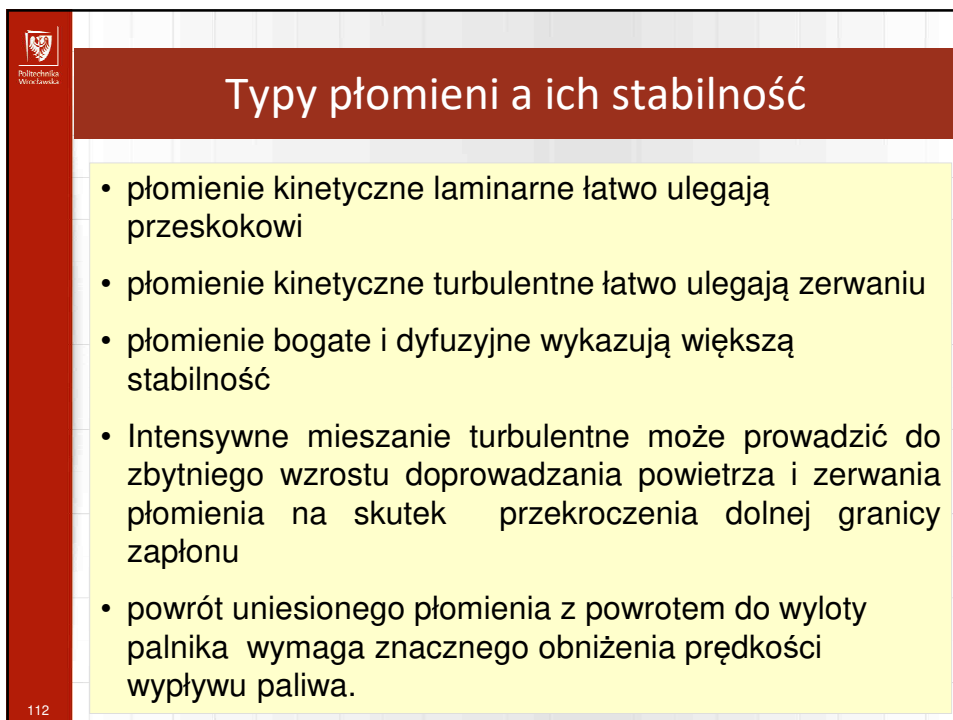
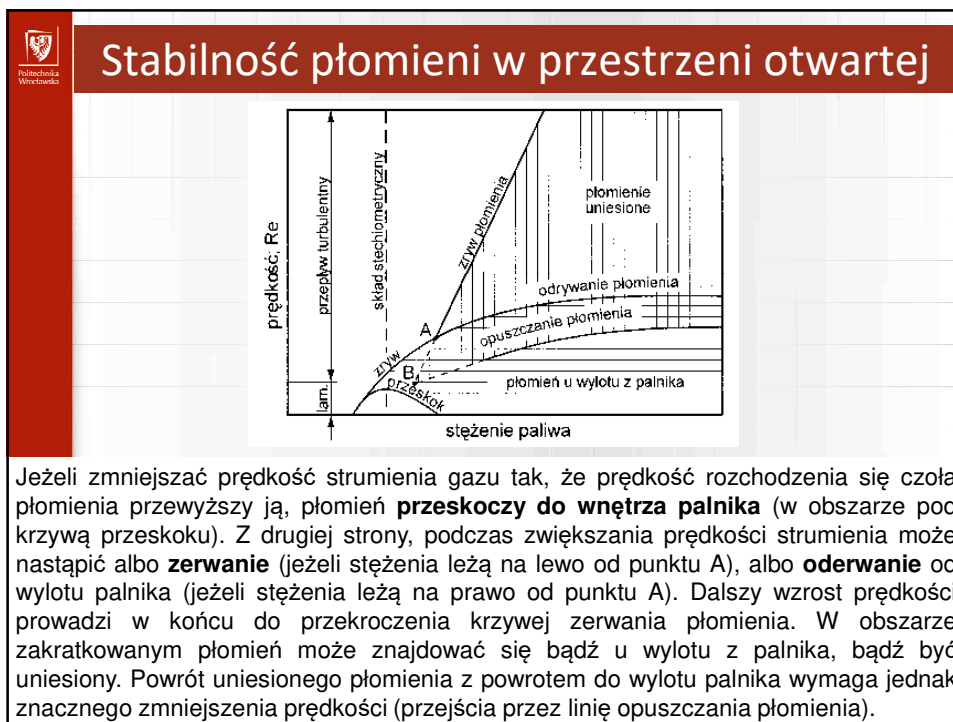
Podstawowe czynniki to:

- rodzaj paliwa
- rozmiar cząstek paliwa,
- skład mieszanki palnej (maksimum przy określonym składzie),
- temperatura świeżej mieszanki (ze wzrostem temperatury rośnie),
- ciśnienie (ze wzrostem ciśnienia maleje).

109



110



Sposoby stabilizacji płomieni i rozwiązania stateczników

Sposoby stabilizacji płomieni:

- w warstwie granicznej
- przez doprowadzenie energii z zewnątrz
- recyrkulacja spalin
- zawirowanie przepływu (aerodynamika)

Rozwiązania stateczników (stabilizatorów):

- stateczniki stożkowe
- stateczniki strugowe
- zawirowywacze łopatkowe
- obieg zwrotny (odwracanie kierunku przepływu)


113

Stabilizacja płomienia w warstwie przyściennej

Temperatura obu strug jest dużo mniejsza od temperatury zapłonu. W jednym ze strumieni prędkość przepływu jest zawsze większa od prędkości spalania, w drugim (na pewnym odcinku) jest obszar gdzie prędkość spalania jest większa (obszar linii przerywanej) i w przypadku zapłonu mieszanki w tym miejscu powstały płomień cofnie się do punktu, w którym $U_n = V$.

1 – struga czynnika otaczającego
2 – struga mieszanki palnej,
g – koncentracja paliwa,
 w_n – prędkość spalania,
w – prędkość przepływu


114

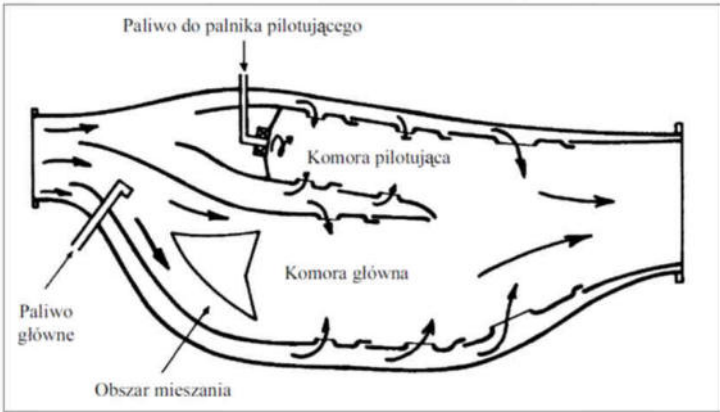
 **Stabilizacja przez energię doprowadzoną z zewnątrz**

Doprowadzenie dodatkowej energii cieplnej może być realizowane przez:

- Płomień pilotujący,
- Strumień gorących spalin
- Gorące elementy

115

 **Stabilizacja przez wykorzystanie płomienia pilotującego**



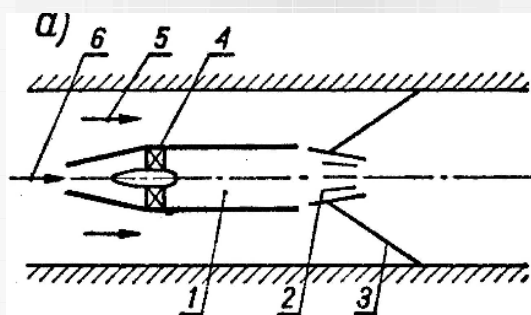
The diagram illustrates the flow of fuel and air in a combustor. It shows a main chamber (Komora główna) and a pilot chamber (Komora pilotująca). Fuel is injected into the pilot chamber (Paliwo do palnika pilotującego) and the main chamber (Paliwo główne). The mixing zone (Obszar mieszania) is indicated by arrows showing the interaction between the two fuel streams. The pilot flame stabilizes the main flame.

116



Stabilizacja płomienia gorącymi spalinami

Ustatecznienie płomienia za pomocą gorących spalin polega na wykorzystaniu wymiany ciepła i w efekcie zapłonu mieszanki palnej w pobliżu ścianki, gdzie $U_n = V$.

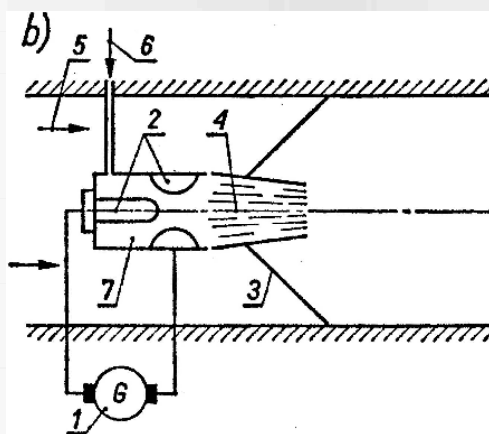


1 – komora wstępna, 2 – gorące spaliny lub płomień, 3 – czoło płomienia rozprzestrzeniającego się w strudze mieszanki, 4 – system stabilizacji w komorze wstępnej, 5, 6 – kierunek przepływu mieszanki

117



Stabilizacja płomieni za pomocą plazmy

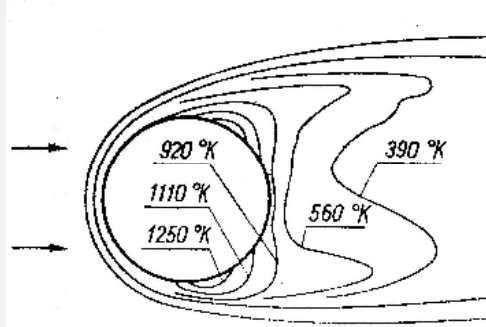


1 – generator prądu elektrycznego, 2 – elektrody, 3 – czoło płomienia rozprzestrzeniającego się w strudze mieszanki, 4 – struga plazmy, 5 – kierunek przepływu mieszanki, 6 – przepływ czynnika roboczego, 7 – generator plazmy

118

Stabilizacja płomieni gorącymi elementami

Przeływająca mieszanka na skutek wymiany ciepła ogrzewa się, co prowadzi do zapłonu w pobliżu gorącej ścianki. Płomień stabilizuje się w pewnej odległości od ścianki, przy której $U_n = V$.



Rozkład temperatury za metalowym walcem nagrzanym do 1300K i opływanym przez strumień powietrza atmosferycznego z prędkością 10 m/s

119

Stabilizacja płomieni gorącymi spalinami

Stabilizacja gorącymi spalinami:

- pilotujący płomień,
- recyrkulacja spalin.

Recyrkulacja:

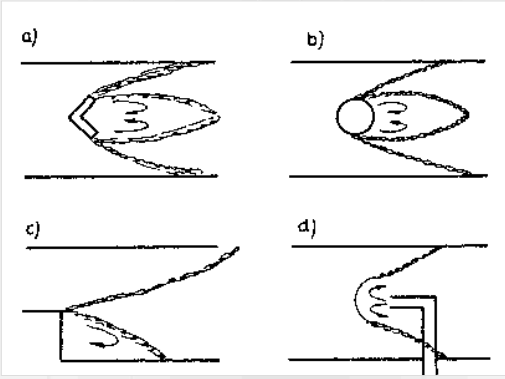
- zewnętrzna,
- wewnętrzna.

120

 Politechnika Wrocławska


Stabilizacja płomieni przez recyrkulację spalin

Recyrkulacja spalin może być wywołana umieszczeniem w przepływie ciał nieoptywowych lub silnym zawirowaniem strugi.

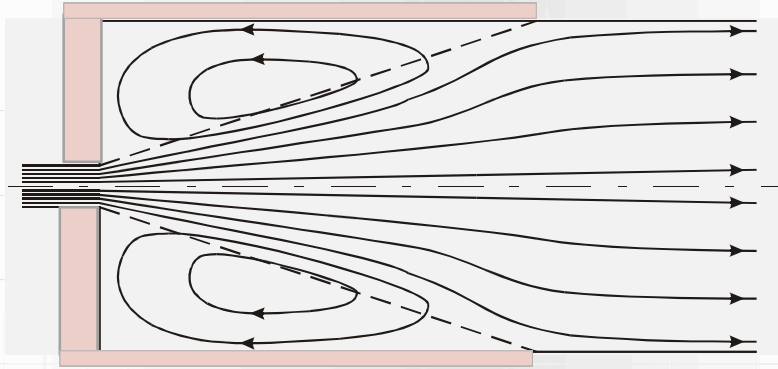


Przykłady generatorów przepływów recyrkulacyjnych

121

 Politechnika Wrocławska

Recyrkulacja zewnętrzna



Recyrkulacja zewnętrzna wywołana działaniem strugi

122

Recykulacja wewnętrzna przez ciało nieoptywowe

123

Wpływ ciała nieoptywowego

- temperatura w strefie recykulacji sięga 90% wartości adiabatycznej temperatury spalania,
- lokalna redukcja prędkości i generacja prądów zwrotnych,
- intensywność turbulencji sięga 50%,
- intensywna wymiana masy i przekazywanie ciepła (przyspieszenie uzyskania jednorodnej mieszanki),

124

Rodzaje stateczników

Statecznik stożkowy Statecznik łopatkowy Statecznik klinowy

I – statecznik klinowy, 2 – czoło płomienia, 3 – strefa zawirowań, 4 – granica prądów zwrotnych, 5 – profile rozkładu prędkości, 6 – powietrze, 7 – zawirowanie wywołane łopatkami zawirowywacza, 8 – strefa podciśnienia, 9 – wtryskiwacz, 10 – ściana rury ogniowej, II – szczeliny wprowadzające, z – łopatki zawirowywacza,

125

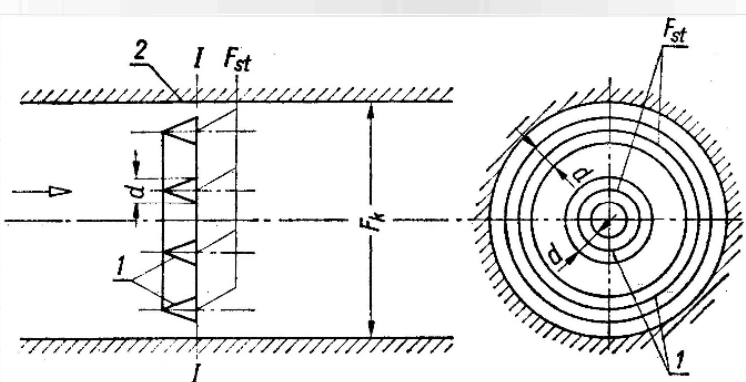
Układy stateczników

Układ z dwoma pierścieniowymi statecznikami płomienia:
1- czoło płomienia
2- ścianka komory
3- stateczniki

Układ stateczników w komorze spalania:
1- stabilizator stożkowy
2- stabilizatory pierścieniowe
3- ścianka komory spalania
4- oś komory

126

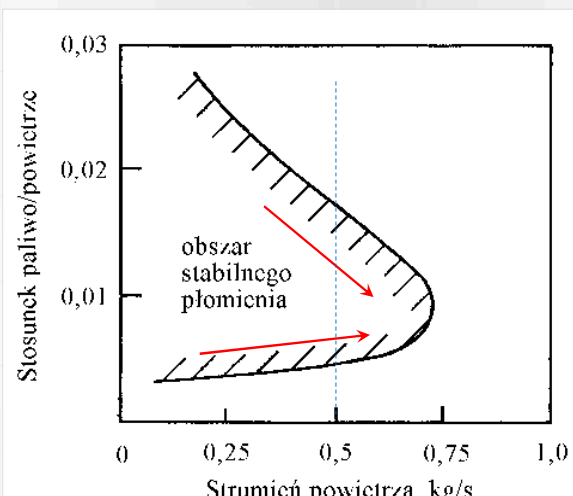
Układy stateczników



Układ pierścieniowych stateczników płomienia:
 1 – stabilizatory płomienia, 2 – ścianki komory spalania, F_{st} – pole powierzchni czołowej stabilizatorów, F_o – pole powierzchni przekroju poprzecznego, d – charakterystyczny wymiar stabilizatora

127

Charakterystyka statecznika

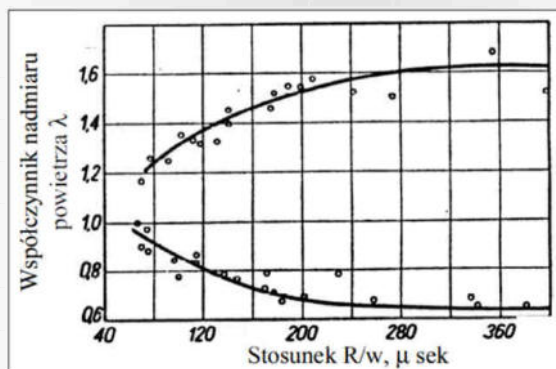


Zakres stabilności spalania

128



Wpływ rozmiaru statecznika

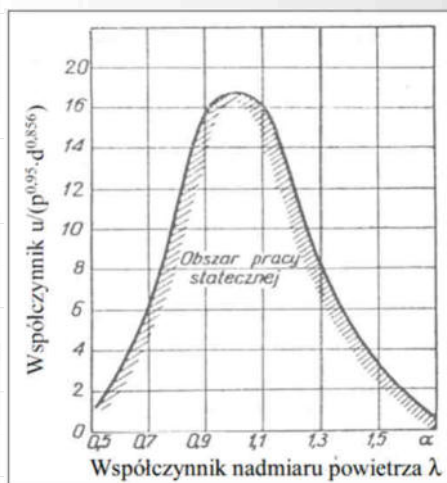


Wpływ charakterystycznego dla statecznika stosunku R/w na zakres stateczności mieszanek nafta-powietrze:
 R – połowa charakterystycznego wymiaru stabilizatora,
 w – prędkość w przekroju statecznika

129



Wpływ prędkości na zakres stabilności



Charakterystyka stateczników płomienia:
 p – ciśnienie panujące w komorze
 u – prędkość przepływu w płaszczyźnie statecznika
 d – charakterystyczny wymiar statecznika

130

Politechnika Wrocławska

Stabilizacja płomienia przez przeciwne skierowanie strugi

Przeciwny wlot czynnika

Front płomienia

Recyrkulacja mieszanki palnej lub spalin

Turbulentna mieszanka palna

Dysza strumieniowa

Region krytyczny dla stabilizacji płomienia

131

Politechnika Wrocławska

Stabilizacja płomienia przez zawirowanie strugi

Silne zawirowanie przepływu (liczba wiru $S > 0,6$) powoduje wywołanie recyrkulacji i w rezultacie stabilizację płomienia

132

Stabilizacja płomienia przez zawirowanie strugi

Liczba wiru $S = G_\phi / (0,5 G_x d_o)$

G_x - strumień pędu osiowego,

$$G_x = \int_0^R u \rho u 2\pi r dr + \int_0^R P 2\pi r dr$$

G_ϕ - strumień pędu obwodowego

$$G_\phi = \int_0^R (\omega r) \rho u 2\pi r dr,$$

133

Charakterystyka stateczności zawirowanego płomienia

Obciążenie, kW

200
160
120
80
40
0

0 0,1 0,2 0,4 0,6 1,0 1,5

S

stabilny

niestabilny

Wpływ liczby wiru S na zakres stabilności płomienia pyłowego

134

Politechnika Wrocławska

Stabilizacja spalania zawirowaniem i przeciwprądem



135

Politechnika Wrocławska

Sposoby zwiększenia stabilności płomienia

- zwiększenie wymiarów stabilizatora,
- zwiększenie temperatury początkowej mieszanki,
- zbliżenie się do stechiometrycznych warunków spalania,
- zwiększenie ciśnienia statycznego przepływu,
- zmniejszenie intensywności turbulencji w przepływie głównym,
- lepsze rozdrobnienie paliwa,
- większy udział lotnych składników w paliwie ciekłym,

136



Sposoby zwiększenia stabilności ubogich płomieni

Zasilanie komór spalania ubogimi mieszankami ($\lambda = 2 \div 4$) stwarza zagrożenie zerwania płomienia (zwłaszcza przy niskim obciążeniu silnika).

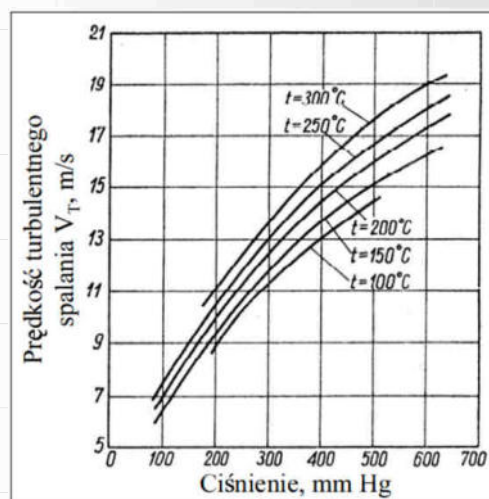
Stabilność płomienia zapewnia się przez:

- sekwencyjne systemy spalania,
- regulowane zawirowanie powietrza,
- zmienną geometrię komory spalania,
- stosowanie pomocniczych palników dyfuzyjnych

137

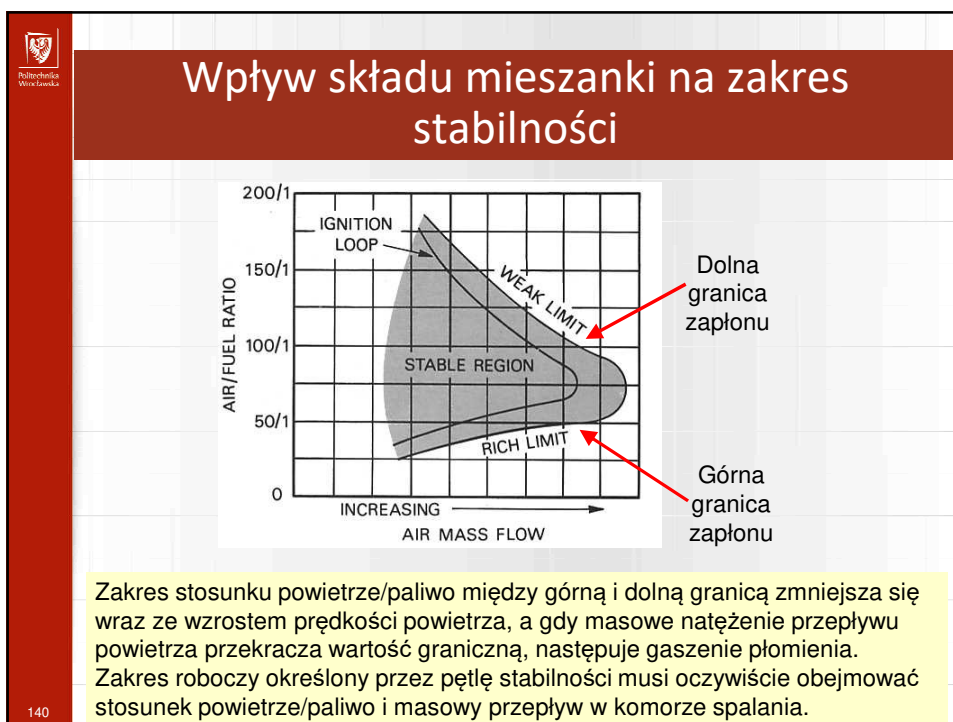
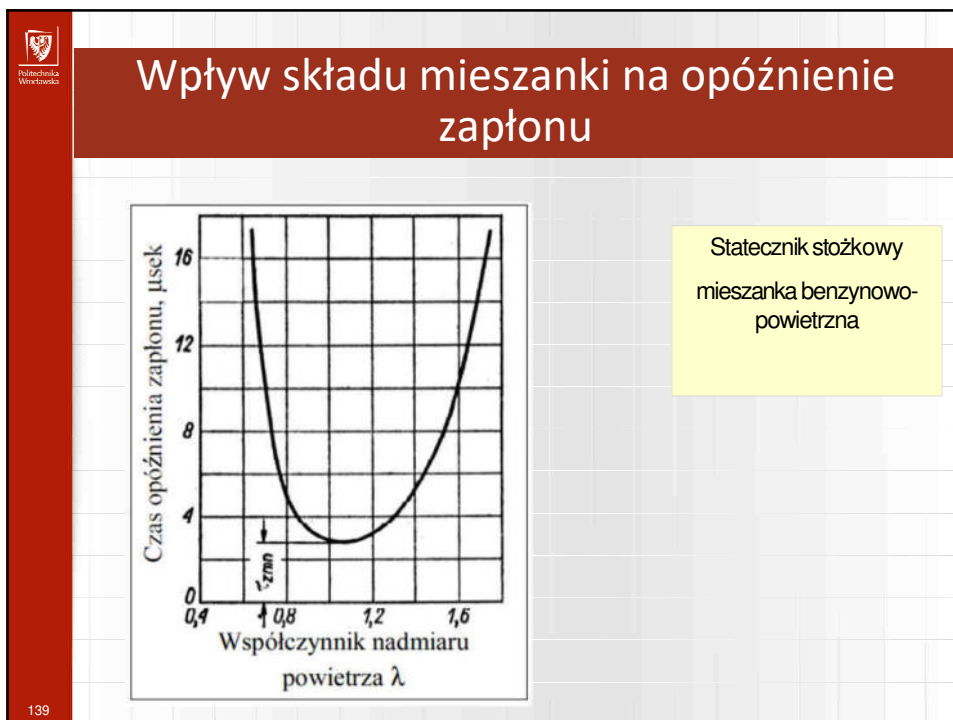


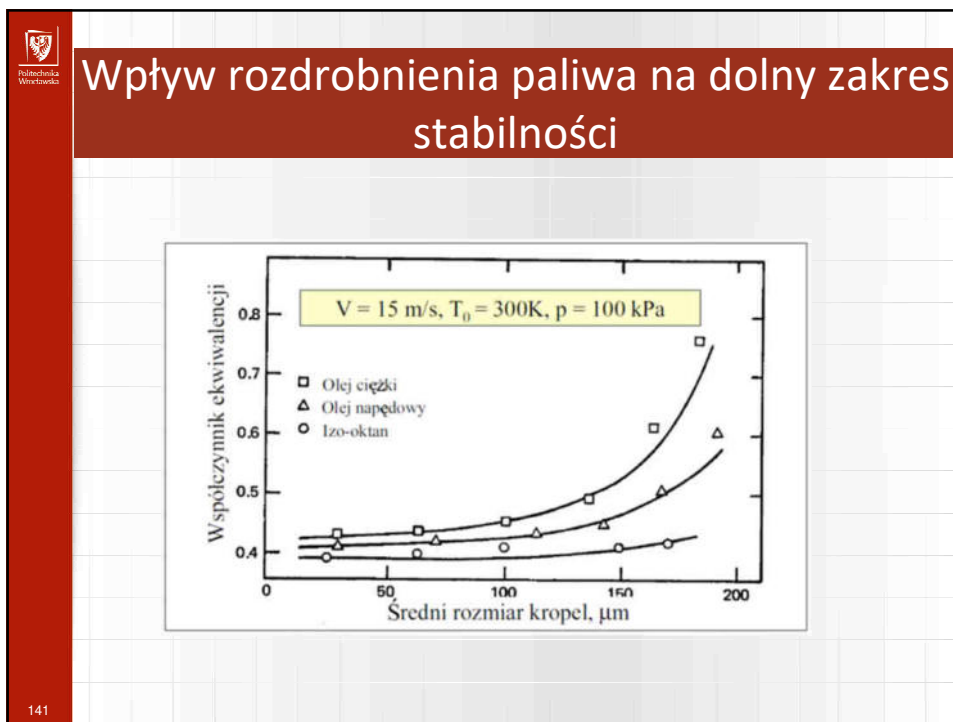
Wpływ temperatury początkowej mieszanki



Zależność prędkości turbulentnego spalania od ciśnienia i temperatury

138





Politechnika Wrocławska

Rozpylanie paliw ciekłych

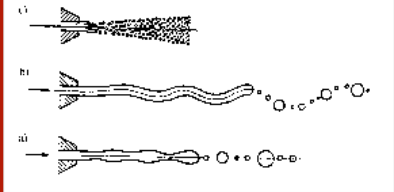
Rozpylanie jest procesem przekształcania ciągłej strugi cieczy w zbiór drobnych kropeł.

Proces ten zachodzi poprzez rozpad strugi cieczy na mniejsze strugi (rozpad pierwotny), które przekształcają się następnie w krople (wtórny rozkład).


Foto: <http://wtryskiwacz.com.pl>

142 <- Foto: Badania własne

Rozpylanie strugi



Pierwotny rozpad strugi,
(prędkość wypływu rośnie od a do c)



wtórny rozpad kropli

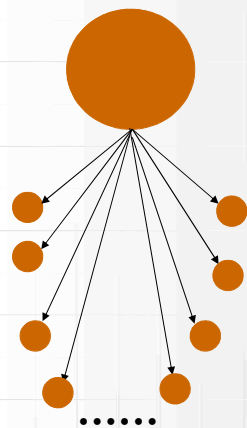
Naruszenie równowagi sił bezwładności i napięcia powierzchniowego powoduje symetryczne zaburzenia strugi (a) prowadzące do jej rozpadu na krople o średnicy $d_0 \cong 1,89L$.

Nasilone oddziaływanie gazu skutkuje zmniejszeniem rozmiarów kropli (b).

Atomizację cieczy obserwuje się dla wielkich prędkości wypływu strugi, kiedy liczby Re i We osiągną duże wartości – struga rozpada się już u wylotu dyszy, a krople są dużo mniejsze od średnicy strugi.

Rozpylanie paliw ciekłych

Wpływ rozpylania paliwa na proces spalania




Założenie:
1 kropla paliwa ma objętość 1 cm^3 , promień $0,62\text{ cm}$, powierzchnia zewnętrzna $P=4,83\text{ cm}^2$.

Po rozbiciu jej na milion jednakowych mniejszych kropli suma powierzchni zew. wyniesie $\sum P = 483\text{ cm}^2$ (przy $r \approx 0,006\text{ cm}$)
czyli ulegnie 100-krotnemu zwiększeniu.

Ma to istotne znaczenie dla procesu spalania – szybkości odparowania i spalania kropli, jakości mieszania z utleniaczem, aerodynamiki płomienia.

144

 Politechnika Wrocławska

Czas spalania pojedynczej kropli paliwa


Czas spalania kropli paliwa t_s :

$$t_s = kd_o^2$$

d_o – średnica początkowa kropli
 k – współczynnik

Czas spalania kropli paliwa silnie zależy od średnicy początkowej spalanej kropli, z czym związane jest m.in. nagrzewanie kropli i odparowanie.

145

 Politechnika Wrocławska

Fazy spalania paliw ciekłych

Wyróżnić można dwie fazy spalania paliw ciekłych:

- faza parowania paliwa
- faza spalania par paliwa (spalanie gazu)

Na całkowity czas spalania kropli wpływa czas wymagany dla przebiegu obu tych faz.
 Na szybkość parowania, oprócz wielkości kropli, wpływać będzie także temperatura otoczenia (w płomieniu), natomiast na czas spalania par wpływać będzie m.in. dostępność utleniacza.

146

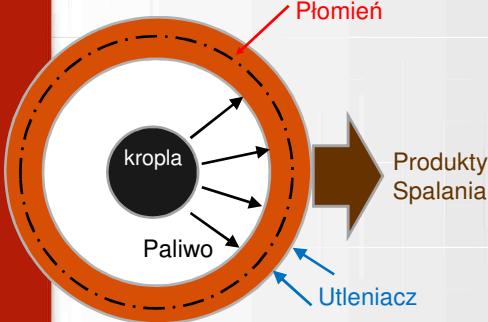
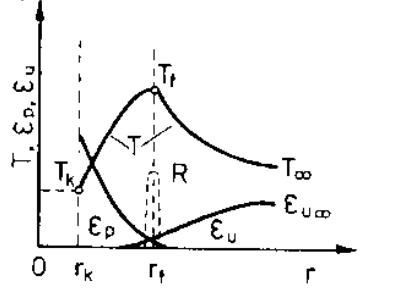
Dominujące czynniki w spalaniu paliw ciekłych

Czynniki dominujące:

- parowanie cieczy,
- mieszanie par z utleniaczem,
- kinetyka chemiczna spalania.

147

Spalanie pojedynczej kropli paliwa

r_k – promień kropli, r_f – promień czola płomienia

Model dyfuzyjnego spalania kropli paliwa:

- a) geometria płomienia,
- b) rozkłady temperatury (T) oraz stężenia paliwa (ϵ_p) i tlenu (ϵ_u)

148

Wpływ konwekcji na spalanie kropli paliwa

a) wpływ konwekcji swobodnej,

b) wpływ konwekcji wymuszonej (1 – przepływ, 2 – kropla, 3 – strefa recyrkulacji)

149

Struktura płomienia

model jednowymiarowy

1 – strefa parowania,
2 – strefa homogenicznego spalania, 3- strefa heterogenicznego spalania,
4 – strefa dopalania

1 – struga, 2 – krople,
3- spalanie kropeł,
4 – dopalanie,
5 – granice płomienia

150

Mechanizmy rozpylania strugi cieczy

Istota rozpylania cieczy w strudze polega na pokonaniu napięcia powierzchniowego cieczy przez siły zewnętrzne lub wewnętrzne:

- naprężenia styczne na powierzchni strugi, wywołane różnicą prędkości między cieczą a powietrzem, które destabilizuje strugę, wywołując jej rozkład,
- siły odśrodkowe ruchu wirowego strugi, siły wywołane wzrostem ciśnienia w kropli na skutek parowania w jej wnętrzu,
- zewnętrzne siły mechaniczne, elektrostatyczne i ultradźwięków.

151

Mechanizmy rozpylania strugi cieczy

Decydującą rolę w rozpyleniu odgrywają siły: bezwładności, lepkości i napięcia powierzchniowego.

Relacje tych sił można wyrazić za pomocą dwóch liczb bezwymiarowych, charakterystycznych dla procesu rozpylania strugi cieczy – **Reynoldsa i Webera**.

$$Re = (UL)/\nu$$

$$We = (U^2L)/\sigma$$

Wymiar liniowy L oznacza odpowiednio średnicę wylotu lub rozmiar kropli (d_0).
 σ - współczynnik napięcia powierzchniowego cieczy

Mechanizmy rozpylania strugi cieczy

| | | |
|---------------------|--|--|
| Energia cieczy | Rozpylacze strumieniowe o działaniu ciągłym | Rozpylacze strumieniowe o działaniu przerywanym |
| | Rozpylacze wirowe | |
| | Rozpylacze strumieniowo-wirowe | |
| Energia gazu | Rozpylacze pneumatyczne | |
| Energia mechaniczna | Rozpylacze rotacyjne | |

Rodzaje energii wykorzystywanych do rozpylanie oleju jako podstawa do klasyfikacji rozpylaczy

— ciecz
- - - gaz

153

Rozpylanie strugi

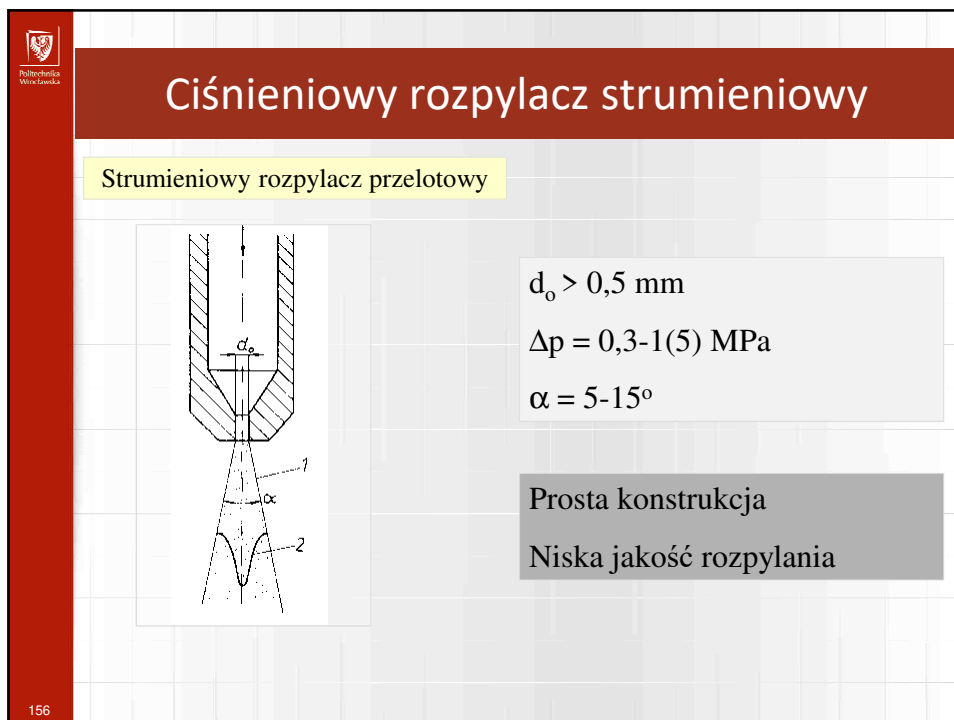
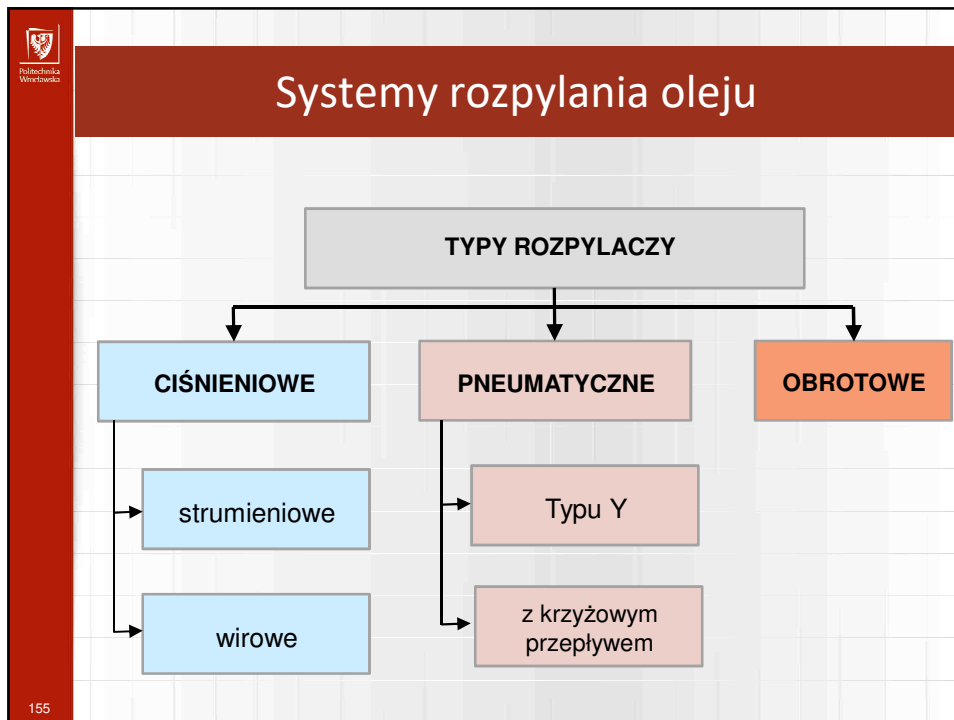
Wpływ ciśnienia na jakość rozpylenia oleju

Wraz ze wzrostem ciśnienia rozpylania widać wzrost rozdrobnienia kropeł objawiające się wzrostem powierzchni kropeł i tworzenie strugi w postaci „mgły”.



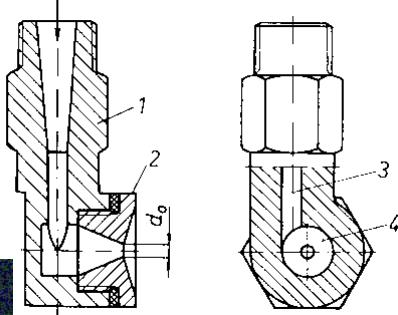
5 bar 10 bar 15 bar

154



Politechnika Wrocławska

Ciśnieniowy rozpylacz wirowy




$d_0 = 2-6 \text{ mm}$
 $\Delta p = 0,6-1,0 \text{ MPa}$
 $\alpha = 45-90^\circ$

Prosta budowa
 Pewność działania
 Dobra jakość rozpylania
 Małe zużycie mocy

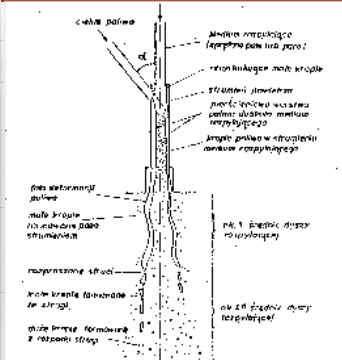
Rozpylacz wirowy

Kształtowanie wypełnienia strugi





Politechnika Wrocławska

Rozpylacz pneumatyczny




Zużycie czynnika roboczego
 $\delta = 0,06-0,1 \text{ kg/kg}$

Rozpylacze tego typu wykorzystywane są często w układach palnikowych dla paliw o zwiększonej lepkości (np. mazut, biopaliwa).

158


 Politechnika Wrocławska

Parametry rozpylania paliwa

Parametry rozpylania:

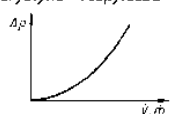
- wydajność, kg/s
- kąt rozpylania, °
- rozłożenie kropeł (po promieniu),
- jakość rozpylania.

159

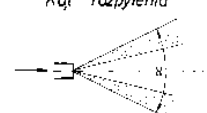
 Politechnika Wrocławska

Parametry rozpylania paliwa

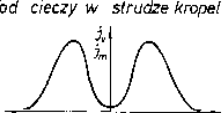
Charakterystyka rozpylacza



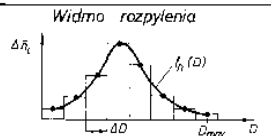
Kąt rozpylania



Rozkład cieczy w strudze kropeł

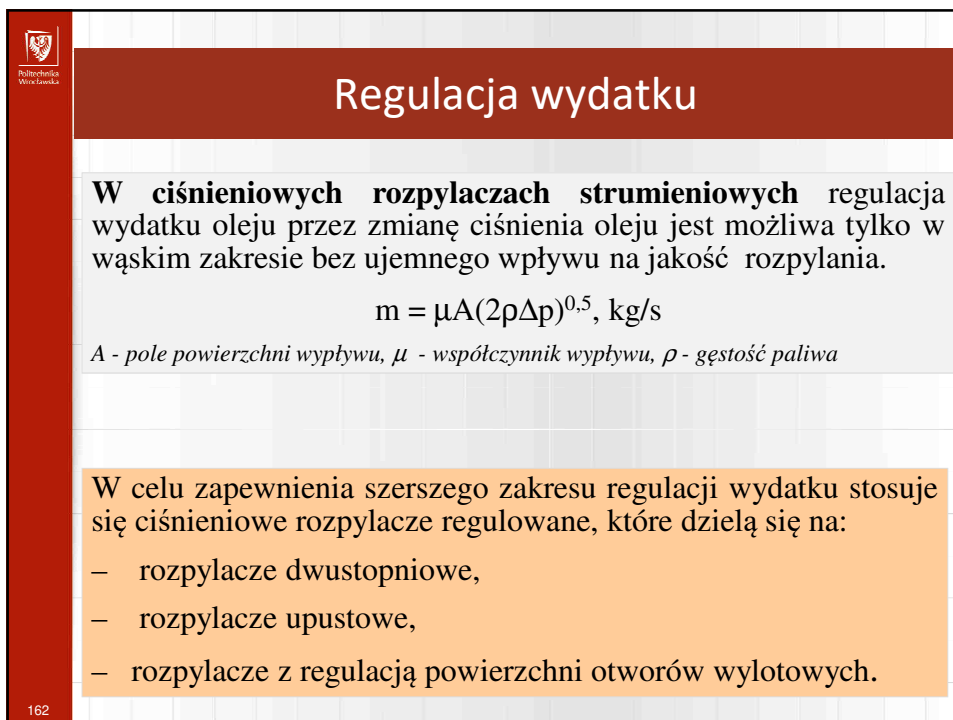
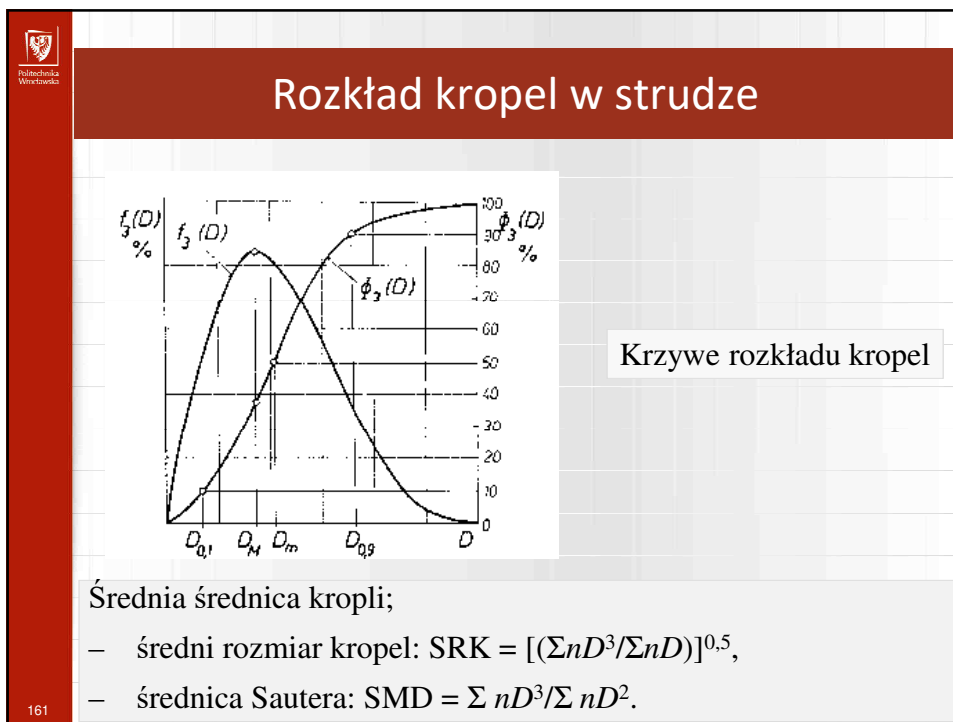


Widmo rozpylenia



Wybrane parametry rozpylaczy

160



Dwustopniowa regulacja wydatku

Schemat jednokomorowego rozpylacza dwuzakresowego: 1 – zawór, 2, 3 – odprowadzenie

Rozpylacz dwudyszowy
I, II – dysza


163

Upustowa regulacja wydatku paliwa

Zbiornik oleju

Rozpylacz

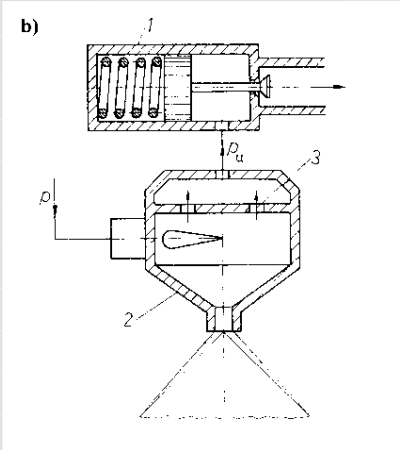
164

 Politechnika Wrocławska


Rozpylacz upustowy z zaworem

1 – zawór,
2 – komora wirowa,
3 – otwory upustowe

b)

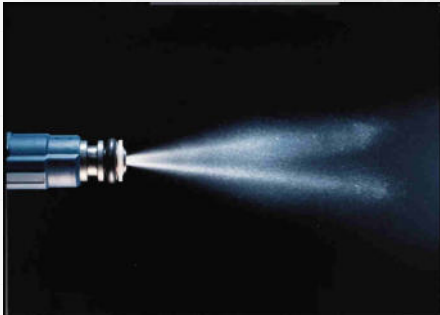


165

 Politechnika Wrocławska

Wtrysk paliwa do komór spalania w silnikach

W przypadku dozowania paliwa do komór spalania w silnikach wtryskuje się precyzyjnie niewielkie dawki paliwa w określonym czasie. Wykorzystuje się do tego specjalne wtryskiwacze wykonane przy wykorzystaniu najnowocześniejszej technologii drążenia otworów laserem. Umieszczona w cylindrze silnika końcówka wtryskiwacza musi wytrzymać bardzo wysokie temperatury, dochodzące do kilkuset stopni Celsjusza. Kiedy dojdzie do zużycia wtryskiwacza, jakość rozpylenia paliwa spada.



166

Foto: <https://www.auto-swiat.pl>

Układy wtryskowe w silnikach ZI

- jednopunktowy (do kolektora) SPI - *single point injection*.
- wielopunktowy (do przewodu dolotowego) MPI - *multipoint injection*,
- bezpośredniego wtrysku DI - *direct injection*.

a

SPI

b

MPI

c

GDI

a) Jednopunktowy (SPI), b) wielopunktowy (MPI), c) wielopunktowy bezpośredni (GDI);
 1- doprowadzenie paliwa, 2- zasysane powietrze, 3- przepustnica, 4- układ dolotowy, 5- wtryskiwacz paliwa, 6- silnik

Kedzia, R., Okoński, A., „Układy paliwowe systemów wtryskowych silników z zapłonem iskrowym”, Poradnik Serwisowy Nr 1/2002, Instalator Polski, Warszawa 2002

Wtrysk pośredni paliwa w silnikach ZI

Foto: <https://www.auto-swiat.pl>

Przykład wtrysku wielopunktowego (MPI). Wtryskiwacz znajdujący się w kanale dolotowym silnika spalinowego podaje paliwo na zawór ssący.

 Politechnika Wrocławska

Wtrysk bezpośredni paliwa w silnikach ZI



Foto: <https://www.auto-swiat.pl>

Bezpośredni wtrysk paliwa (DI). Wtryskiwacz podaje paliwo bezpośrednio do komory spalania (cylindra). Wtryskiwane paliwo znacząco obniża temperaturę w cylindrze przy dużych obciążeniach silnika, dzięki temu można podnieść stopień sprężania, szczególnie w silnikach doładowanych.

169

 Politechnika Wrocławska

Wtrysk bezpośredni paliwa w silnikach ZI

Procesu napełniania w silniku FSI (Fuel Stratified Injection)



Skład jednorodny – mieszanka homogeniczna

Skład uwarstwiony

170

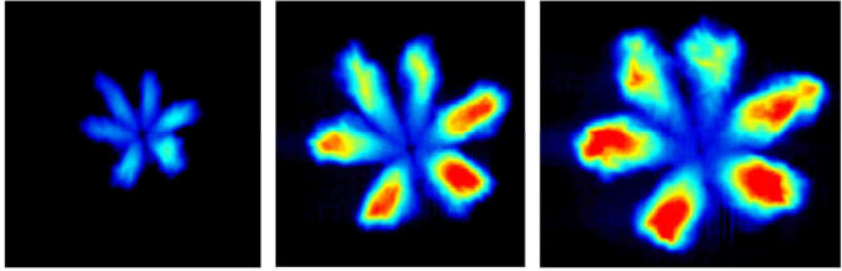
Źródło: materiały Audi AG

Wtrysk bezpośredni paliwa w silnikach ZI

Propagacja strug paliwa dla wtryskiwacza elektromagnetycznego

czas po rozpoczęciu wtrysku

t = 0,2 ms t = 0,4 ms t = 0,6 ms



Rys. 11. Rozpylenie paliwa z wielootworkowego wtryskiwacza elektromagnetycznego (widok od frontu)
(badania własne: $P_{wtr} = 20 \text{ MPa}$, $t_{wtr} = 0.3 \text{ ms}$, $P_{pow} = 1,5 \text{ MPa}$)

171 Skowron M., Pielecha I., Logistyka 3/2015

Wtrysk paliwa w silnikach turbinowych

Wymagania stawiane wtryskiwaczom paliwa:

1. Zdolność do dobrego rozdrobnienia paliwa w szerokim zakresie wydatków paliwa
2. Zdolność do szybkiej odpowiedzi na zmianę wydatku paliwa
3. Stabilny proces rozpylania
4. Możliwość najniższe ciśnienie zasilania
5. Możliwość łatwego przeskalowania konstrukcyjnego
6. Niskie koszty, waga, a także łatwość serwisu i utrzymania
7. Odporność na uszkodzenia transportowe i podczas instalacji
8. Odporność na zanieczyszczenia i tworzenie się nagaru
9. Równomierność osiowego i obwodowego rozkładu kropeł.

172



Wtrysk paliwa w silnikach turbinowych

Główne typy stosowanych wtryskiwaczy:

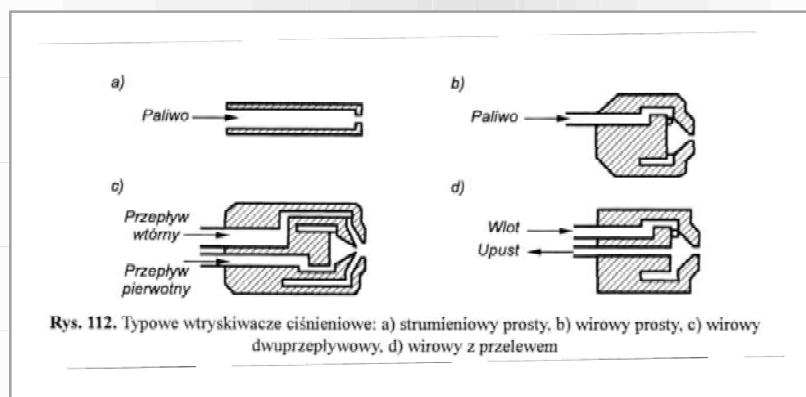
1. Wtryskiwacze ciśnieniowe
2. Wtryskiwacze ze wspomaganie powietrzny
3. Wtryskiwacze z odparowaniem paliwa
4. Wtryskiwacze obrotowe

173



Wtrysk paliwa w silnikach turbinowych

1. Wtryskiwacze ciśnieniowe

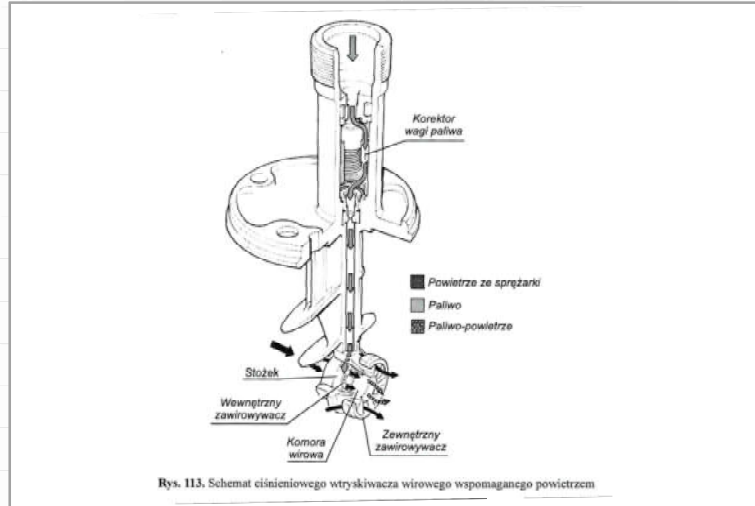


174



Wtrysk paliwa w silnikach turbinowych

2. Wtryskiwacze ze wspomaganie powietrzem

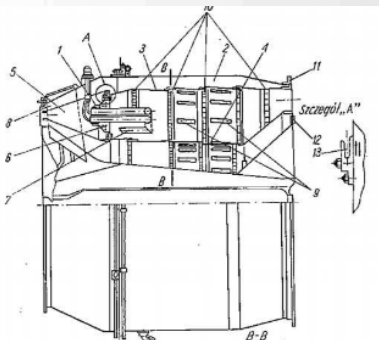


175



Wtrysk paliwa w silnikach turbinowych

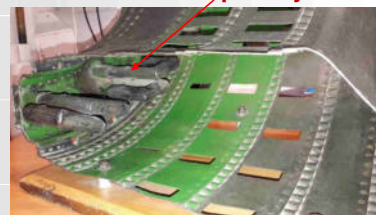
3. Wtryskiwacze z odparowaniem paliwa



1- pierścien wlotowy z parownicami, 2- osłona komorowa, 3- zewnętrzna rura żarowa, 4- wewnętrzna rura żarowa. Powietrze wychodzące ze sprężarki w kadłubie wlotowym zostaje rozdzielone na dwa strumienie: pierwotny i wtórny. Powietrze pierwotne doprowadzane jest do wnętrza rury żarowej przez wewnętrzny stożek kadłuba wlotowego 5, a następnie przez otwory w pierścieniu wlotowym 6 oraz częściowo przez parownice 7. Powietrze pierwotne bierze udział w spalaniu paliwa w strefie spalania, a powietrze do parownic zapobiega koksowaniu paliwa w parownicach



Odparowywacz

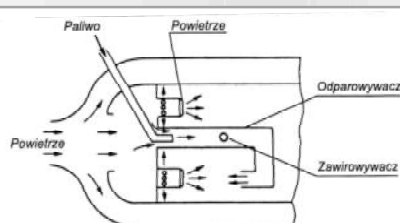


176

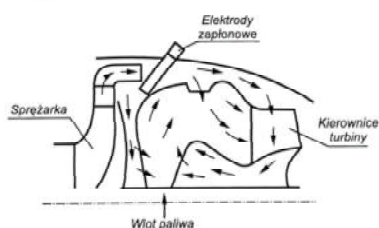


Wtrysk paliwa w silnikach turbinowych

4. Wtryskiwacze obrotowe



Rys. 114. Schemat wtryskiwacza z odparowaniem paliwa



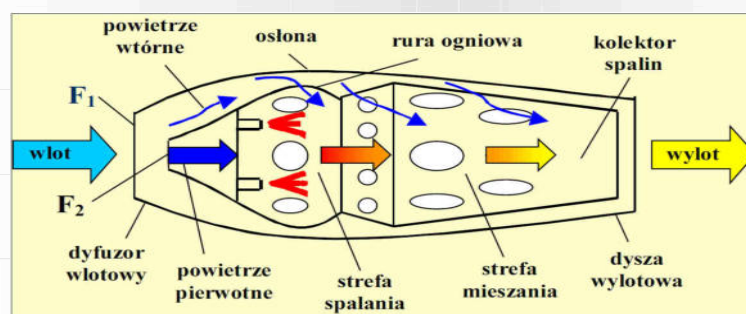
Rys. 115. Schemat wtryskiwacza obrotowego

177



Zasada pracy komory spalania w turbinie gazowej

Komora spalania to miejsce, w którym przebiegają wszystkie procesy niezbędne do właściwego przygotowania i spalania paliwa w celu uzyskania z niego maksimum energii i przekształceniu jej części w ciąg.



Zasada pracy komory spalania polega na dostarczeniu do sprężonego powietrza i rozdrobnionego paliwa, które po odparowaniu zostaje spalane. Powstałe spaliny zostają ochłodzone do temperatury wymaganej dla bezpiecznej pracy turbiny.

178

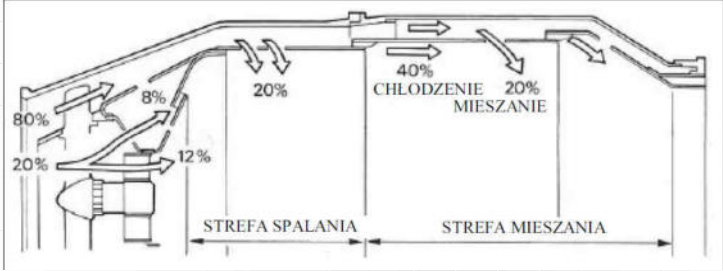
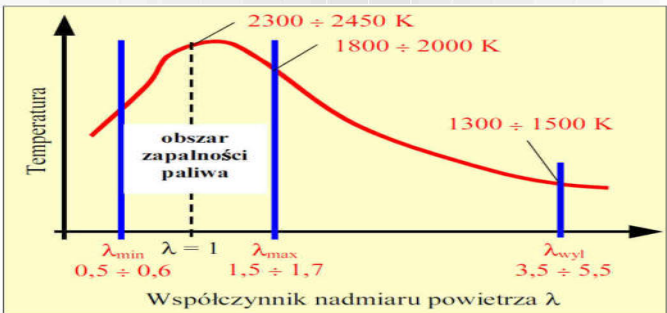
Strefy w komorze spalania turbiny gazowej

- Strefa spalania**
 - Pierwotna (stechiometryczna, bogata, uboga) – ma za zadanie zapewnić stabilne i intensywne spalanie.
 - Pośrednia (zalecana temperatura spalania 1800K) – w której przebiega rekombinacja rodników oraz dopalenie produktów spalania, takich jak: CO, sadzy, CnHm.
- Strefa mieszania** (rozcieńczania) – ma za zadanie schłodzenie spalin do wymaganej dopuszczalnej temperatury przed turbiną



179

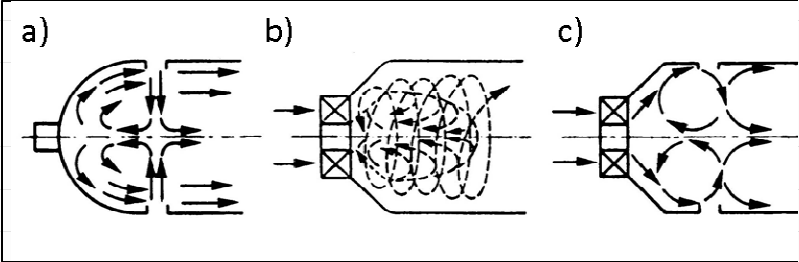
Rozptył powietrza w komorze spalania

180

Organizacja mieszania powietrza w komorze spalania

Sposoby organizacji przepływu powietrza w obszarze spalania zmagają do wywołania recyrkulacji spalin, powstania turbulencji o określonej skali i intensywności aby zapewnić całkowite i zupełne spalanie.




Linie prądu w obszarze spalania formowane pod wpływem:
 a) strumieni przeciwnieprądowych, b) zawirowania przepływu,
 c) obydwu czynników

181

Wymagania dla komór spalania

- możliwie największe wykorzystanie ciepła zawartego w paliwie
- wysoka statyczność pracy w dowolnych warunkach pracy silnika (prędkość obrotowa, prędkość i wysokość lotu)
- łatwy i niezawodny rozruch (szczególnie podczas rozruchu w powietrzu $H \leq 6 \div 10$ km)
- minimalne straty przepływu w komorze spalania
- mała objętość (małe wymiary) komory spalania
- małe wymiary i masa własna ($1/d \geq 2 \div 4$, obciążenie cieplne komory spalania $q = 0,8 \div 1,4$ kW/m³)
- optymalny rozkład temperatur na wylocie
- duża trwałość i niezawodność eksploatacji
- niska emisja zanieczyszczeń


182



Wybrane parametry komory spalania

- temperatura płomienia 2200 ÷ 2400 K
- temperatura przed wlotem do turbiny 1100 ÷ 1650 K
- czas trwania procesu spalania 0,01 ÷ 0,02 sek.
- współczynnik nadmiaru powietrza $\lambda = 0,5 \div 5,5$
- zużycie powietrza do ≈ 2700 t/h
- zużycie paliwa do ≈ 9 t/h

183



Podstawowe parametry napędów lotniczych

Ciąg silnika K (siła pchająca strumień gazów opuszczających dysze silnika odrzutowego i wykorzystywana do poruszania samolotu czy śmigłowca) równy iloczynowi masowego natężenia przepływu gazów opuszczających silnik przez dyszę i ich efektywnej prędkości wypływu:

$$K = \dot{m} \cdot V_H$$

Rozróżnia się ciąg wewnętrzny K i ciąg efektywny silnika K_e

$$K_e = K - F_{zew}$$

gdzie:

- K – ciąg wewnętrzny silnika (czyli z pominięciem wpływu oporu zewnętrznego)
- K_e – ciąg efektywny (część ciągu wewn. wykorzystana do pokonania sił oporu)
- F_{zew} – wypadkowa sił oddziaływania strumienia na zewnętrzną pow. gondoli
- \dot{m} – natężenie przepływu gazów przez silnik, kg/s

Związek pomiędzy mocą silnika P i ciągiem K: $K = \frac{P}{V_H}$

gdzie:

- P - moc, kW
- V_H - prędkość lotu, m/s

184



Podstawowe parametry jednostkowe silników turbinowych

Jednostkowe zużycie paliwa C_j wyrażone jako stosunek masy paliwa zużywanego przez silnik w jednostce czasu do jego ciągu lub mocy:

$$C_j = \frac{C_h}{K} \quad \text{lub} \quad C_j = \frac{C_h}{P}$$

gdzie:

C_j - jednostkowe zużycie paliwa, kg/Nh, kg/kWh

C_h - masa (zużycie) paliwa w jednostce czasu, kg/h

Ciąg jednostkowy k_j wyrażony jako stosunek ciągu silnika do masowego natężenia przepływu powietrza przez silnik:

$$k_j = \frac{K}{\dot{m}}$$

\dot{m} - natężenie przepływu powietrza, kg/s

185



Podstawowe parametry jednostkowe silników turbinowych

Moc jednostkowa p_j wyrażona jako stosunek mocy do masowego natężenia przepływu powietrza przez silnik:

$$p_j = \frac{P}{\dot{m}}$$

masa jednostkowa m_j określona jako stosunek masy konstrukcji silnika bez paliwa i oleju do jego ciągu lub mocy (ukazuje jaka masa konstrukcji silnika jest niezbędna do wytworzenia jednostki ciągu lub mocy):

$$m_j = \frac{M_{\text{silnika}}}{K} \quad \text{lub} \quad m_j = \frac{M_{\text{silnika}}}{P}$$

gdzie:

M_{silnika} - masa konstrukcji silnika, kg

186



Podstawowe parametry napędów lotniczych

Ilość wydzielonego ciepła Q

$$Q = \frac{Q_d \cdot C_s}{\xi_{KS}}$$

gdzie:

Q - rzeczywista ilość ciepła wydzielona w procesie spalania, kW

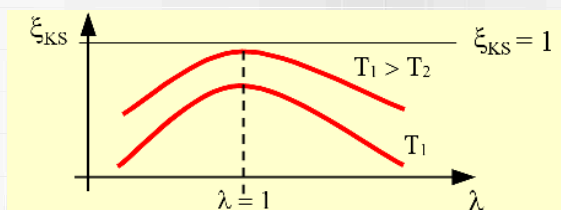
Q_d - wartość opałowa paliwa, kJ/kg

C_s - strumień paliwa, kg/s

ξ_{KS} - współczynnik wydzielania ciepła

– $\xi_{KS} = 0,95 \div 0,98$ dla głównych komór spalania

– $\xi_{KS} = 0,95 \div 0,98$ dla komór spalania dopalaczy i silników strumieniowych



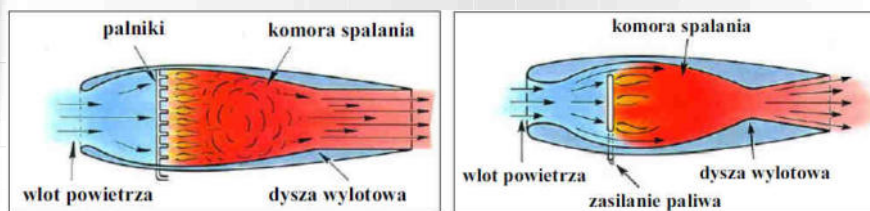
187



Elementy komory spalania

Rura ogniowa – jest podstawową objętością roboczą komory spalania przeznaczoną do przygotowania mieszanki palnej, jej wymieszania i spalania (prędkości przepływu $V_3 = 30 \div 45$ m/s) oraz wytworzenia składu spalin o określonej temperaturze. Dzieli się na dwie strefy:

- **strefę przygotowania mieszanki i spalania,**
- **strefę mieszania i chłodzenia.**

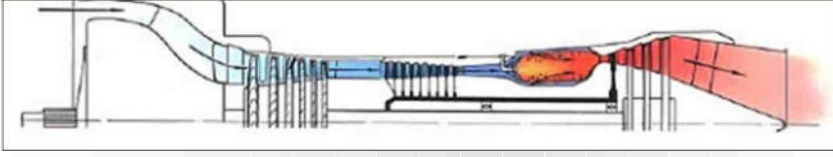


188

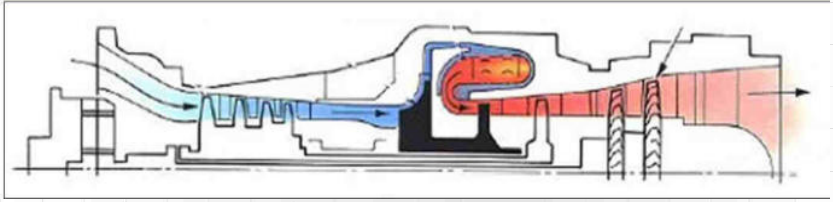
Podział komór spalania

ze względu na kierunek przepływu powietrza:

- komory o przepływie prostym,



- komory o przepływie zwrotnym (powietrze chłodzi komorę i podgrzewa się, przez co skraca czas spalania, ale powoduje wzrost oporów przepływu - układ stosowany tylko w małych silnikach).

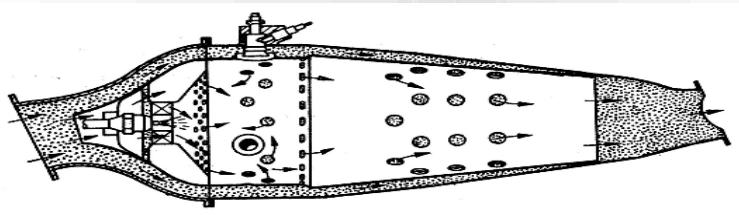


189

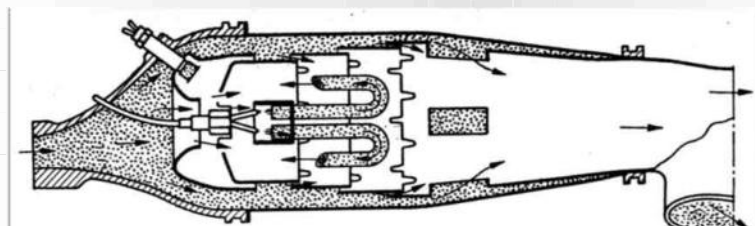
Podział komór spalania

Ze względu na zasilanie paliwem:

- z bezpośrednim rozpylaniem paliwa,



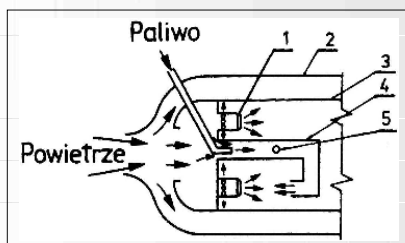
- ze wstępnym odparowaniem mieszanki.



190



Podział komór spalania



1. Doprowadzenie powietrza
2. Obudowa komory spalania
3. Rura żarowa
4. Parownica
5. Turbulizator

Podział ze względu na charakter pracy:

- główne (mieszczące się zawsze między sprężarką a turbiną lub między wlotem a dyszą wylotową w silniku strumieniowym),
- dodatkowe (mieszczące się poza turbiną - dopalacze i silniki dwuprzepływowe).

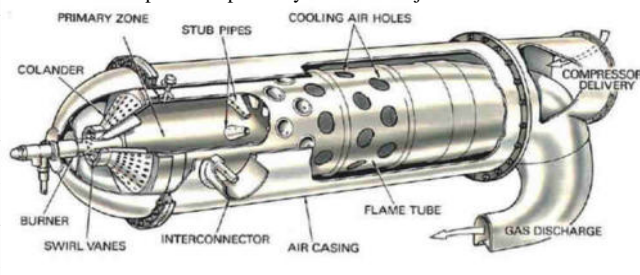
191



Rodzaje komór spalania

Komora dzbanowa indywidualna

Komora spalania z pierwszych konstrukcji silników Whitt'a



Zalety

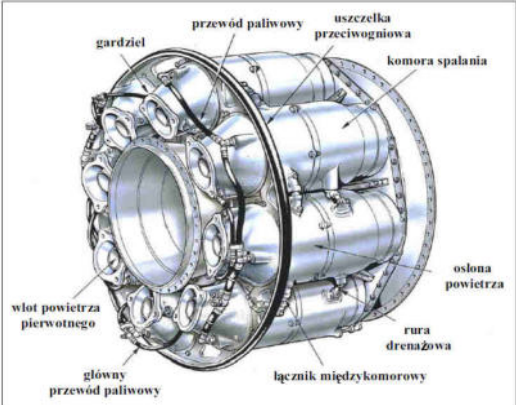
- Łatwość eksperymentalnego sprawdzenia procesu wewnątrzkomorowego
- Możliwość wymiany pojedynczej rury komory spalania

Wady

- Duże opory przepływu
- Duża nierównomierność obwodowa pól temperatur na wyjściu z KS

192

Rodzaje komór spalania



Komora rurowa

Zalety

- prosta konstrukcja
- dobra stabilizacja płomienia
- łatwa kontrola procesu i wymiana uszkodzonych sekcji
- indywidualny wpływ spalin

Wady

- duże wymiary promieniowe i straty (opory) przepływu
- nierównomierny rozkład prędkości i temperatury
- konieczność stosowania zbiorczego kolektora spalin
- trudności z włączeniem osłony w szkielet nośny silnika

193

Rodzaje komór spalania



Rurowo - pierścieniowa


Wady

- konieczność wyrównywania profilu prędkości i temperatury na wylocie z komory

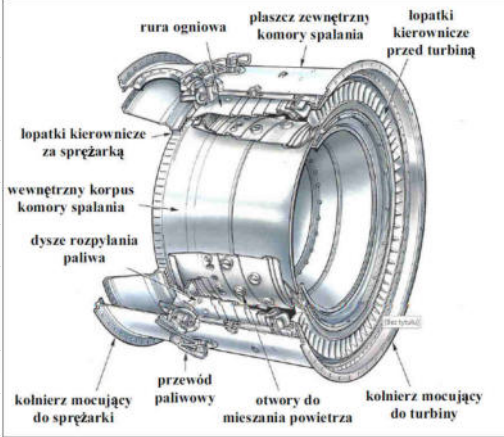
Zalety

- mniejsza średnica silnika
- dobra stabilizacja płomienia
- możliwość wykorzystania ciągłej konstrukcji płaszcza zewnętrznego jako struktury nośnej silnika

194



Rodzaje komór spalania




Komora pierścieniowa

Zalety:

- jednorodny rozkład spalin i jej temperatury na wylocie
- lekka, prosta i zwarta konstrukcja
- Mała liczba elementów oraz niewielkie straty ciepłne i przepływu
- Mała średnica (10% mniejsze)

Wady:

- trudności z utrzymaniem stabilnego płomienia
- duża liczba wtryskiwaczy (powyżej 20)
- stosunkowo trudny montaż i demontaż komory



Specjalne komory spalania

Komory spalania specjalne to modyfikacje trzech podstawowych typów komór spalania, które mogą polegać na:

- zastosowanie obiegu zwrotnego przepływu powietrza (komory pierścieniowe)
- odśrodkowe zasilanie paliwem (komory pierścieniowe)
- wytwarzanie mieszanki palnej z zastosowaniem parownic (komory pierścieniowe)
- wykonanie spiralnej komory spalania skracającej długość silnika (komory rurowe)
- budowa komór wynośnych z ukierunkowanym wypływem spalin



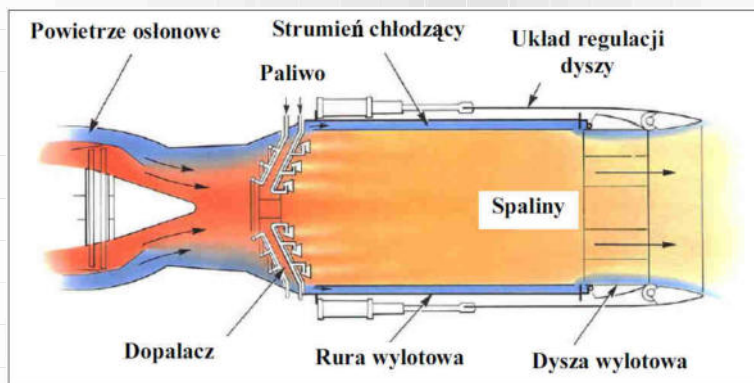
195

196



Dopalacze

Dopalanie – jest najbardziej rozpowszechnioną metodą krótkotrwałego zwiększenia ciągu turbinowego silnika odrzutowego i polega na spalaniu dodatkowej ilości paliwa w specjalnej komorze (dopalaczu) umieszczonej za turbiną silnika w celu wzrostu entalpii strumienia i energii kinetycznej spalin.

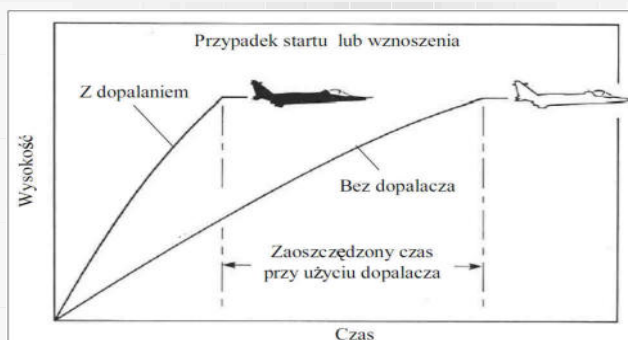


197



Cel stosowania dopalaczy

- skrócenie rozbiegu samolotu podczas startu lub jego utrzymanie przy niekorzystnym warunkach atmosferycznych
- rozpędzenie samolotu do prędkości maksymalnej (przekroczenie prędkości dźwięku)
- zwiększenie prędkości wznoszenia w celu szybkiego osiągnięcia odpowiedniego pułapu lotu
- polepszenie ekonomiczności silników na zakresach dużych prędkości lotu powyżej $Ma_H > 2,5$



198



Warunki panujące w komorze dopalającej (dopalaczu)

- stosunkowo mały współczynnik nadmiaru powietrza $\lambda \leq 1,1 \div 1,8$
- wysoka temperatura spalin wlotowych $T \geq 800 \div 1000\text{K}$ (łatwiejszy zapłon i propagacja płomienia, możliwa gorsza jakość rozpylania paliwa)
- znacznie większa średnia prędkość strumienia wlotowego spalin (dwa razy większa od prędkości wlotowej do głównej komory spalania)
- mniejsze stężenie tlenu w mieszance palnej oraz zanieczyszczenie jej produktami spalania z głównej komory spalania
- brak elementów ruchomych w komorze dopalacza

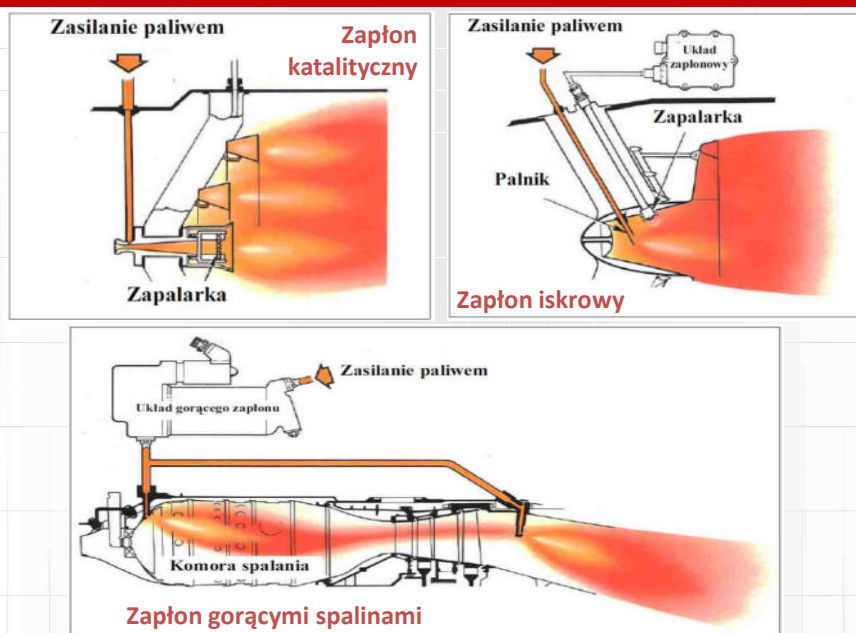
Wady stosowania dopalaczy

- wzrost wymiarów osiowych (a często i promieniowych) silnika
- wzrost masy silnika (10 ÷ 20%)
- spadek ekonomiczności silnika w warunkach statycznych i na małych prędkościach lotu
- obniżenie ciągu silnika pracującego bez dopalania (1,5 ÷ 2,0%)

199



Zapłon paliwa w dopalaczach:



200



Wymiana ciepła w komorze spalania

1. Najbardziej narażonym na oddziaływanie gorących spalin w komorze spalania jest płomienica (rura żarowa) wykonana ze stopów na osnowie niklu, których temperatura pracy nie przekracza 1100 K.
2. We współczesnych turbinach gazowych (lotniczych i energetycznych) zwiększa się stopień sprężania (p_{wlot}/p_{wylot} sprężarki), który sięga obecnie 30 i prowadzi do wzrostu sprawności turbiny (sięga 0,4%). Jednak ze wzrostem stopnia sprężania rośnie obciążenie objętościowe komory spalania i zwiększa się strumień ciepła przejmowanego przez płomienicę.
3. Temperatura spalin przekracza 2000 K, dlatego płomienica musi być chłodzona.

201



Sposoby chłodzenia płomienicy

1. **Warstwowe** – polega na przenikaniu powietrza na stronę wewnętrzną płomienicy przez rząd otworków o małej średnicy. Strugi powietrza tworzą kurtynę oddzielającą wewnętrzną stronę płomienicy od gorących spalin.
2. **Konwekcyjno-warstwowe** – polega na przedłużeniu kanalików doprowadzających powietrze do wnętrza płomienicy. Dzięki temu poprawia się efektywność chłodzenia płomienicy, ale zwiększa się jej ciężar.
3. **Transpiracyjne** (z porowatą ścianą) – polega na przenikaniu powietrza przez porowatą ścianę płomienicy i tworząc kurtynę powietrzną od gorących spalin.

202

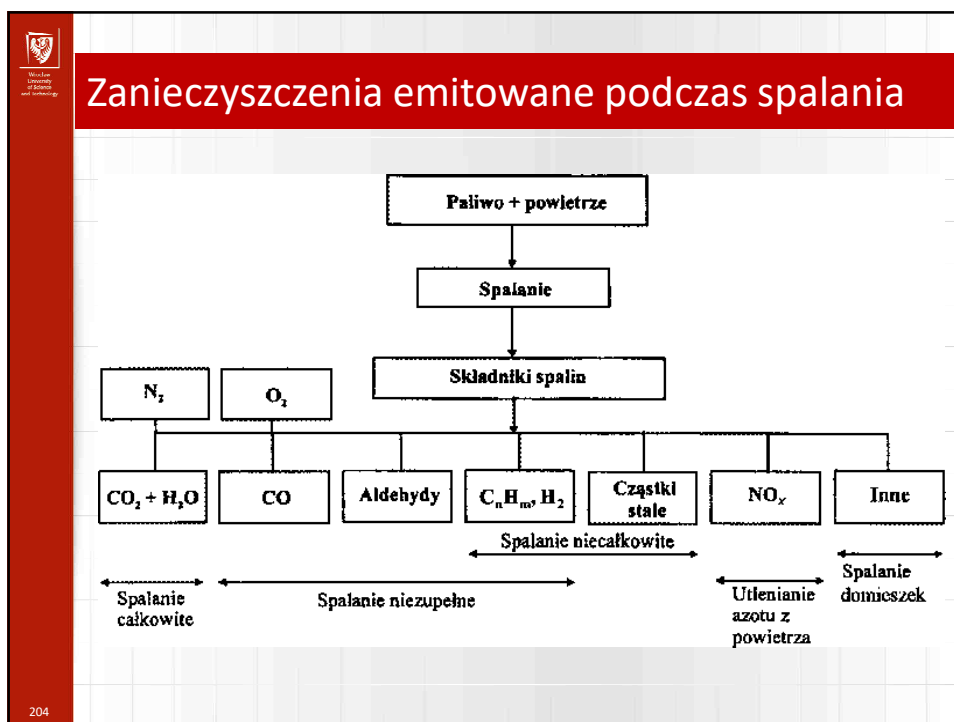
Techniki chłodzenia ścianek komory spalania


Chłodzenie szczelinowe Chłodzenie konwekcyjno-warstwowe

Chłodzenie warstwowe Chłodzenie uderzeniowo-warstwowe

Chłodzenie metodą przenikania

203





Zanieczyszczenia emitowane z napędów lotniczych

Zanieczyszczenia typowe dla spalania płynnych węglowodorów:

- Tlenek węgla (CO),
- Węglowodory (C_nH_m),
- Tlenki azotu (NO_x),
- Dwutlenek siarki (SO_2),
- Cząstki stałe (sadza).

205



Zanieczyszczenia z napędów lotniczych a środowisko


Zagrożenia dla troposfery: (do 10km)

- Kwaśne deszcze (SO_2 i NO_x)
- Smog fotochemiczny (NO_x i C_nH_m)
- Zwiększenie zapylenia powietrza (sadza)

Zagrożenia dla stratosfery: (10-50km)

- Efekt cieplarniany (CO_2 i C_nH_m)
- Powiększenie dziury ozonowej (NO_x)
- Rozpraszanie promieniowania słonecznego (SO_2)


206



Emisja tlenku węgla z turbin gazowych

1. Tlenek węgla (CO) jest gazem bezbarwnym, bezwonny, trującym.
2. W atmosferze powoli utlenia się do CO₂ z udziałem rodników OH.
3. Podczas spalania paliw kopalnych jest półproduktem spalania.
4. Obecność CO w spalinach jest wskaźnikiem niedoboru tlenu.

207



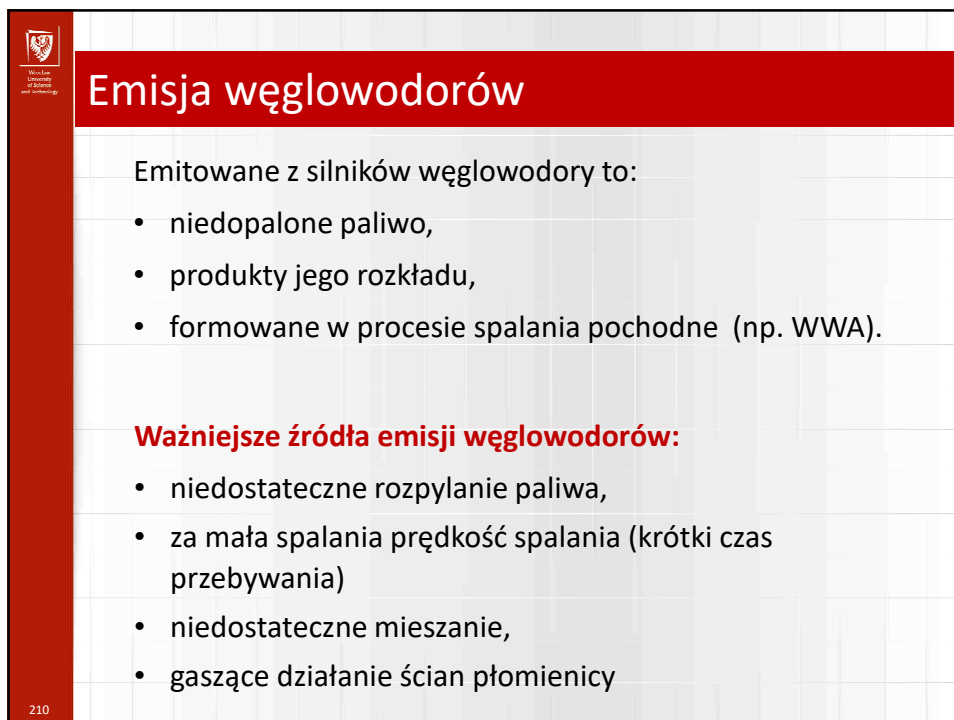
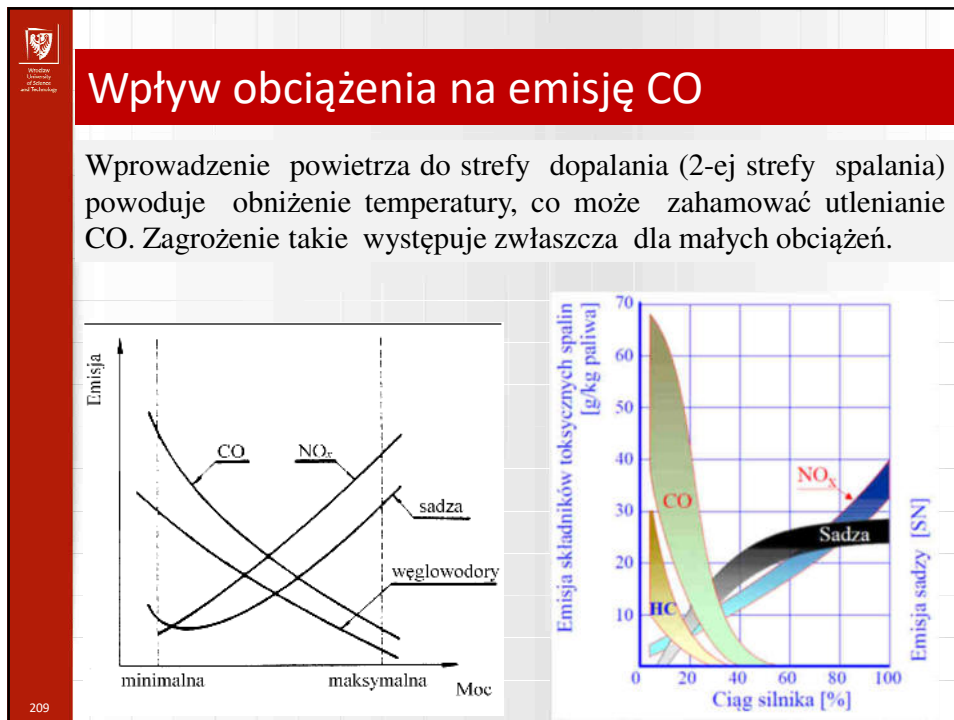
Przyczyny emisji CO

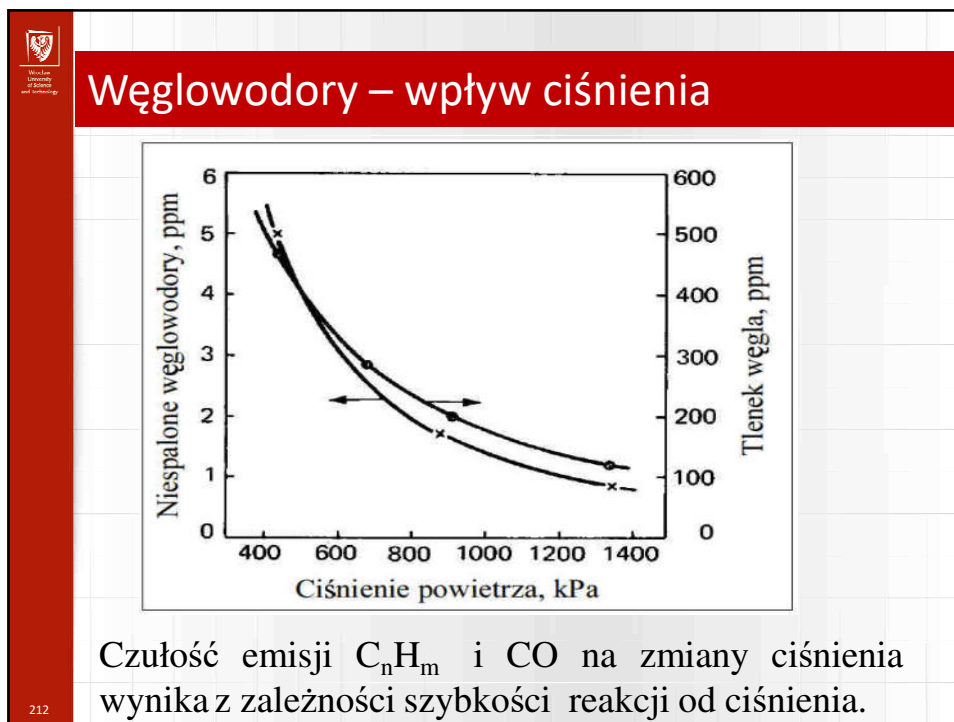
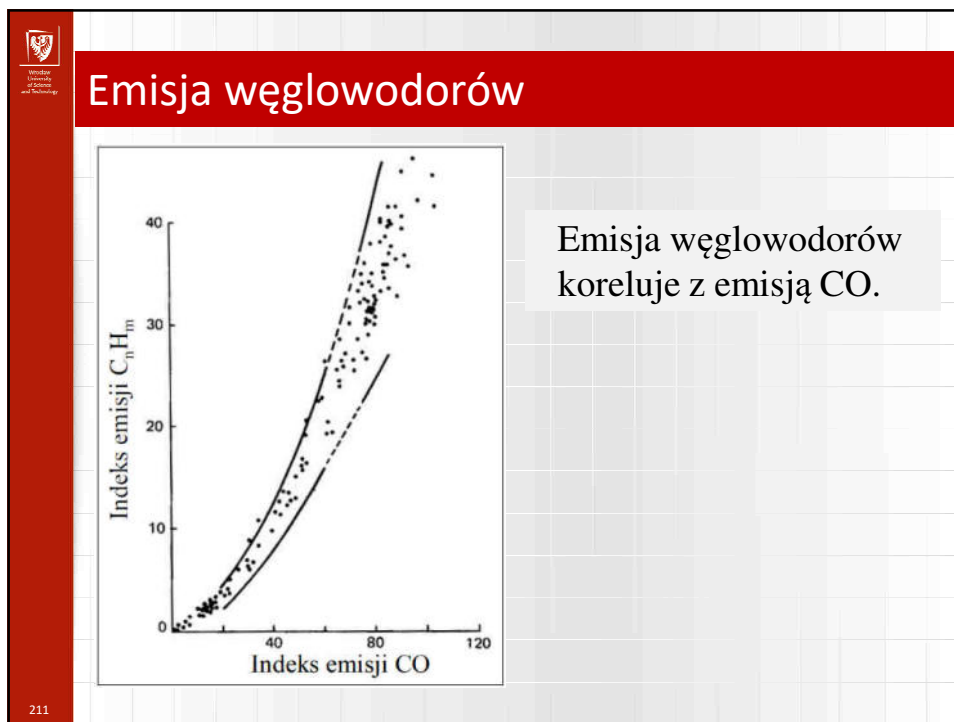
1. Spalanie z niedoborem tlenu ($\lambda < 1$).
2. Słabe mieszanie w 1-szej strefie spalania.
3. Gaszenie na ścianach płomienicy.
4. Zbyt krótki czas spalania.
5. Za niska temperatura dopalania ($T < 1100\text{ °C}$), która prowadzi do zamrożenia CO.


Kinetyka utleniania CO:

$$\text{CO} + \text{OH} = \text{CO}_2 + \text{H}$$

208





 **Tlenki azotu NO_x - charakterystyka**

Emitowane z silników tlenki azotu to:


- NO - tlenek azotu,
- NO₂ - ditlenek azotu (dwutlenek azotu),
- N₂O - tlenek diazotu (podtlenek azotu).

NO_x = NO + NO₂ (udział przeliczony na NO₂)

Można wyróżnić trzy **najważniejsze mechanizmy powstawania** NO_x w procesach spalania:

- **termiczny** (z azotu z powietrza),
- **szybki** zwany także płomieniowym (z azotu z powietrza),
- **paliwowy** (utlenianie związków azotowych zawartych w paliwie).

213

 **Tlenki azotu NO_x – mechanizm termiczny**

Mechanizm zaproponowany w 1946 przez znanego rosyjskiego fizyka Y.B. Zeldowicza:

$$\mathbf{O_2 + M = O + O + M}$$

gdzie **M** jest stabilną cząstką dostarczającą energię do zerwania wiązania w O₂.

„Uwolnione” atomy O mogą reagować z N₂

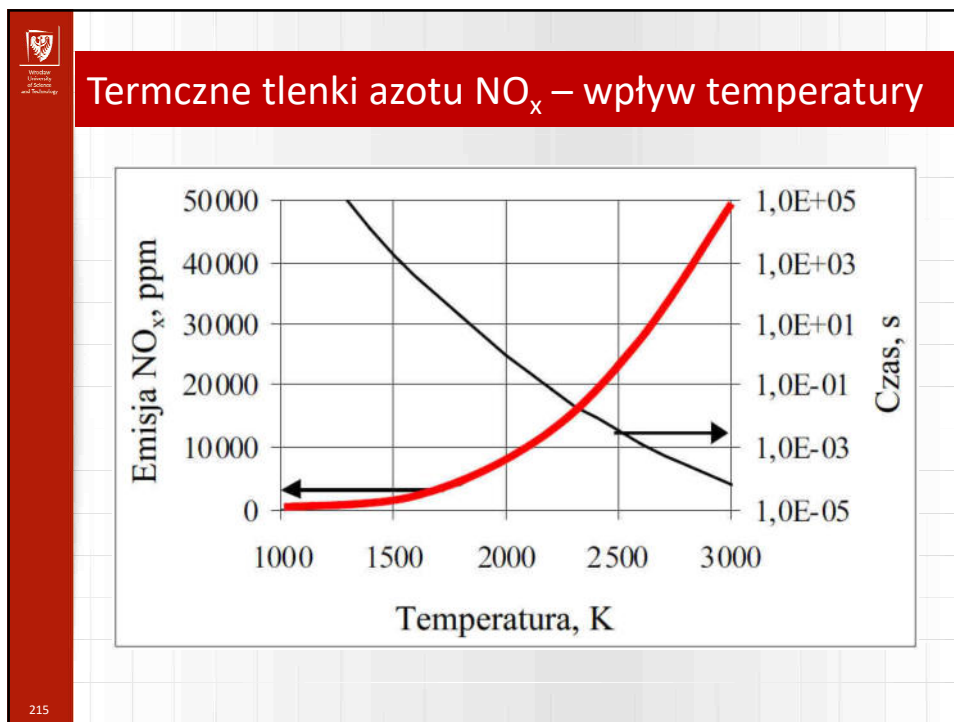
$$\mathbf{O + N_2 \rightarrow NO + N}$$

a „uwolnione” w tej reakcji atomy N szybko reagują z O₂

$$\mathbf{N + O_2 \rightarrow NO + O}$$

Mechanizm termiczny często nazywany jest mechanizmem Zeldowicza

214



Tlenki azotu NO_x – mechanizm szybki

Wiodącą rolę w powstawaniu szybkiego NO (ang. Prompt) odgrywają małe, reaktywne rodniki węglowodorowe, które pojawiają się na poziomie utleniania metanu. Najbardziej znaczące reakcje w tym mechanizmie to:

$$CH_2 + N_2 \rightarrow CHN + NH$$

$$CH + N_2 \rightarrow CHN + N$$

$$C + N_2 \rightarrow CN + N$$

Ogólnie powyższe reakcje można zapisać schematycznie:

$$CH_x + N_2 \rightarrow HCN \text{ i inne rodniki } (CN, NH, N \dots)$$

216



Tlenki azotu NO_x – mechanizm paliwowy

Jeżeli w paliwie są związki azotowe to podczas spalania paliwa ulegają one w znacznym stopniu utlenieniu do tlenków azotu.

Ropa naftowa zawiera **azot paliwowy** od 0,01 do 0,3% wag., wyjątkowo jego udział sięga 0,9%. Są to głównie:

- pirydyny,
- indole,
- chinoliny,
- tetrahydrochinoliny,
- karbazole
- i pirole.

W czasie destylacji ropy naftowej kumulują się głównie w cięższych frakcjach.

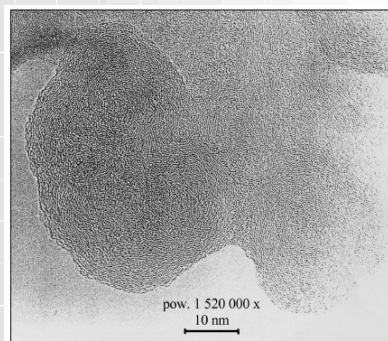
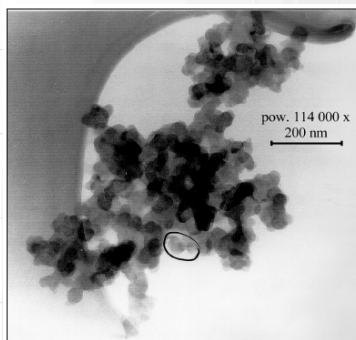
217



Sadza - charakterystyka

Sadza jest substancją sypką, pylistą składającą się głównie z węgla (94 – 99%) z niewielkim udziałem wodoru (0,5 – 3%) oraz ze śladową ilością tlenu, azotu i siarki.

Rozmiary cząstek sadzy w zależności od warunków spalania mogą zmieniać się od 1 do 1000 nm. Sadza łatwo unosi się w powietrzu. Dym to aerozol sadzy w spalinach.



218

Sadza - powstawanie

Sadza powstaje podczas spalania węglowodorów, a także podczas spalania węgla: spalanie części lotnych i smoły.
Reakcję chemiczną powstawania sadzy można umownie zapisać następująco:

$$C_m H_n + y O_2 \rightarrow 2y CO + 0,5n H_2 + (m - 2y) C$$

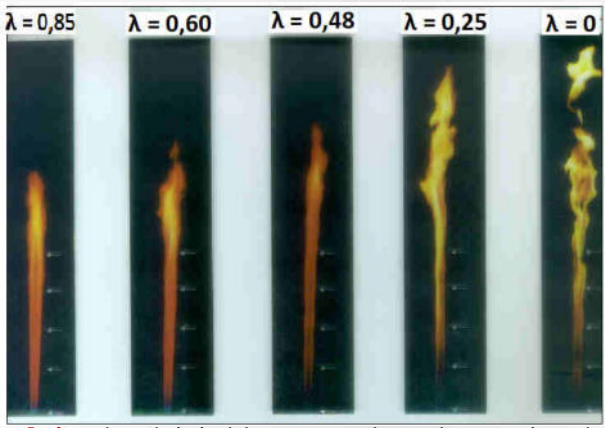
Ważniejsze czynniki mające wpływ na powstawanie sadzy:

- rodzaj płomienia (kinetyczny, dyfuzyjny),
- rodzaj paliwa (C/H) i stosunek C/O w mieszance palnej,
- temperatura,
- ciśnienie,
- czas przebywania.

219

Sadza – wpływ rodzaju płomienia

- płomień kinetyczny
- płomień dyfuzyjny (ang. *smoke point*)



Generalnie: bardziej skłonne są do sadzowania płomienie dyfuzyjne (nie wymieszane).

220



Ograniczanie emisji sadzy

Powstawanie sadzy w turbinach gazowych jest raczej kontrolowane przez **procesy fizyczne i rozpylanie** paliwa, a nie przez kinetykę chemiczną.

Podstawowe sposoby ograniczania emisji sadzy:

- a) likwidacja „kieszoni” z bogatym składem mieszanki,
- b) zwiększenie udziału powietrza w I-ej strefie spalania,
- c) poprawa mieszania w I-ej strefie,
- d) zmiana sposobu rozpylania paliwa z ciśnieniowego na pneumatyczny,
- e) stosowanie soli niektórych metali do paliw.

221



Warunki uzyskania niskiej emisji w komorach spalania

- Utrzymanie w wąskich granicach temperatury w obszarze pierwotnego spalania
- Odparowanie paliwa przed komorą spalania
- Optymalne wymieszania paliwa i utleniacza
- Uzyskanie niezależności warunków spalania od obciążenia komory spalania
- Utrzymanie stabilności płomienia w pełnym zakresie pracy komory spalania (uniemożliwienie zdmuchnięcia płomienia)

222



Ekologiczne kierunki rozwoju komór spalania

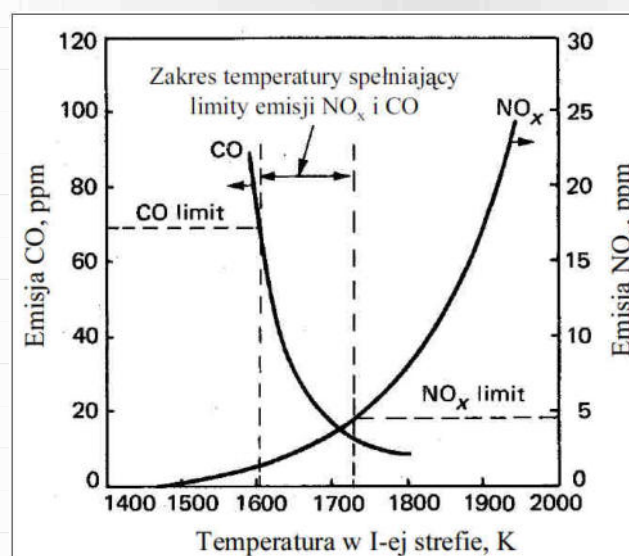
- Poprawa wstępnego przygotowania paliwa
- Wstępne odparowanie paliwa (LPP - lean premixed prevaporized)
- Stosowanie ubogich płomieni kinetycznych
- Unikanie płomieni dyfuzyjnych (wysoka emisja NO_x)
- Spalanie dwustopniowe
- Zastosowanie katalizatorów
- Regeneracja ciepła (odzysk ciepła ze spalin wylotowych)
- Eliminacja siarki z paliwa

Zwykle w konflikcie stoi jednoczesne ograniczanie emisji CO i NO_x przez modyfikację spalania w I-jej strefie

223



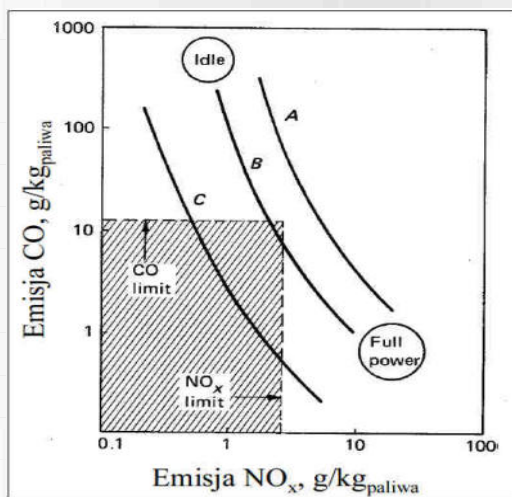
Jednoczesne ograniczenie emisji CO i NO_x



224



Przykład jednoczesnego ograniczenia emisji CO i NO_x

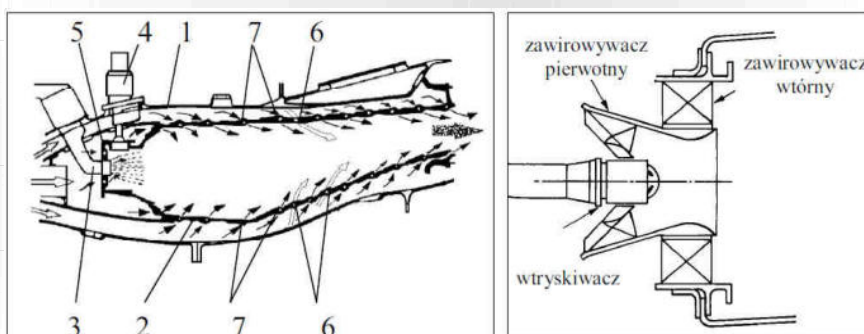


Systemy ze zmienną geometrią powinny współpracować z systemem odparowania paliwa w celu uniknięcia „hot spots”

225



Wstępne przygotowanie paliwa do komory spalania



1 – osłona komory (płaszcz), 2 – rura ogniowa, 3 – wtryskiwacz,
4 – świeca zapłonowa, 5 – otwór wlotowy powietrza pierwotnego,
6 – otwory wlotowe powietrza wtórnego, 7 – otwory wlotowe powietrza
chłodzącego ścianki komory

226



Spalanie ubogich mieszanek

Zasadą jest całkowite odparowanie paliwa i kompletne jego wymieszanie z powietrzem, dzięki temu:

- unika się spalania kropeł,
- spalając ubogą mieszanke obniża się średnią temperaturę spalania.

Systemy spalania ze wstępnym odparowaniem **LPP (Lean Premixed Prevaporized)** powinny współdziałać z systemami zmiennej geometrii, żeby uniknąć niebezpieczeństwa gaśnięcia płomienia przy DGW dla małych obciążeń.

227



Stopniowanie paliwa w komorach pierścieniowych

Obwodowe – część z komór spalania zostaje wyłączona (wadą jest gaszące działanie powietrza wypływającego z niepracujących dysz komory spalania).

Promieniowe – w podwójnej komorze spalania przy małym obciążeniu cały strumień paliwa podawany powinien być tylko do jednej z komór spalania

Osiowe – optymalne zaprojektowanie komory spalania na niskie obciążenie (przy dużym obciążeniu dodatkowy strumień paliwa podawany jest do strumienia gazów spalinowych za I-szą strefą).

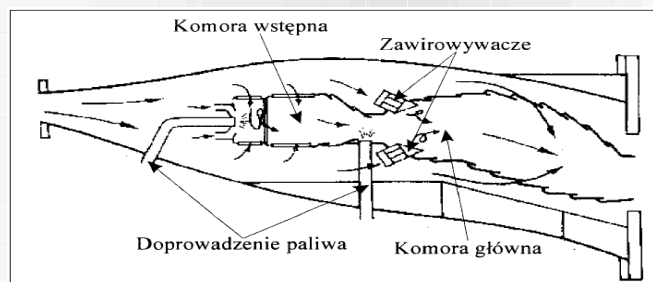
228



Stopniowanie paliwa

W turbinach gazowych zastosowane znalazło **stopniowanie osiowe paliwa**. Realizowane jest ono następująco:

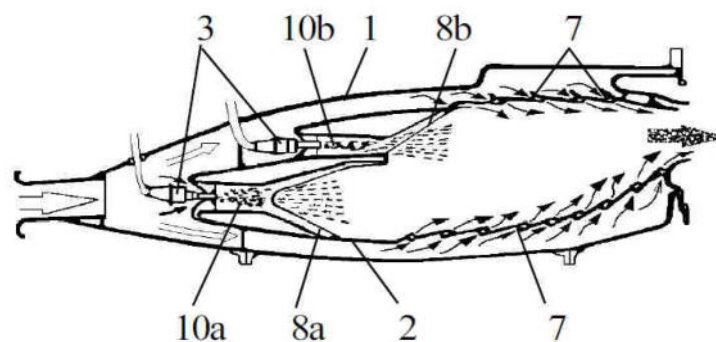
- Mało obciążona I-sza strefa spalania ze starannym wymieszaniem pełniąc tak rolę stabilizatora dla głównej strefy spalania.
- Jedna lub kilka dodatkowych stref spalania, każda z oddzielnym zasilaniem paliwa i powietrza.



229



Spalanie dwustopniowe w komorze spalania

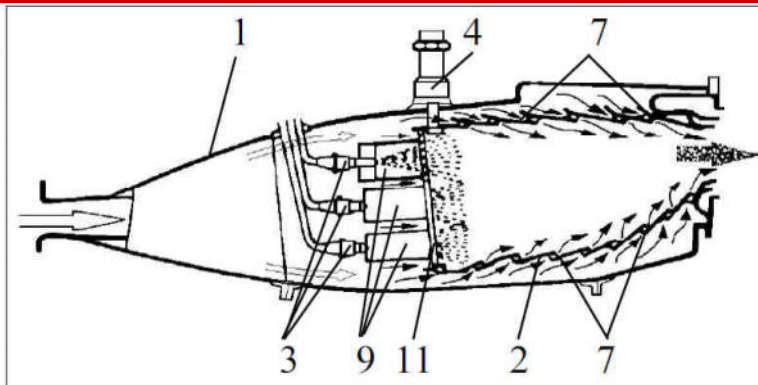


1 – osłona komory (płaszcz), 2 – rura ogniowa, 3 – wtryskiwacz, 4 – świeca zapłonowa, 5 – otwór wlotowy powietrza pierwotnego, 6 – otwory wlotowe powietrza wtórnego, 7 – otwory wlotowe powietrza chłodzącego ścianki komory, 8 – statecznik płomienia: a – pierwotnego, b – wtórnego, 9 – komora wirowa, 10 – komora wstępnego zmieszania: a – pierwotna, b – wtórna, 11 – diafragma (przesłona)

230



Spalanie wirowe w komorze spalania

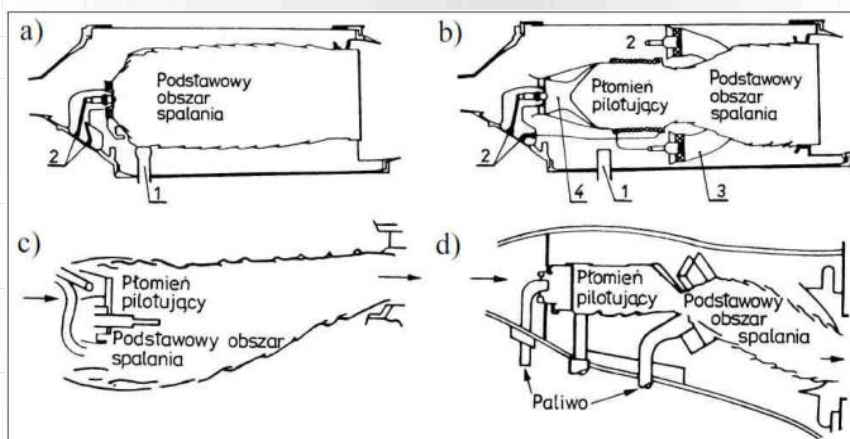


1 – osłona komory (płaszcz), 2 – rura ogniowa, 3 – wtryskiwacz,
 4 – świeca zapłonowa, 5 – otwór wlotowy powietrza pierwotnego,
 6 – otwory wlotowe powietrza wtórnego, 7 – otwory wlotowe powietrza
 chłodzącego ścianki komory, 8 – statecznik płomienia: a – pierwotnego,
 b – wtórnego, 9 – komora wirowa, 10 – komora wstępnego zmieszania:
 a – pierwotna, b – wtórna, 11 – diafragma (przesłona)

231



System komory spalania o niskiej emisji zanieczyszczeń



Zastosowanie płomienia pilotującego: 1 - świeca zapłonowa,
 2 - doprowadzenie paliwa, 3 - kanał mieszania, 4 - kanał wstępnego mieszania

232

Zastosowanie katalizatorów

a) Komora spalania 1800 °C, 1300 °C, 350 °C, Paliwo, Powietrze, Sprężarka, Turbina

b) komora katalitycznego spalania 1300 °C, Paliwo, Sprężarka, Turbina

Wykorzystanie katalizatorów w komorach spalania pozwala na utlenianie paliwa w obniżonej temperaturze (**1000 K**), nawet niższej od odpowiadającej ubogiej granicy palności mieszanki.

233

Komory spalania z reaktorami katalitycznymi

Paliwo

Przygotowanie paliwa i powietrza

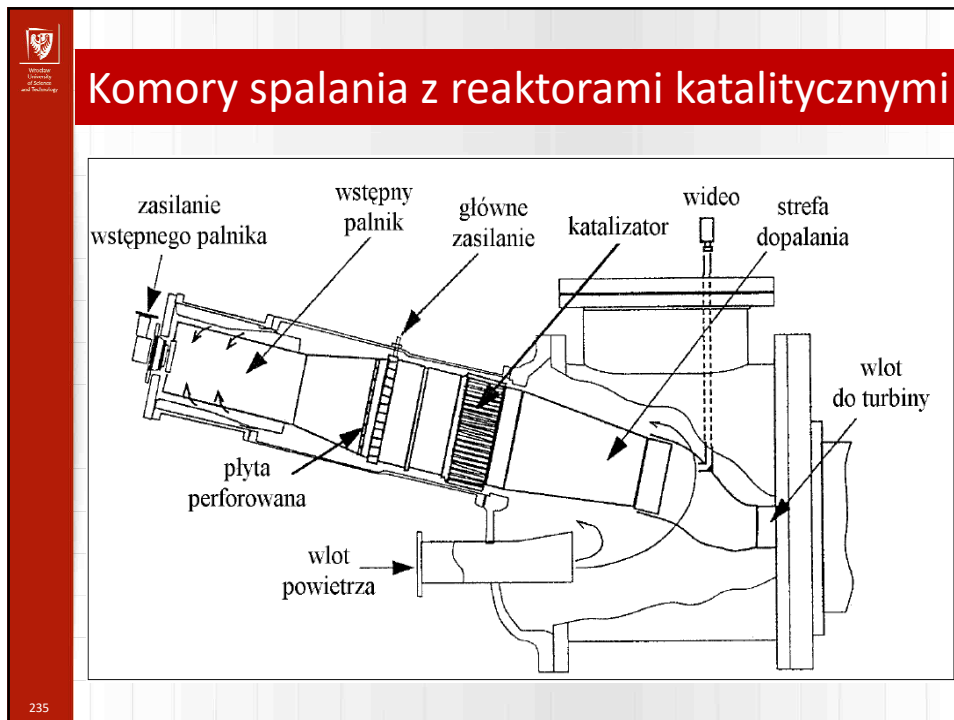
Reaktor katalityczny

Reaktor termiczny

Rozcieńczenie

Umieszczenie w komorze spalania ceramicznego katalizatora umożliwia czyste, całkowite spalanie przy niskiej temperaturze.


234



Czynniki wpływające na emisję zanieczyszczeń z komory spalania

- temperatura i współczynnik nadmiaru powietrza w I-iej strefie spalania,
- stopień homogenizacji mieszanki w I-iej strefie spalania,
- czas przebywania w I-iej strefie spalania,
- charakterystyka gaszenia ścian płomienicy,
- rola II-iej strefy spalania:
 - dopalająca CO, C_nH_m i sadzy I-iej strefy,
 - gasząca.


236



Ważniejsze czynniki wpływające na emisję CO

- a) CO jest wytwarzane w I-iej strefie spalania w dużej ilości dla każdej wartości współczynnika nadmiaru powietrza λ ,
- b) dla bardzo ubogich mieszanek ($\lambda > 2$) temperatura jest zwykle zbyt niska, żeby dopalić CO,
- c) dla stechiometrycznych i bogatych mieszanek ($\lambda < 0,9$) równowagowe stężenie CO przekracza limit emisji.

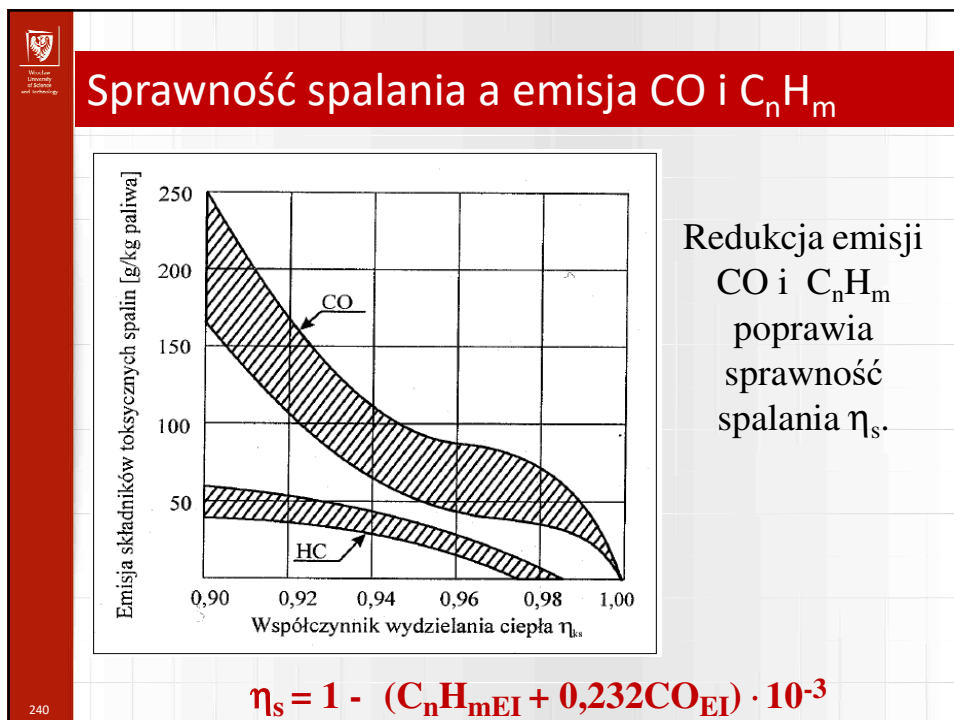
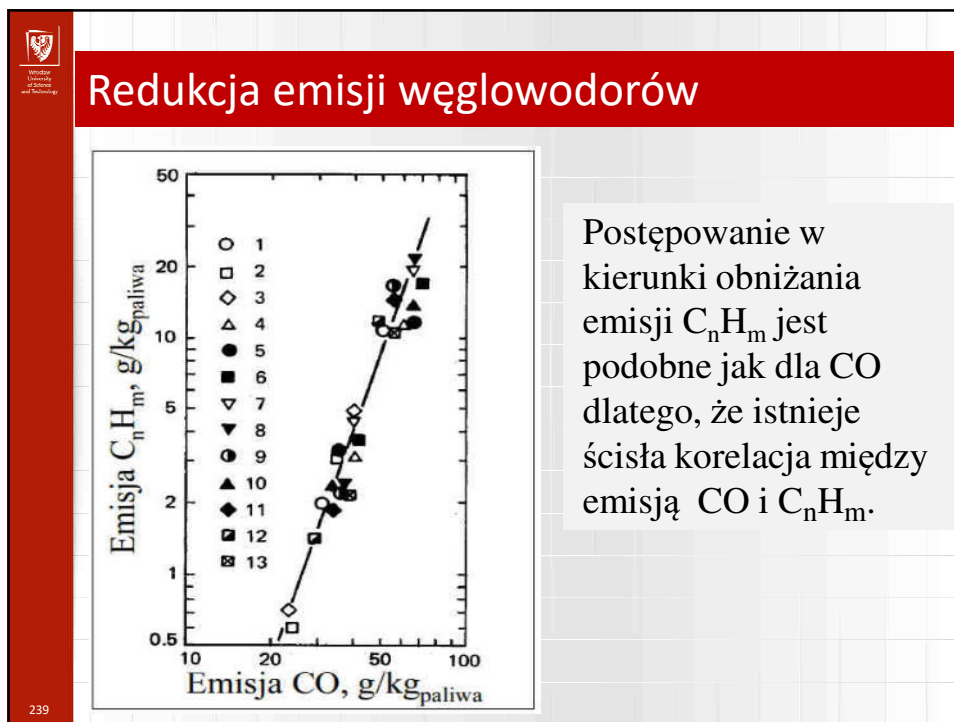
237



Metody ograniczania emisji CO

- a) Poprawa rozpylania paliwa (szybsze odparowanie, homogenizacja i mieszanie),
- b) Podział strumienia powietrza, żeby wytworzyć zbliżony do optymalnego skład mieszanki w I-iej strefie spalania ($\lambda = 1,4$),
- c) Zwiększenie objętości (lub czasu przebywania) I-iej strefy,
- d) Zmniejszenie intensywności chłodzenia ścian (rury żarowej) płomienicy powietrzem,
- e) Upuszczanie powietrza ze sprężarki przy małych obciążeniach w celu zwiększenia Φ i podwyższenia temperatury,
- f) Stopniowanie paliwa polegaj ce na wyłączeniu części dysz paliwowych w I-iej strefie spalania i podaniu pozostałej części paliwa do II-iej strefy.

238






Metody ograniczania emisji NO_x

- a) spalanie **ubogiej mieszanki** w I-ej strefie spalania,
- b) spalanie **bogatej mieszanki** w I-ej strefie spalania,
- c) homogenizacja mieszanki palnej (poprawa rozpylania, parowania i mieszania),
- d) zmniejszenie czasu przebywania w płomieniu,
- e) wtrysk wody (metoda mokra kontroli NO_x),
- f) recyrkulacja spalin.

241



Ograniczanie emisji NO_x

W turbinach gazowych powstające NO_x mają głównie termiczny charakter:

$$\text{NO}_x \sim \exp(0,009 \cdot T)$$

gdzie:
T - temperatura spalania, K

Dlatego podstawowe przedsięwzięcia to:

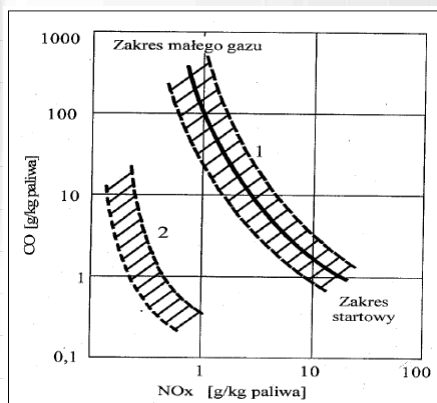
- a) obniżanie temperatury spalania (średniej),
- b) zmniejszanie czasu przebywania w strefie wysokich temperatur,
- c) unikanie lokalnie wysokich temperatur (*hot spots* - pików).

242



Emisja Nox a emisja CO i C_nH_m

Obniżanie temperatury spalania i unikanie wysokich temperatur stoi w sprzeczności z filozofią ograniczania emisji CO i C_nH_m , dlatego istnieje **ujemna korelacja** między tymi dwoma emisjami.



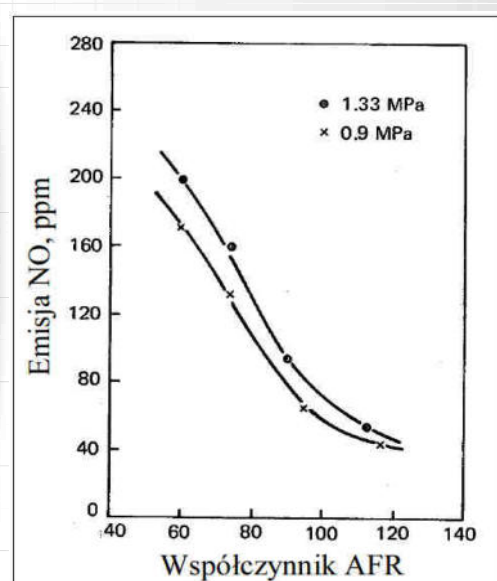
Zależność emisji CO i NOx dla różnych zakresów pracy dwuprzepływowego turbinowego silnika lotniczego:

- 1 - obszar dla silników eksploatowanych,
- 2 - obszar dla silników perspektywicznych

243

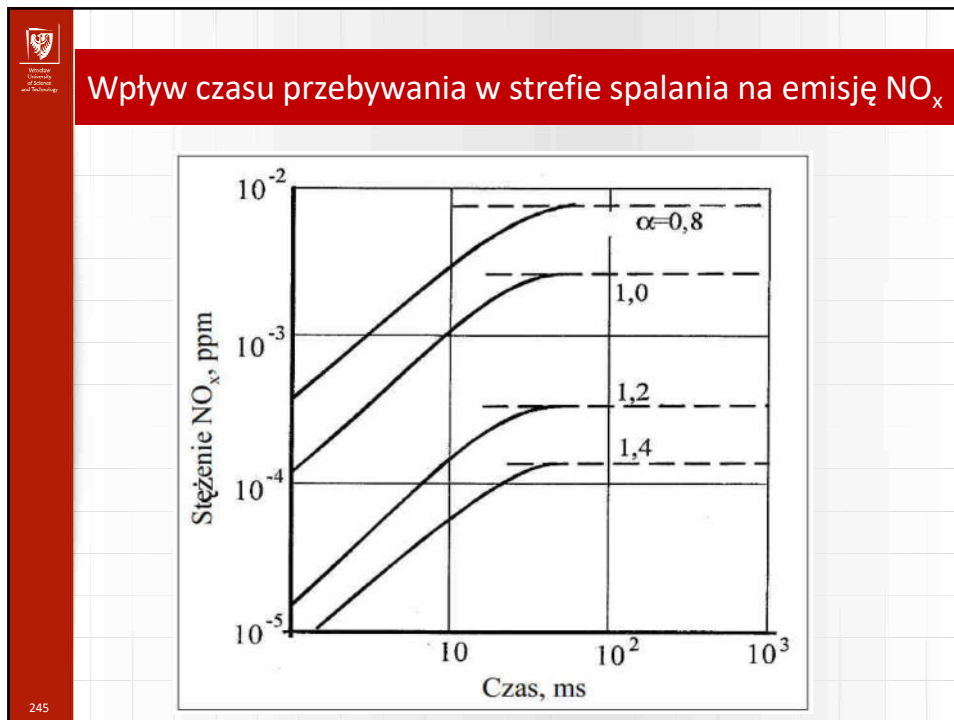


Spalanie ubogiej mieszanki w I-szej strefie spalania



Wpływ współczynnika AFR na emisję NOx (temperatura powietrza 600 K)

244



Literatura

Włodzimierz Kordylewski (red.), *Spalanie i Paliwa*, Oficyna Wydawnicza Politechniki Wrocławskiej, Wrocław 2005

Marian Gieras, *Komory spalania silników turbinowych*, Oficyna Wydawnicza Politechniki Warszawskiej, Warszawa 2010

P. Dzierżanowski i inni, *Turbinowe silniki odrzutowe*, Wydawnictwa Komunikacji i Łączności, Warszawa 1983

P. Dzierżanowski i inni, *Turbinowe silniki śmigłowe i śmigłowcowe*, Wydawnictwa Komunikacji i Łączności, Warszawa 1985

B. Maclsaac, R. Langton, *Gas Turbine Propulsion Systems*, Wiley 2011

Gabriel D. Roy (ed.), *Combustion Processes i Propulsion – Control, Noise and Pulse Detonation*, Elsevier 2006

Materiały pomocnicze do wykładu „Spalanie i paliwa”

Jerzy Merkisz, *Ekologia w lotnictwie*, Poznań – Lotnictwo dla Obronności, 2016

246